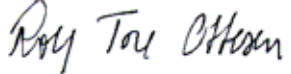


Rapport nr.: 2006.014	ISSN 0800-3416	Gradering: Åpen
Tittel: Jordforurensning i Harstad		
Forfatter: Morten Jartun og Tore Volden		Oppdragsgiver: Harstad kommune og Fylkesmannen i Troms, Miljøvernavdelingen
Fylke: Troms		Kommune: Harstad
Kartblad (M=1:250.000)		Kartbladnr. og -navn (M=1:50.000) 1332 IV Harstad
Forekomstens navn og koordinater:		Sidetall: 97 Pris: Kr. 585,- Kartbilag:
Feltarbeid utført: Juli 2005	Rapportdato: 15.februar 2006	Prosjektnr.: 309800
		Ansvarlig: 

Sammendrag:

Denne rapporten beskriver forurensningsnivå i overflatejord (0-2 cm) i Harstad og indikerer potensiell spredning av miljøgifter fra tette flater via overvannssystemet gjennom bestemmelse av miljøgifter i sandfangsmasser.

Konsentrasjonen av ulike miljøgifter i overflatejord fra de sentrale delene av Harstad viser at overflatejorden er fra lavt til meget sterkt forurensset.. De høyeste konsentrasjonene av miljøgifter i overflatejorda forekommer ved skipsverftene og industriområdene, eksempelvis Mathiassen mek.verksted og Kaarbø verksted, samt ved tidligere avfalls- og industrifyllinger (for eksempel nord for Gangsåsholmen og innerst i Harstabotn). Det er stort sett sjønære områder som har de høyeste konsentrasjonene av miljøgifter i overflatejord. Miljøgiftene i overflatejorda fra de sjønære områdene kan ha stor spredningsrisiko til det marine miljøet.

Det anbefales å følge opp de mest forurensede områdene med detaljerte undersøkelse for å kvantifisere spredning av miljøgifter fra land til sjø fra disse forurensningskildene.

Emneord: Overflatejord	Forurensning	Tungmetaller
PAH	PCB	Sandfang
Bygningsfasader		

INNHOLD

1.	KONKLUSJON OG ANBEFALINGER	7
2.	Innledning.....	7
2.1	Bakgrunn	7
2.2	Undersøkt område	8
2.3	Geologi	9
2.4	Mål for undersøkelsen i Harstad	10
3.	Metoder	10
3.1	Prøvetaking av byjord	10
3.2	Prøvetaking av murfasader.....	10
3.3	Prøvetaking av sandfang	11
3.4	Prøvebehandling.....	16
3.4.1	Byjords- og sandfangsprøver	16
3.4.2	Murpuss/betongprøver	16
3.5	Kjemisk analyse	16
3.5.1	PCB/PAH	16
3.5.2	Grunnstoffer og total organisk karbon (TOC).....	16
3.6	Statistisk behandling av data og karttegning.....	17
3.7	Kvalitetssikring	18
4.	RESULTATER OG KOMMENTARER	19
4.1	Overflatejord	19
4.1.1	Overflatejordas tilstand i Harstad sammenlignet med andre byer	24
4.2	PCB i murfasader	25
4.3	Sandfangsmaterialer	25
5.	KONKLUSJONER OG VURDERINGER	29
6.	VEDLEGG 1: Rådata, overflatejord	32
7.	VEDLEGG 2: Rådata, sandfangsmaterialer.....	49
8.	VEDLEGG 3: Statistiske figurer.....	57
9.	VEDLEGG 4: Kartskisser, overflatejord	63
9.1.1	As - Arsen.....	64
9.1.2	Cd – Kadmium	65
9.1.3	Cr – Krom.....	66
9.1.4	Cu – Kobber	67
9.1.5	Hg – Kvikksølv	68
9.1.6	Ni – Nikkel	69
9.1.7	Pb – Bly	70
9.1.8	Sn – Tinn	71
9.1.9	Zn – Sink	72
9.1.10	TOC – Total organisk karbon.....	73
9.1.11	PAH – Polyaromatiske hydrokarboner	74
9.1.12	PCB – Polyklorerte bifenyler	75
10.	VEDLEGG 5: Kartskisser, grenseverdier	76
10.1.1	As - Arsen.....	77
10.1.2	Cd – Kadmium	78
10.1.3	Cr – Krom.....	79
10.1.4	Cu – Kobber	80
10.1.5	Hg – Kvikksølv	81
10.1.6	Ni – Nikkel	82
10.1.7	Pb – Bly	83
10.1.8	Zn – Sink	84

11.	VEDLEGG 6: Kartskisser, sandfangsmaterialer.....	85
11.1.1	As – Arsen	86
11.1.2	Cd – Kadmium	87
11.1.3	Cr – Krom.....	88
11.1.4	Cu – Kobber	89
11.1.5	Hg – Kvikksølv	90
11.1.6	Ni – Nikkel	91
11.1.7	Pb – Bly	92
11.1.8	Sn – Tinn	93
11.1.9	Zn – Sink	94
11.1.10	TOC – Total organisk karbon.....	95
11.1.11	PAH – Polyaromatiske hydrokarboner	96
11.1.12	PCB – Polyklorerte bifenyler	97

1. KONKLUSJON OG ANBEFALINGER

Konsentrasjonen av ulike miljøgifter i overflatejord fra de sentrale delene av Harstad viser at overflatejorden er fra lavt til meget sterkt forurensset.. De høyeste konsentrasjonene av miljøgifter i overflatejorda forekommer ved skipsverftene og industriområdene, eksempelvis Mathiassen mek.verksted og Kaarbø verksted, samt ved tidligere avfalls- og industrifyllinger (for eksempel nord for Gangsåsholmen og innerst i Harstadbotn). Det er stort sett sjønære områder som har de høyeste konsentrasjonene av miljøgifter i overflatejord. Overflatejorda i de sjønære områdene kan utgjøre en stor spredningsrisiko til det marine miljøet.

Det anbefales å følge opp de mest forurensede områdene med detaljerte undersøkelser for å kvantifisere spredning av miljøgifter fra land til sjø fra disse forurensningskildene.

2. INNLEDNING

Denne rapporten beskriver forurensningsnivå i overflatejord (0-2 cm) i Harstad og indikerer potensiell spredning av miljøgifter fra tette flater via overvannssystemet gjennom bestemmelse av miljøgifter i sandfangssmasser.

2.1 Bakgrunn

Fylkesmannen i Troms, Miljøvernavdelingen, har igangsatt arbeidet med å utarbeide en plan for opprydding av forurensede marine sedimenter i Harstad havn. Det er dokumentert en betydelig forurensning med miljøgifter i havneområdet (Larsen et al. 2003). Mattilsynet har gitt kostholdsråd om at lever fra fisk tatt innenfor en linje mellom Holstneset og tankanlegget på Gangsås frarådes til konsum. Flere norske byer og havneområder står nå foran utfordringer i forbindelse med opprydningstiltak i de marine sedimentene, og det er i den forbindelse viktig å ha oversikt over mulige forurensningskilder på land. En eventuell diffus tilførsel av miljøgifter fra landbaserte kilder vil føre til en kortvarig effekt av et eventuelt opprydningstiltak.

Harstad kommune og Troms fylkeskommune etablerte i 2005 et samarbeidsprosjekt med Norges geologiske undersøkelse (NGU) med hensikt å beskrive jordforurensning i Harstad by som en potensiell diffus forurensningskilde samt å kartlegge spredning av miljøgifter fra tette flater til det marine miljø.

NGU har de siste 10 årene satt fokus på miljøtilstanden i tettbebygde områder i Norge, og det er blitt foretatt omfattende undersøkelser som har kartlagt konsentrasjonen av ulike miljøgifter som tungmetaller, PAH og PCB i overflatejord, sandfangsmaterialer og mulige forurensningskilder som for eksempel bygningsmaterialer (se bl.a. Andersson m.fl. (2002, 2003, 2005) ; Jartun m.fl., 2005 ; Ottesen og Volden, 1999 ; Ottesen m.fl., 1999 ; Ottesen m.fl., 2000).

Tre av fire nordmenn bor i byer eller tettsteder. Her foregår størstedelen av samfunnets forbruk av varer. Gjennom tidene har store mengder ulike produkter (bygningsmaterialer, maling, kull, olje, bensin osv.) blitt transportert inn til byene og brukt der. Byjorda er i seg selv en blanding av lokal naturlig mineraljord, gravemasser, sprengstein, organisk materiale og bygningsrester (teglstein, betong, asfalt, maling osv.). Opp gjennom byenes historie vil

byjorda bli forurensset av rehabilitering/riving av bygninger, bybranner, trafikk, utslipp fra industri, utslipp fra forbrenningsovner, sykehus og krematorier.

I de fleste norske byer foregår det en ukontrollert graving og flytting av byjord. På denne måten kan man spre forurensset jord til rene områder. For å få bukt med dette problemet, er det viktig at hver by kjenner til områdene der jorda er forurensset, og fører kontroll med hvor denne jorda deponeres etter graving.

I et urbant miljø som i indre Harstad by utgjør andelen av tette flater (hustak, parkeringsplasser, veger) ofte 80 – 100 % av arealet. I områder med boligstrøk og parker kan andelen tette flater være noe lavere. Fordøyning, infiltrasjon og absorpsjon av regnvann i bakken blir redusert i de sentrale områdene, og det kan føre til en stor grad av overflateavrenning. Det meste av avrenningen vil ledes til sluk og ledningsnett, som kan lede vannet inn på renseanlegg eller til et utslipppunkt til en nærliggende recipient, som for eksempel sjøen. Store regnsvyll kan føre til overbelastning av avløpsnettet og gi ukontrollerte utslipp direkte til sjøen. Sandfang er kummer som fanger opp materialer fra overflateavrenning. Konsentrasjonen av miljøgifter i disse materialene vil gi et bilde på hva som kan transporteres i et bymiljø, og man kan bruke resultatene til å lete seg fram til eventuelle forurensningskilder. Hver sandfangskum vil ha et begrenset geografisk område som den samler materialer fra.

NGUs tidligere undersøkelser av overflatejord viser at det ofte er svært høye konsentrasjoner av både tungmetaller og organiske miljøgifter i sentrale byområder og nær havnebassengen. Det er derfor nærliggende å tro at kilder på land, for eksempel forurensset byjord, lekkasje fra bygningsmaser (avflassing av maling og puss), og veitrafikk kan tilføre havnebassengen betydelige mengder miljøgifter, for eksempel via avrenning på overflaten, regnsvyll, snømåking og via avløpssystemet.

2.2 Undersøkt område



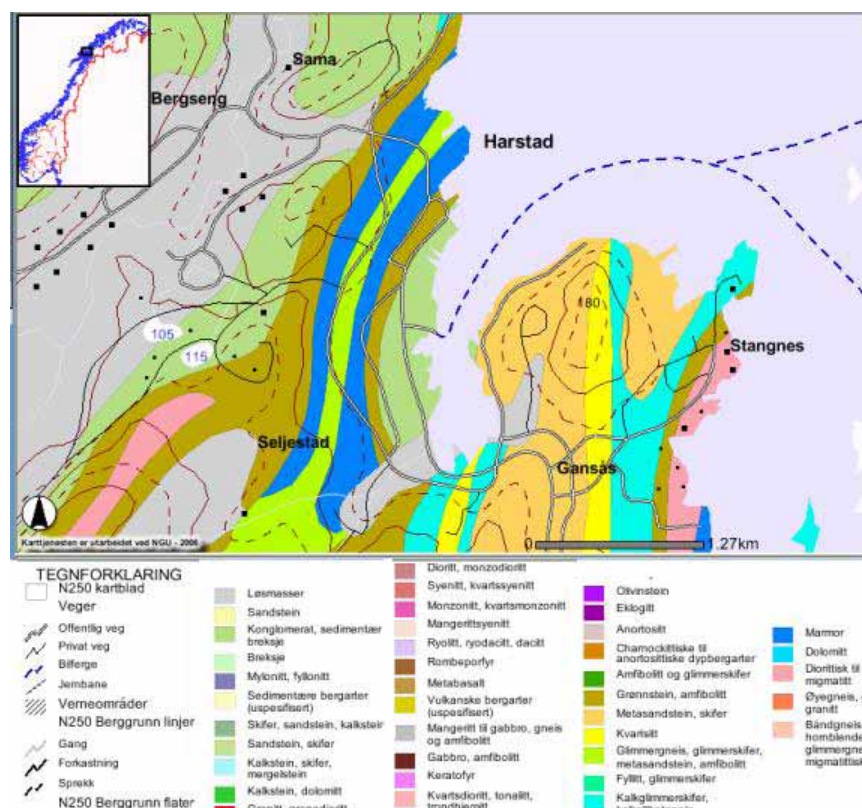
Figur 1. Harstads beliggenhet i Norge

Harstad ligger på Norges største øy, Hinnøya, i Troms fylke. Utviklingen av Harstad til et bysenter kom som følge av beliggenheten og samferdselsmønsteret opp gjennom tidene. Sjøen var den gamle samferdselsåren, og Damskipsbåtene hadde anløp på Sandtorg og på Trondenes. I 1844 ble Trondenes erstattet av Harstadhamn, og dette igjen erstattet av Harstadsjøen i 1848, noe som var første steg mot Harstad som by. I 1893 ble tettstedet Harstad skilt ut fra Trondenes som egen kommune. Stortinget vedtok ved lov av 09.06.1903 at Harstad skulle være egen bykommune fra 01.01.1904, og grensene ble litt videre enn kommunegrensene fastsatt i 1893. Fra 01.01.64 ble Trondens, Sandtorg og Harstad slått sammen til en kommune med navnet Harstad og med bystatus, og Harstad by feiret 100-årsjubileum i 2004. (www.harstad.kommune.no).

Hele Harstad kommune har et areal på 364 km², hvorav sentrale Harstad by utgjør ca. 12 km². 1. januar 2005 var det 23.111 innbyggere i Harstad, og næringslivet omfatter sjøfart, verkstedsindustri og base for oljeselskaper. Harstad havneområde har foruten skipstrafikken i mange år vært et viktig industriområde med mekaniske verksteder, skipsvedlikehold og omlasting og lagring av kull og olje. Deler av havna er etablert på fyllinger (Larsen et al., 2003). Nedbørsstatistikken viser at det årlig faller ca. 850 mm nedbør over Harstad.

2.3 Geologi

Harstادområdet er dominert av opprinnelig sedimentære, kalkrike bergarter (NGUs berggrunnsdatabase, se Figur 2).



Figur 2. Berggrunnsgeologisk kart over Harstادområdet (NGUs berggrunnsdatabase, <http://www.ngu.no>)

2.4 Mål for undersøkelsen i Harstad

- Kartlegge jordforurensning i Harstad ved hjelp av prøver av overflatejord
- Utarbeide kart som viser den geografiske utstrekning av eventuell forurensning
- Indikere mulige forurensningskilder
- Karakterisere potensielle spredningsveier
- Kartlegge aktiv spredning av miljøgifter fra land til sjø ved hjelp av sandfangsmasser
- Sammenstille og kvalitetssikre tilsvarende eksisterende data fra andre norske byer

3. METODER

3.1 Prøvetaking av byjord

Det ble samlet inn 186 prøver av overflatejord (0-2 cm) fra sentrale deler av Harstad (se kart i Figur 6). Prøvemengder á ca. 0,5 kg ble samlet inn med en hagespade og emballert i papirposer.



Figur 3. Eksempler på lokaliteter for prøvetaking av overflatejord i Harstad

3.2 Prøvetaking av murfasader

På bakgrunn av NGUs funn av PCB i murfasader fra bl.a. Bergen ble det valgt ut 10 bygninger i Harstad som ble oppført i perioden 1950-1970, da bruken av PCB var størst. I Bergen ble det påvist PCB i både maling og murpuss. Det ble derfor tatt ut kjerner med diameter 6 cm og lengde ca. 8 cm, fra murfasadene til de utvalgte bygningene i Harstad. Prøvene ble tatt ut med et kjernebor, og i prøver hvor det var klare skiller mellom maling, puss og betong, ble disse lagene saget ut ved NGUs laboratorium. Prøvelokalitetene er nærmere angitt i resultatdelen.



Figur 4. Prøvetaking av betongkjerner fra murfasader. T.v.: Seljestad skole, Harstad

3.3 Prøvetaking av sandfang

Sandfangene består av en kum som samler opp materialer som transporteres i gateplan, bl.a. ved regnvær. Vann og transporterte materialer ledes som regel først gjennom en rist og samles opp i et sandfang. Kummene ble åpnet med en kumjekk, og det faste materialet i bunn av disse kummene ble tatt opp ved hjelp av et skaft i aluminium med en kopplignende struktur i ene enden, slik Figur 5 viser. Det ble samlet inn prøver á ca. 1 L fra 34 ulike sandfang i de sentrale delene av Harstad (se kart i Figur 9). Prøvene ble samlet inn i hvite plastbøtter og fraktet til NGUs laboratorium i Trondheim for videre behandling.

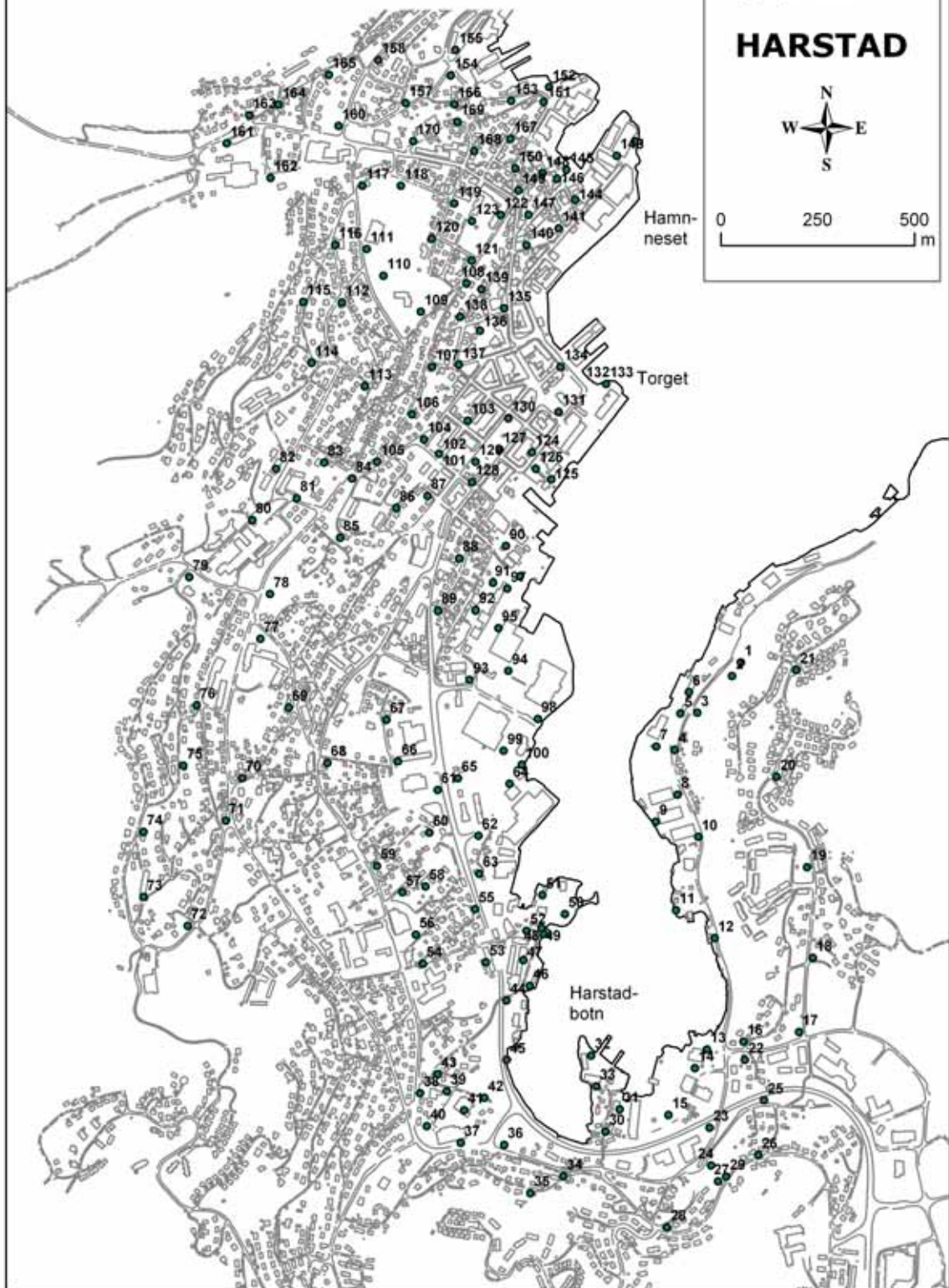


Figur 5. Kummene ble åpnet, og materialet ble hentet ut med en øseanretning i aluminium

Prøvepunkter Overflatejord

NGU
Norges geologiske undersøkelse

HARSTAD



Figur 6. Prøvepunkter for overflatejord

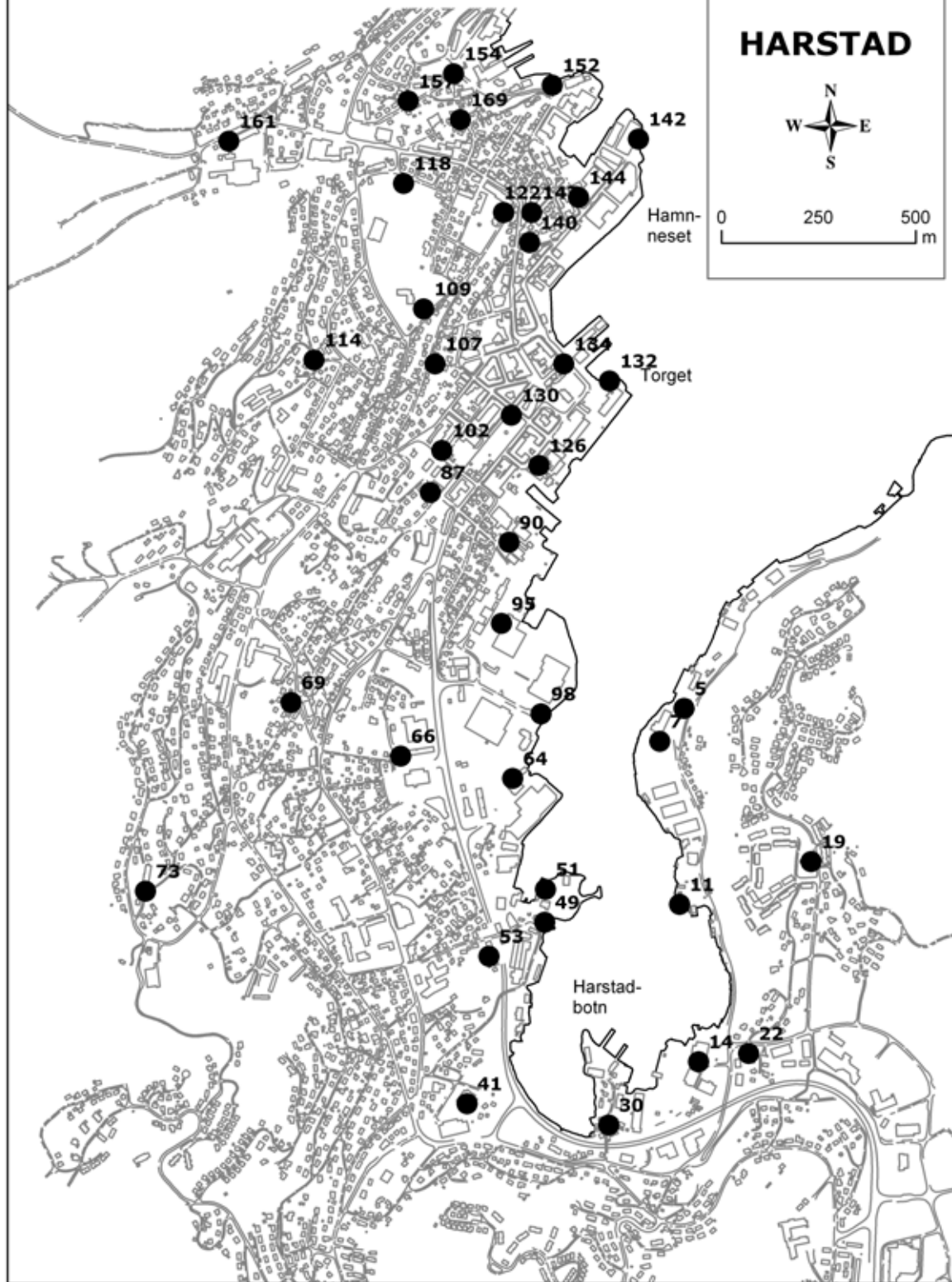
**Prøvepunkter
PAH og PCB i overflatejord**

NGU
Norges geologiske undersøkelse

HARSTAD



0 250 500 m



Figur 7. Prøvepunkter for PAH og PCB i overflatejord (N=39) i Harstad.

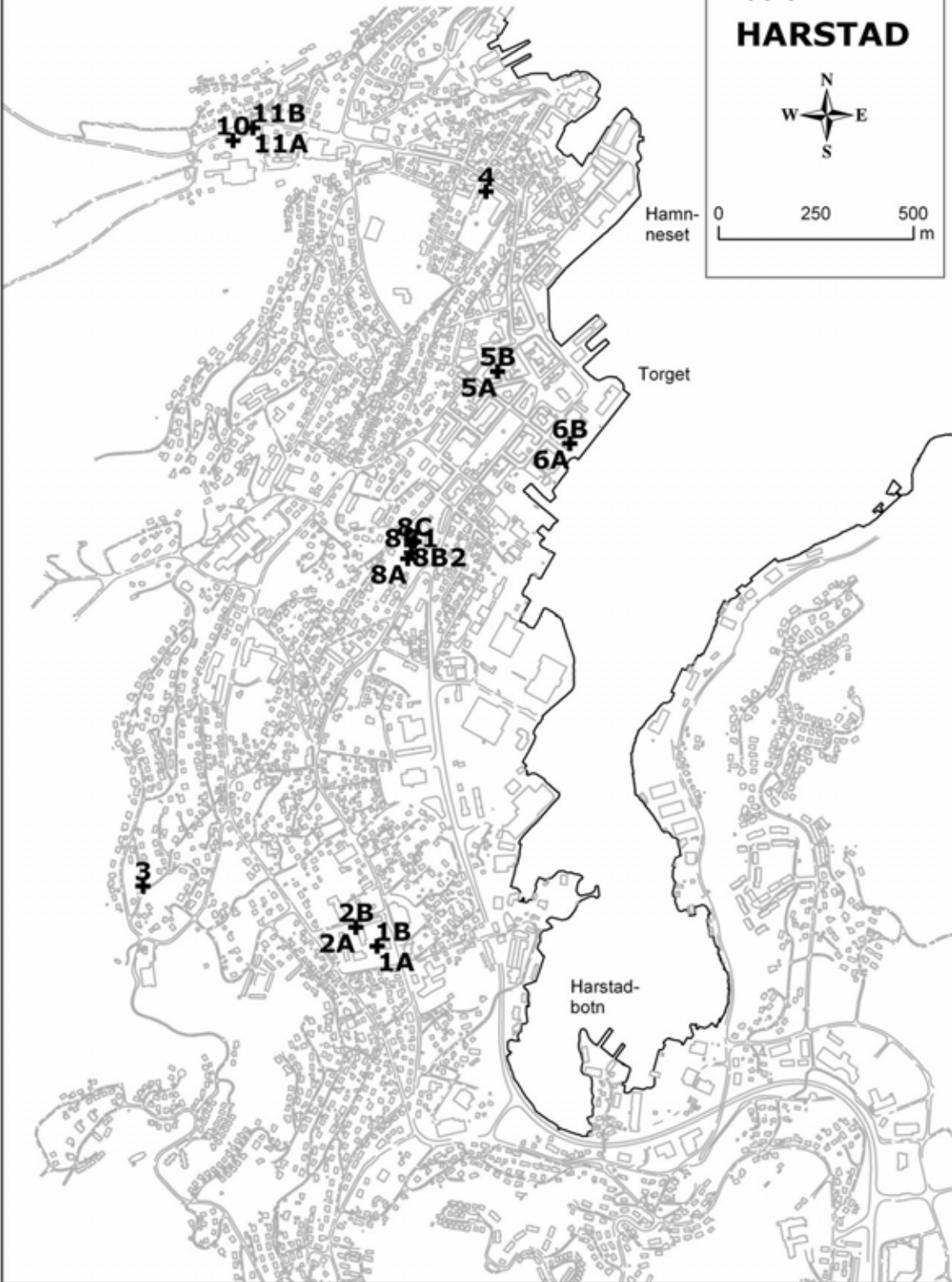
Prøvelokaliteter murfasader

NGU
Norges geologiske undersøkelse

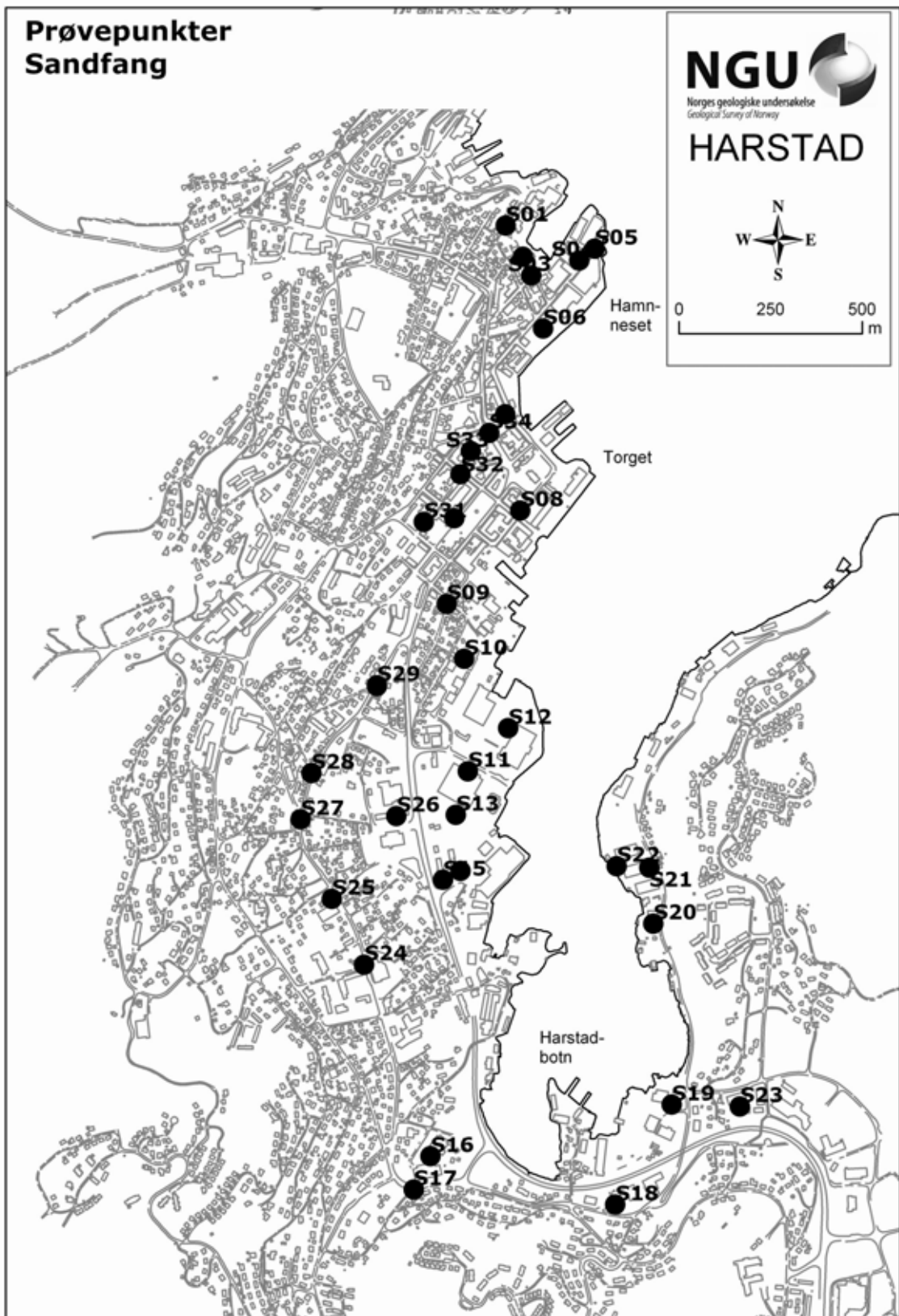
HARSTAD



0 250 500 m



Figur 8. Prøvelokaliteter for uttak av betongkjerner fra bygningsfasader (se tabell)



Figur 9. Prøvepunkter for sandfangsmaterialer (N=34) i Harstad.

3.4 Prøvebehandling

3.4.1 Byjords- og sandfangsprøver

39 prøver av byjord og samtlige sandfangsprøver ble splittet i to deler ved ankomst NGUs laboratorium. Én del ble sendt til AnalyCen AS i Moss for bestemmelse av PCB og PAH. Den andre delen ble, sammen med resten av byjordsprøvene satt til tørking ved 30°C i tørkeskap til prøvene var helt tørre. Prøvene ble siktet med nylonsikt på 2 mm, og grovfraksjonen ble kastet. Finfraksjonen ble benyttet i det kjemiske analysene.

3.4.2 Murpuss/betongprøver

Kjerneprøvene fra murfasader ble saget i en ytre og en indre del. Den ytre delen omfattet eventuelt malings- og pusslag, mens den indre delen var ren betong. Begge delprøvene ble knust før de ble sendt til AnalyCen for bestemmelse av PCB-innhold.

3.5 Kjemisk analyse

3.5.1 PCB/PAH

PCB ble bestemt ved hjelp av GC-ECD (gasskromatografi med elektroninnfangsdetektor) med en deteksjonsgrense på ca. 0,002 mg/kg (2 µg/kg) med en måleusikkerhet på ± 25 % i alle prøvene. PAH-forbindelser ble bestemt med GC-MS (gasskromatografi med massespektrometri) med en deteksjonsgrense på ca. 0,01 mg/kg og en måleusikkerhet på ± 15-35 %. Analysene er akkreditert, og ble utført av laboratoriet AnalyCen AS i Moss.

3.5.2 Grunnstoffer og total organisk karbon (TOC)

Ett gram finstoff ble oppsluttet i 7 N HNO₃ i autoklav i samsvar med Norsk Standard – NS 4770. 31 ulike grunnstoffer, bl.a. bly (Pb), kobber (Cu), sink (Zn), krom (Cr) og nikkel (Ni) ble bestemt ved ICP-AES-analyser. Grunnstoffene arsen (As), kadmium (Cd) og tinn (Sn) ble bestemt ved hjelp av atomabsorpsjonsanalyse med grafittovn teknikk (GFAAS). Kvikkolv (Hg) ble bestemt ved hjelp av atomabsorpsjon med Hg-kalddampteknikk. Analyseusikkerheten for samtlige grunnstoffer er ± 10 % i alle prøvene. Nedre bestemmelsesgrense (deteksjonsgrense) er angitt i Tabell 1 og Tabell 2.

Tabell 1. Nedre bestemmelsesgrense (mg/kg) for grunnstoffer bestemt med ICP-AES-analyse

Si*	Al	Fe	Ti	Mg	Ca	Na	K	Mn	P	Cu	Zn	Pb	Ni	Co	
100	20	2	1	100	200	200	100	0,2	10	0,5	1	1	1	0,1	
V	Mo	Cd	Cr	Ba	Sr	Zr	Ag	B	Be	Li	Sc	Ce	La	Y	As*
1	0,5	0,1	0,2	1	1	1	2	5	0,2	1	0,1	2	1	0,1	2

* Ikke omfattet av akkreditering

Tabell 2. Nedre bestemmelsesgrense (mg/kg) for grunnstoffer bestemt med GFAAS.

Cd	As	Sn	Hg
0,02	1	3	0,01

Innholdet av total organisk karbon (% TOC) ble bestemt ved hjelp av et Leco SC-444-instrument med en nedre bestemmelsesgrense på 0,1 % TOC i NGUs akkrediterte laboratorium. Analyseusikkerheten for TOC-analyser er $\pm 15\%$ rel. i måleområdet 0,1 – 3,0 % TOC og $\pm 10\%$ rel. i måleområdet over 3,0 % TOC.

3.6 Statistisk behandling av data og karttegning

Resultatene er presentert med enkle statistiske parametre som minimum, maksimum, aritmetisk gjennomsnitt og medianverdi. Ved konsentrasjoner under deteksjonsgrensen (for eksempel < 5 mg/kg) er verdien satt til halve deteksjonsgrensen (eksempelvis 2,5 mg/kg for eksempelet foran) ved tegning av kart og ved de enkle statistiske beregningene. Rådata og koordinater er presentert i vedlegg 1 (overflatejord) og vedlegg 2 (sandfangsmaterialer).

Kartbildene for tungmetaller, PAH, PCB og TOC er laget ved hjelp av GIS-verktøyet ArcMap™ 8.2 fra ESRI®. Konsentrasjonsklassene omfatter en 5-deling av tierpotensen, som er vanlig ved presentasjon av geokjemiske data. Konsentrasjonsklassene blir da: 1-16, 16-25, 25-39, 39-63 og 63-100 osv. Den minste klassen utgjør ca. 1/3 av prøvene (33-prosentilen). Kartene er vist i vedlegg 4 (overflatejord) og vedlegg 6 (sandfangsmaterialer).

Det er også tegnet kart basert på de grenseverdiene Trondheim kommune har etablert for gravemasser (ren jord, jord på lekearealer, byjord, moderat forurensset jord og sterkt forurensset jord). Kartene er vist i vedlegg 5.

Tabell 3. Trondheim kommunes forslag til grenseverdier for miljøgifter i jord ved ulik arealbruk

mg/kg	Ren jord	Lekeareal, boliger	Byjord (park, kontor)	Moderat forurensset (industri, hovedvei)	Sterkt forurensset jord
Arsen (As)	7	20	40	100	> 100
Kadmium (Cd)	3	5	5	10	> 10
Krom (Cr)	100	100*	100*	200*	>200*
Kobber (Cu)	100	200	200	1000	> 1000
Kvikksølv (Hg)	1	1	2	5	> 5
Nikel (Ni)	50	135	135	135	> 500
Bly (Pb)	60	150	200**	600	> 600
Sink (Zn)	100	500	500	1000	> 1000
Polysykliske aromatiske hydrokarboner (PAH)	2	5	5	25	>25
Benzo(a)pyren	0,1	0,5	0,5	2,5	>2,5
Polyklorerte bifenyler (PCB)	0,01	0,5	0,7-5	-	-

* = foreligger krom som Cr (III) eller Cr (VI) ?

** = må godkjennes av Nasjonalt folkehelseinstitutt etter ny vurdering

Ren jord: kan brukes fritt, lekeareal, bolig: kan brukes ved nevnte arealbruk, byjord: deponi for lavforurensset masse, moderat forurensset masse: godkjent deponi for slike masser, sterkt forurensset masse: nasjonale løsninger.

3.7 Kvalitetssikring

Fra hvert 10. prøvested ble det tatt en duplikatprøve ca. 1 m fra opprinnelig prøve, som ble behandlet på samme måte som originalprøvene. Avviket mellom de to prøvene fra samme lokalitet vil være et mål på datasettets reproduserbarhet. Det foreligger ikke duplikatdata for stoffene PAH og PCB. Det er god til tilfredsstillende reproducerbarhet for de kontrollerte grunnstoffer (vedlegg 3).

4. RESULTATER OG KOMMENTARER

4.1 Overflatejord

En generell oversikt over konsentrasjonen av ulike grunnstoffer, PAH₁₆, PCB₇ og TOC i overflatejord fra Harstad er gitt i Tabell 4. Alle rådata med prøvepunkter og koordinater er presentert i vedlegg 1. Resultatene fra PCA-analysen er presentert i vedlegg 3. Kumulative frekvensfordelingskurver er dokumentert i Figur 12. Kart som viser den geografiske fordelingen av arsen, kadmium, krom, kobber, kvikksølv, nikkel, bly, tinn, sink, TOC, PAH og PCB i overflatejord er vist i vedlegg 4.

Fordelingen av arsen, kadmium, kobber, krom, kvikksølv, bly, sink og tinn i overflatejord fra Harstad viser høyest konsentrasjoner i området rundt fjorden. De yngre bydelene har et lavt innhold av arsen og metaller. Nikkelfordelingen er ganske jevn, kun med et område med markert nikkelforurensning.

I noen lokaliteter i havneområdet er overflatejorda meget sterkt forurenset med bly, kadmium, kobber, sink, tinn og PAH og moderat forurenset med arsen, kvikksølv, nikkel og krom. De mest forurensede arealene inneholder høye konsentrasjoner av barium og molybden, som indikerer spor av maling/blåsesand. Områdene med de høyeste konsentrasjonene av miljøgifter omfatter tidligere og nåværende skipsverftsområder, som rundt Mathiassen mekaniske verksted og Kaarbø-verkstedet. Det er også forhøyede konsentrasjoner av enkelte stoffer ved avfallsfyllinger, som vestre Gangsås og innerst i Harstadbotn.

Det er en fare for overflateavrenning til sjøen fra slike områder. Overflatejorda kan eroderes ved store regnskyll, snømåking og vind. En detaljert estimering av spredningsrisikoen er ikke utført i denne undersøkelsen.

Figur 12 viser kumulativ frekvensfordeling for 9 grunnstoffer basert på konsentrasjonen i overflatejord fra Harstad. De kumulative frekvensfordelingene har flere markerte knekkpunkter. Dette indikere flere kilder for de forskjellige metallene (både naturlige og antropogene kilder).

Det grå feltet av Tabell 4 viser de miljøparametrene som SFT og andre miljøinstanser i Norge fokuserer mest på, bl.a. gjennom SFTs normverdier for mest følsom arealbruk. Tabell 6 viser en enkel sammenligning mellom prøver av overflatejord fra Harstad og SFTs normverdier for mest følsom arealbruk (barnehager, lekeplasser).

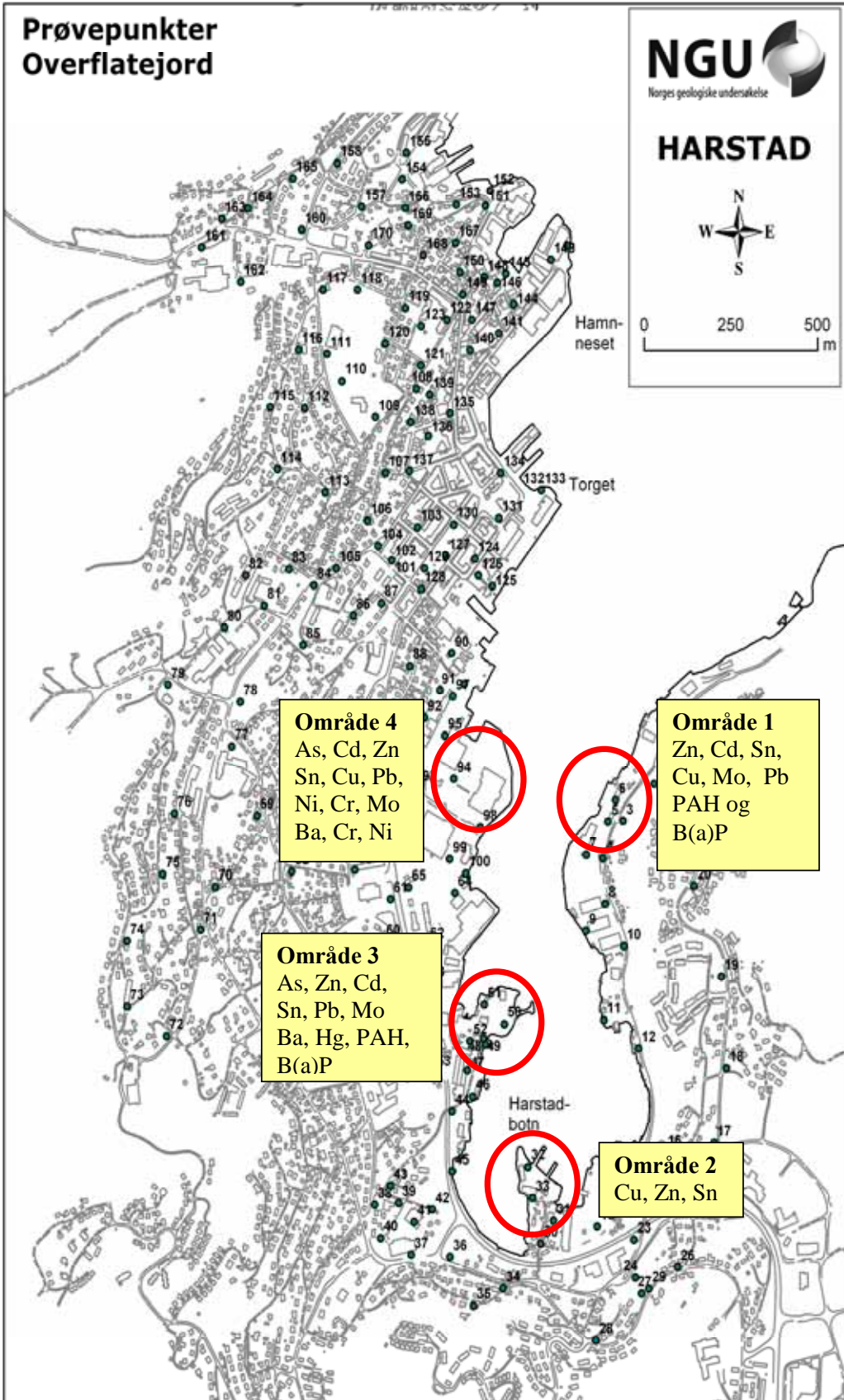
NGU har utgitt et atlas som beskriver løsmassenes naturlige kjemiske sammensetning (Ottesen m.fl., 2000). Tabell 7 viser medianverdien av den syreløselige konsentrasjonen av enkelte grunnstoffer i flomsedimenter fra Troms.

Tabell 4. Oversikt over konsentrasjoner av kjemiske parametre i overflatejord i 186 prøver fra Harstad

Kjemisk symbol	Enhets	Stoff	Min	Max	Aritmetisk gjennomsnitt	Median	33-%
As	mg/kg	Arsen Kadmium Krom Kobber Kvikksølv Nikel Bly Tinn Sink	<1	53	5,9	4,1	3,1
Cd	mg/kg		<0,02	7,7	0,36	0,16	0,11
Cr	mg/kg		9,41	328	35,5	30,2	26,1
Cu	mg/kg		7,51	6920	203,8	44,9	35,2
Hg	mg/kg		<0,01	2,612	0,08	0,03	0,01
Ni	mg/kg		7	202	31	27	22
Pb	mg/kg		2,1	2040	64,5	17,5	10,7
Sn	mg/kg		<3	700	8,5	<3	<3
Zn	mg/kg		23,4	7020	371	95	65
TOC	%	Total org. karbon Polyaromatiske hydrokarboner Polyklorerte bifenyler	0,15	12,3	2,40	1,91	1,39
PAH ₁₆ *	mg/kg		<0,02	46	2	0,12	0,1
PCB ₇ *	µg/kg		<2	78	16	7	2
Ag	mg/kg	Sølv	<1	<1	<1	<1	<1
Al	mg/kg	Aluminium	3540	35000	13227	12850	11200
B	mg/kg	Bor	<5	110	4,2	<5	<5
Ba	mg/kg	Barium	27,2	2630	141,1	91,3	75,1
Be	mg/kg	Beryllium	<0,2	0,72	0,1	<0,2	<0,2
Ca	mg/kg	Kalsium	2740	196000	15002	9300	7410
Ce	mg/kg	Cerium	5,2	157	44,0	39,3	28,1
Co	mg/kg	Kobolt	2,72	46,9	11,0	9,9	8,2
Fe	mg/kg	Jern	7570	211000	27067	22100	19800
K	mg/kg	Kalium	760	13800	3356	3060	2431
La	mg/kg	Lantan	4,2	87,5	23,5	21,0	16,4
Li	mg/kg	Litium	3,9	61,7	18,8	15,7	12,8
Mg	mg/kg	Magnesium	2830	32300	11304	10200	8991
Mn	mg/kg	Mangan	139	4560	544	378	309
Mo	mg/kg	Molybden	<0,5	79,2	2,5	1,2	1,0
Na	mg/kg	Natrium	278	24900	808	509	420
P	mg/kg	Fosfor	93	4650	771	681	575
Sc	mg/kg	Scandium	1,34	10,6	3,5	3,4	3,0
Si	mg/kg	Silisium	<100	1680	183	133	111
Sr	mg/kg	Strontium	8,9	1340	75	35	25
Ti	mg/kg	Titan	464	3640	1160	1105	988
V	mg/kg	Vanadium	12,8	117	40	39	34
Y	mg/kg	Yttrium	2,8	29,1	9,0	8,3	6,5
Zr	mg/kg	Zirkon	<1	42,6	3,6	2,3	2,0

*Konsentrasjonen av PAH₁₆ og PCB₇ er kun bestemt i 39 prøver

Område 1 (Figur 10) er karakterisert av et meget høyt innhold av kobber, sink, tinn og molybden. Overflatejorden her er moderat forurenset med bly, kadmium og PAH-forbindelser. Harstadbotn (område 2 i Figur 10) er markert forurenset med tinn og moderat forurenset med kobber og sink. Område 3 (Figur 10) er meget sterkt forurenset med kobber, sink, bly, arsen, kadmium, PAH, benzo(a)pyren og moderat forurenset med kvikksølv, barium, molybden og bor. Det siste området (område 4 i Figur 10) er meget sterkt forurenset med sink, kobber, arsen, molybden, tinn og barium og moderat forurenset med bly, kadmium, krom og nikkel. Det er gjennomført miljøtekniske grunnundersøkelser i områdene 2, 3 og 4 (www.sft.no).

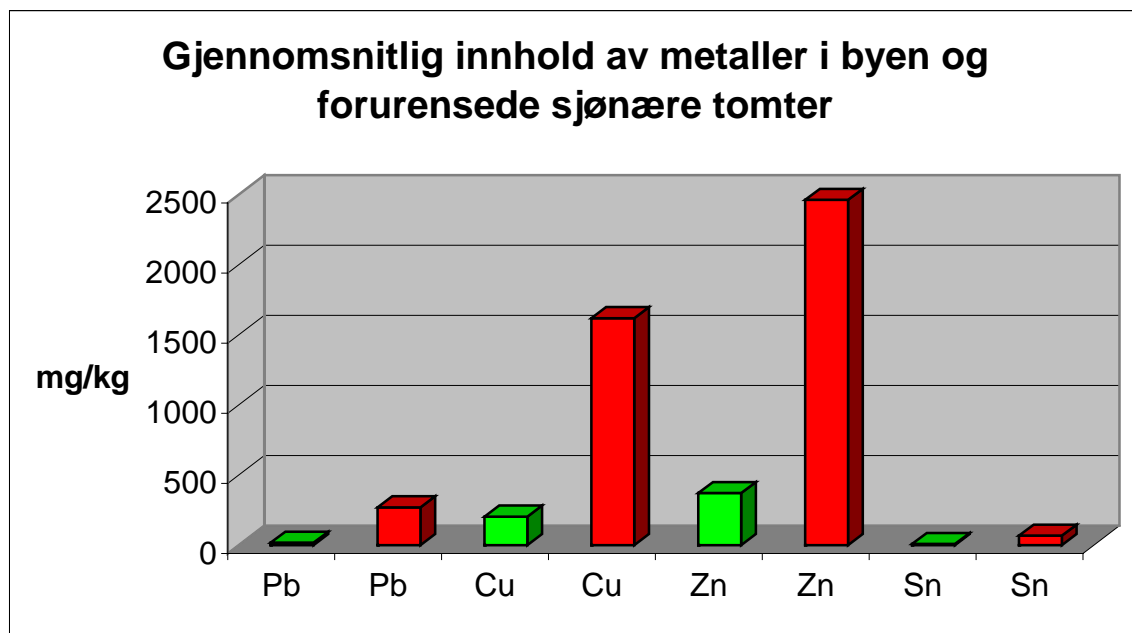


Figur 10. Områder hvor overflatejorden er til dels meget sterkt forurensset.

Tabell 5. Oversikt over konsentrasjoner av kjemiske parametere i overflatejord fra de sterkest forurensede områdene i Harstad.

Kjemisk symbol	Enhet	Stoff	Min	Max	Aritmetisk gjennomsnitt	Median
As	mg/kg	Arsen	3,0	53	14	5,9
Cd	mg/kg	Kadmium	0,04	7,7	1,42	0,64
Cr	mg/kg	Krom	10,3	328	75	56
Cu	mg/kg	Kobber	37	6920	1618	1220
Hg	mg/kg	Kvikksølv	0,01	2,61	0,21	0,07
Ni	mg/kg	Nikkel	11,6	202	47	35
Pb	mg/kg	Bly	8,8	2040	270	93
Sn	mg/kg	Tinn	1,5	700	68	14
Zn	mg/kg	Sink	66	7020	2462	1110
TOC	%	Total org. karbon	0,53	4,39	1,54	1,34
PAH ₁₆ *	mg/kg	Polyaromatiske Hydrokarboner	0,01	46	14,9	4,2
PCB ₇ *	µg/kg	Polyklorerte bifenyler	13	37	24	25
B	mg/kg	Bor	2,5	110	16	6,7
Ba	mg/kg	Barium	68	2630	371	164
Mn	mg/kg	Mangan	199	1400	589	496
Mo	mg/kg	Molybden	0,98	79	14,6	3,4

*Konsentrasjonen av PAH₁₆ og PCB₇ er kun bestemt i 39 prøver



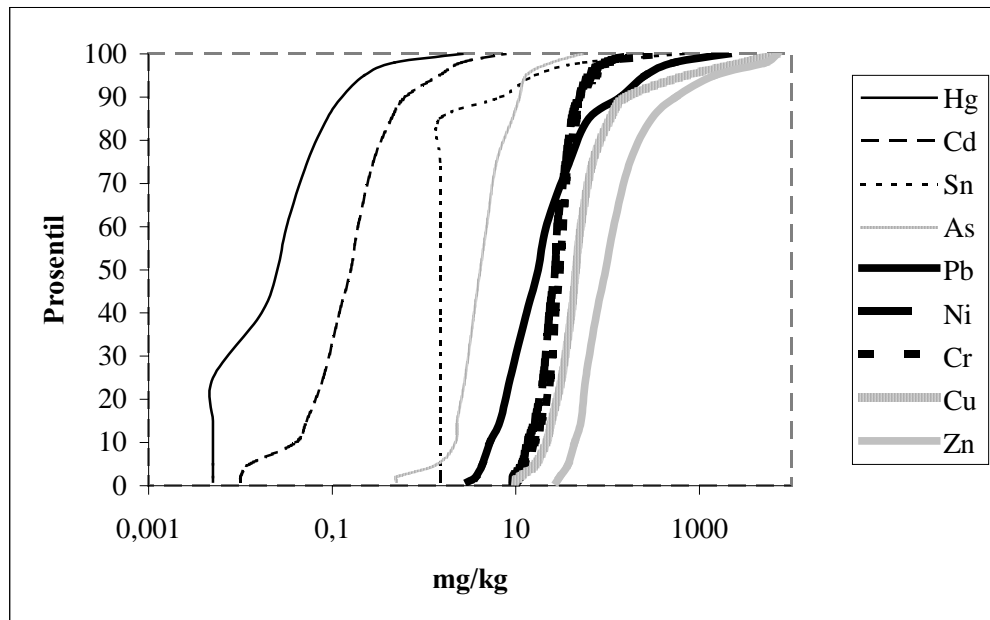
Figur 11. Innhold av bly (Pb), kobber (Cu), sink (Zn) og tinn (Sn) i overflatejord fra hele Harstad by (grønne stolper) og innholdet av metaller i de fire mest forurensede arealene ved havna (røde stolper).

Tabell 6. Andelen av prøver av overflatejord (totalt N = 186) fra Harstad som overskridet SFTs normverdier for mest følsom arealbruk. For PCB og PAH er N = 39.

	As	Cd	Cr	Cu	Hg	Ni	Pb	Zn	PCB7	PAH 16
<i>SFTs normverdier (mg/kg)</i>	2	3	25	100	1	50	60	100	0,01	2
Antall prøver > SFTs norm	169	3	133	29	2	18	29	91	17	3
% prøver > SFTs norm	91	2	72	16	1	10	16	49	44	8

Tabell 7. Tabell: Syreløselig konsentrasjon (mg/kg) av enkelte grunnstoffer i flomsedimenter fra hele Norge og Troms (Ottesen m.fl., 2000)

(mg/kg)	Norge (N=690) Flomsedimenter	Troms (N=62) Flomsedimenter	Harstad (N=186) Overflatejord
As – Arsen	2,5	2,7	4,1
Cr – Krom	27	34	30,2
Cu – Kobber	18	35	44,5
Ni – Nikkel	18	24	27
Pb – Bly	16	11	17,5
Zn – Sink	45	52	95



Figur 12. Kumulativ frekvensfordeling for 9 utvalgte grunnstoffer fra 186 prøver av overflatejord i Harstad. Legg merke til logaritmisk skala på x-aksen.

4.1.1 Overflatejordas tilstand i Harstad sammenlignet med andre byer

Tabell 8 gir en grov oversikt over medianverdien til utvalgte metaller og organiske miljøgifter i norske byer. Industribyen Odda er mest forurensset. Harstad har et høyere innhold av miljøgifter i overflatejord enn f.eks. Tromsø.

Tabell 8. Oversikt over mediankonsentrasjoner av kjemiske parametere i overflatejord fra norske byer

Kjemisk symbol	Enhet	Stoff↓	Ant. prøver:	Harstad N = 186	Tromsø ¹ N = 302	Oslo ² N = 297	Trondheim ³ N = 314	Bergen ⁴ N = 435	Odda ⁵ N = 257
As	mg/kg	Arsen		4,1	2,1	4,5	2,8	2,8	5,1
Cd	mg/kg	Kadmium		0,16	0,13	0,34	0,16	0,20	0,50
Cr	mg/kg	Krom		30	38	29	69	18	16
Cu	mg/kg	Kobber		45	34	24	35	29	25
Hg	mg/kg	Kvikksølv		0,03	0,02	0,06	0,13	0,10	0,14
Ni	mg/kg	Nikkel		27	27	24	45	13	16
Pb	mg/kg	Bly		18	6,2	34	35	38	48
Sn	mg/kg	Tinn		< 3	< 3	-	-	-	< 3
Zn	mg/kg	Sink		95	60	130	98	85	430
TOC	%	Total org. karbon		1,9	1,7	-	-	-	-
PAH 16	mg/kg	Polyaromatiske hydrokarboner	(N=39)	0,12	1,0	-	0,24 (N=88)	0,85 (N=20)	-
PCB 7	µg/kg	Polyklorerte bifenyler	(N=39)	7	3	-	-	7 (N=20)	-
Ag	mg/kg	Sølv		<1	<1	<1	-	<1	<10
Al	mg/kg	Aluminium		12850	14650	17200	18600	13200	10700
B	mg/kg	Bor		2,5	3,0	7,0	5,0	2,5	5,0
Ba	mg/kg	Barium		91	44	115	72	83	82
Be	mg/kg	Beryllium		0,1	3,9	5,5	-	4,2	0,1
Ca	mg/kg	Kalsium		9300	11600	6280	5400	6500	6530
Ce	mg/kg	Cerium		39,3	27,7	65,9	-	35,8	43
Co	mg/kg	Kobolt		9,9	12,0	9,7	13,5	6,7	6,1
Fe	mg/kg	Jern		22100	19400	21100	31000	17500	18200
K	mg/kg	Kalium		3060	1310	3130	2300	1510	2740
La	mg/kg	Lantan		21,0	9,9	29,2	15,4	14,0	19,3
Li	mg/kg	Litium		15,7	8,3	17,3	17,8	6,3	14,0
Mg	mg/kg	Magnesium		10200	8870	6040	12900	5250	4890
Mn	mg/kg	Mangan		378	243	438	442	256	345
Mo	mg/kg	Molybden		1,2	1,0	1,3	-	0,5	0,5
Na	mg/kg	Natrium		509	629	306	200	397	326
P	mg/kg	Fosfor		681	579	994	794	1300	704
Sc	mg/kg	Scandium		3,4	4,0	4,4	3,3	3,1	2,1
Si	mg/kg	Silisium		133	<100	113	-	<100	129
Sr	mg/kg	Strontium		35	47	41	27	48	26
Ti	mg/kg	Titan		1105	964	777	1110	1230	1240
V	mg/kg	Vanadium		39	46	52	55	38	26
Y	mg/kg	Yttrium		8,3	5,4	11,5	8,0	8,1	12,3
Zr	mg/kg	Zirkon		2,3	3,3	8,0	-	2,2	3,3

¹Jartun m.fl., 2002

²Tijhuis, 2003

³Ottesen m.fl., 1995 + upubl. materiale (PAH) ; NB. Prøvene fra Trondheim er oppsluttet med kongevann, og ikke 7 N HNO₃ som i de andre undersøkelsene.

⁴Ottesen og Volden, 1999

⁵Foreløpig upublisert materiale (NGU)

4.2 PCB i murfasader

Tabell 9 viser resultatene fra bestemmelse av PCB₇ i prøver fra forhåndsvalgte murfasader (ytre lag: maling og murpuss ; indre lag: ren betong). Se Figur 8 for kart over prøvelokalitetene. Det ble funnet spor av PCB₇ i prøve 1A fra Seljestad skole, men konsentrasjonen er lav. I en lignende undersøkelse i Bergen (Andersson et al 2002) ble det påvist PCB (ofte i høye konsentrasjoner) i 13 av 39 undersøkte bygg.

Tabell 9. Resultat fra PCB-bestemmelse i prøver av betongkjerner med et ytre lag (maling, murpuss) og et indre lag (ren betong) fra 9 ulike bygninger fra perioden 1950 – 1970.

Feltnr.	Prøvelag	Adresse	PCB ₇ ($\mu\text{g}/\text{kg}$)
1A	Ytre	Seljestad skole, Bjørk Alle 1	35
1B	Indre	Seljestad skole, Bjørk Alle 2	<4
2A	Ytre	Seljestad (ungdomsskole)	<4
2B	Indre	Seljestad (ungdomsskole)	<4
3	Løst murpuss	Fagerlia sykehjem, Hestesletta 6	<4
4	Løst murpuss	Harstad ungdomsskole, Hålogalandsgt. 14	<4
5A	Ytre	Harstad kino, Erlingsgt. 3	<4
5B	Indre	Harstad kino, Erlingsgt. 4	<4
6A	Ytre	Saltlager, Larsneset	<4
6B	Indre	Saltlager, Larsneset	<4
8A	Løst murpuss	Mur ved Forsvarsbygg	<4
8B1	Ytre	Forsvarsbygg, 6.div gate	<4
8B2	Indre	Forsvarsbygg, 6.div gate	<4
8C	Løst murpuss	Forsvarsbygg, 6.div gate	<4
10	Løst murpuss	Samaanlegget, verksted	<4
11A	Ytre	Samaanlegget, kontor	<4
11B	Indre	Samaanlegget, kontor	<4

Nivået av PCB i overflatejorda tyder heller ikke på utstrakt bruk av PCB i Harstad. Selv om 44 % av PCB-konsentrasjonene overskriver SFTs normverdi for mest følsom arealbruk (0,01 mg/kg = 10 $\mu\text{g}/\text{kg}$), må nivået klassifiseres som lavt forurensset. Alle verdiene ligger under Nasjonalt Folkehelseinstitutts anbefalte tiltaksgrense for barns lekemiljø (500 $\mu\text{g}/\text{kg}$). Ut fra tidligere funn av høye PCB-konsentrasjoner i marine sedimenter utenfor Harstad, kan det tyde på at det eksisterer PCB-kilder i Harstad som ikke er påvist i NGUs undersøkelser av overflatejord, sandfangsmasser og murfasader.

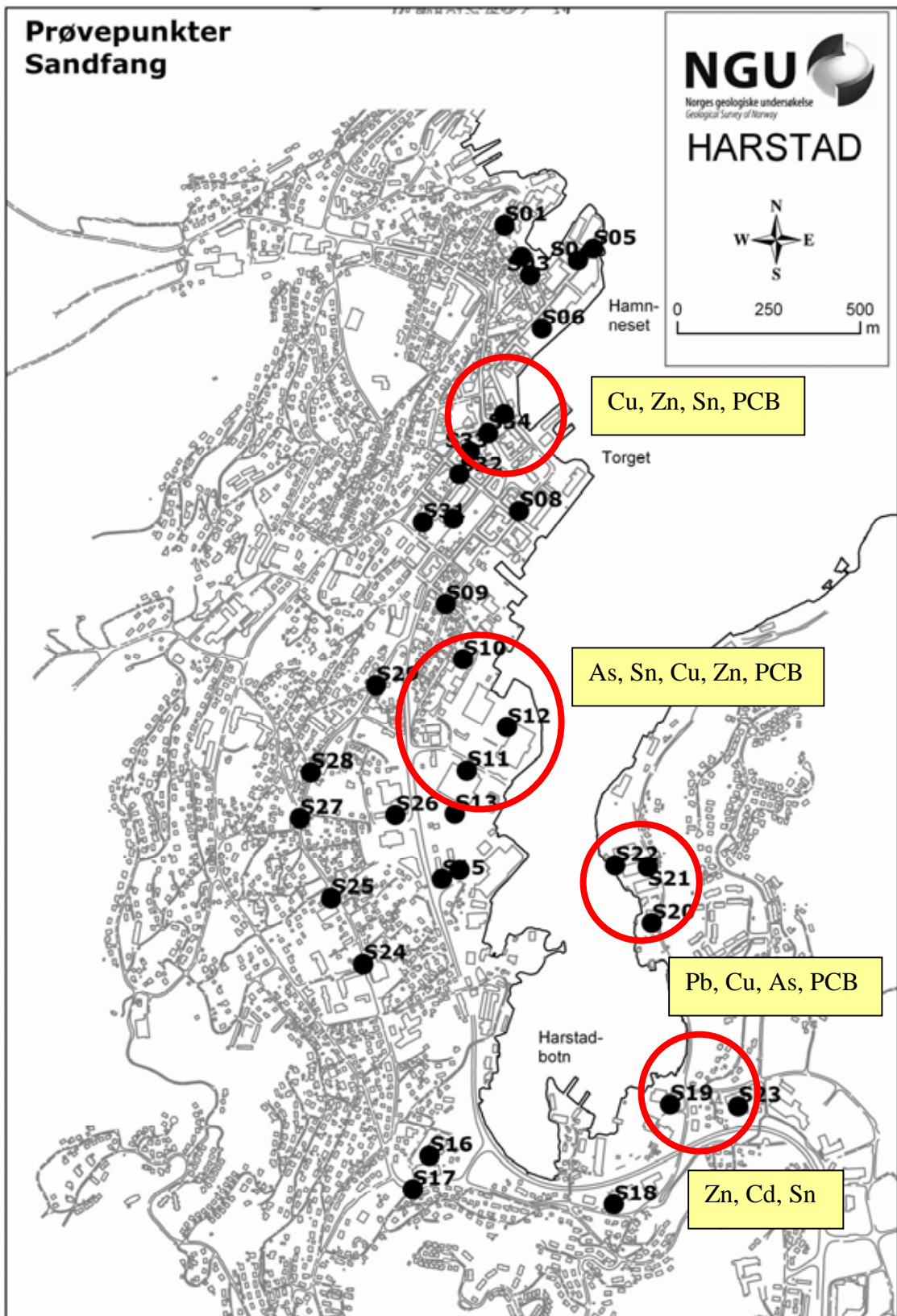
4.3 Sandfangsmaterialer

En generell oversikt over konsentrasjonen av ulike grunnstoffer, PAH₁₆, PCB₇ og TOC i sandfangsmaterialer fra Harstad er gitt i Tabell 10. Alle rådata med prøvepunkter og koordinater er presentert i vedlegg 2. Kartskisser som viser den geografiske fordelingen av stoffene arsen, kadmium, krom, kobber, kvikksølv, nikkel, bly, tinn, sink, total organisk karbon (TOC), PAH₁₆ og PCB₇ i sandfangsmaterialer er gitt i vedlegg 5.

Det er påvist generelt lave konsentrasjoner av miljøgifter i sandfangsmaterialene. I de mest forurensede områdene langs sjøkanten ble det ikke funnet sandfang som kunne prøvetas.

Tabell 10. Oversikt over konsentrasjoner av kjemiske parametere i sandfangsmaterialer i 34 prøver fra Harstad

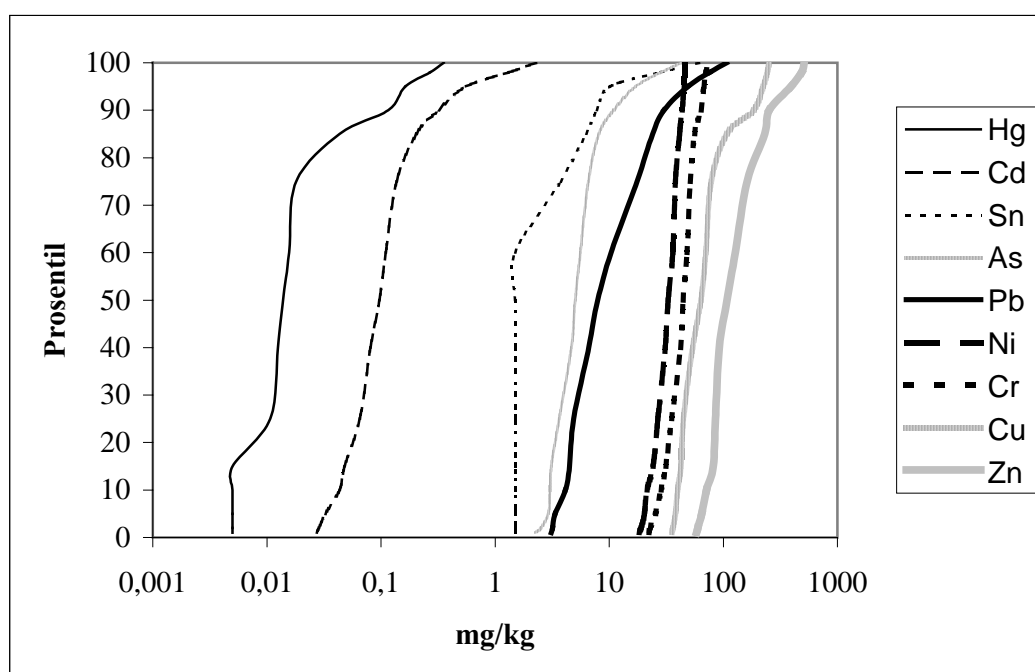
Kjemisk symbol	Enhet	Stoff	Min	Max	Aritmetisk gjennomsnitt	Median	33-%
As	mg/kg	Arsen	2,0	43,0	7,0	5,1	3,9
Cd	mg/kg	Kadmium	0,026	2,30	0,20	0,10	0,07
Cr	mg/kg	Krom	21,8	76,1	44,8	44,6	39,0
Cu	mg/kg	Kobber	34,8	252	82,1	63,7	47,8
Hg	mg/kg	Kvikksølv	< 0,001	0,354	0,04	0,01	0,01
Ni	mg/kg	Nikkel	17,3	46,4	33	33	29
Pb	mg/kg	Bly	3	107	15,6	7,9	5,4
Sn	mg/kg	Tinn	< 3	62	4,7	< 3	< 3
Zn	mg/kg	Sink	56,8	512	150	108	88
TOC	%	Total org karbon	1,18	5,37	2,52	2,28	1,95
PAH ₁₆	mg/kg	Polyaromatiske Hydrokarboner	< 0,02	11	1,6	0,9	0,3
PCB ₇	µg/kg	Polyklorerte Bifenyl	< 2	83	12	4	< 2
Ag	mg/kg	Sølv	<1	<1	<1	<1	<1
Al	mg/kg	Aluminium	8340	21500	14680	13950	12678
B	mg/kg	Bor	<5	5,7	2,6	<5	<5
Ba	mg/kg	Barium	40,5	189	101,8	94,1	84,8
Be	mg/kg	Beryllium	<0,2	0,1	0,1	<0,2	<0,2
Ca	mg/kg	Kalsium	5750	25200	10073	9260	8347
Ce	mg/kg	Cerium	11,3	34,7	18,8	18,1	16,6
Co	mg/kg	Kobolt	6,12	42,3	11,7	11,1	9,9
Fe	mg/kg	Jern	11900	32100	21282	20350	18789
K	mg/kg	Kalium	1390	10300	4284	3955	3276
La	mg/kg	Lantan	6	18,4	10,3	10,1	9,1
Li	mg/kg	Litium	5,5	30,7	14,8	14,0	13,3
Mg	mg/kg	Magnesium	6350	20200	11625	11150	10189
Mn	mg/kg	Mangan	159	515	269	263	228
Mo	mg/kg	Molybden	0,6	3,23	1,5	1,4	1,2
Na	mg/kg	Natrium	417	10100	997	646	558
P	mg/kg	Fosfor	322	789	566	530	490
Sc	mg/kg	Scandium	1,71	5,68	3,1	3,1	2,6
Si	mg/kg	Silisium	129	404	222	190	173
Sr	mg/kg	Strontium	14,8	87,6	30	26	24
Ti	mg/kg	Titan	497	1670	1094	1100	994
V	mg/kg	Vanadium	27,8	77,1	51	49	45
Y	mg/kg	Yttrium	3	7,24	4,8	4,8	4,2
Zr	mg/kg	Zirkon	1,1	4,3	2,2	2,1	1,7



Figur 13. Områder med forhøyet innhold av miljøgifter i sandfangsmasser.

Figur 13 indikerer en viss transport av sink, kobber, tinn, arsen, kadmium, bly og noe PCB fra land til det marine miljøet.

Figur 14 viser kumulativ frekvensfordeling for 9 grunnstoffer basert på konsentrasjonen i sandfangsmaterialer ($N = 34$) fra Harstad. Med unntak av kurvene for krom og nikkel har de øvrige kurvene markerte knekkpunkter som indikerer flere kilder for disse metallene.



Figur 14. Kumulativ frekvensfordeling for 9 utvalgte grunnstoffer fra 34 prøver av sandfangsmaterialer i Harstad. Legg merke til logaritmisk skala på x-aksen.

Tabell 11. Medianverdier for miljøgifter i sandfangsmasser fra Harstad, Bergen og Trondheim

Kjemisk symbol	Enhet	Stoff↓	Ant. prøver:	Harstad N = 34	Trondheim ¹ N = 53	Bergen ² N = 64
As	mg/kg	Arsen		5,1	5,0	3,7
Cd	mg/kg	Kadmium		0,10	0,2	0,4
Cr	mg/kg	Krom		44,6	42,8	25
Cu	mg/kg	Kobber		63,7	52,9	97
Hg	mg/kg	Kvikksolv		0,01	< 0,01	0,06
Ni	mg/kg	Nikkel		33	29,9	24
Pb	mg/kg	Bly		7,9	19,4	61
Sn	mg/kg	Tinn		< 3	4,5	6,2
Zn	mg/kg	Sink		108	217	403
TOC	%	Total org. karbon		2,28	3,22	4,3
PAH 16	mg/kg	Polyaromatiske hydrokarboner		0,9	2,8	2,7
PCB 7	µg/kg	Polyklorerte bifenyler		4	2	31

¹Bjervamoen et al., 2006

²Jartun et al., 2005

5. KONKLUSJONER OG VURDERINGER

Konsentrasjonen av ulike miljøgifter i overflatejord fra de sentrale delene av Harstad viser at overflatejorden er fra lavt til meget sterkt forurensset. De høyeste konsentrasjonene av miljøgifter i overflatejorda forekommer ved skipsverftene og industriområdene, eksempelvis Mathiassen mek.verksted og Kaarbø verksted, samt ved tidligere avfalls- og industrifyllinger (for eksempel nord for Gansåsholmen og innerst i Harstadbotn). Det er stort sett sjønære områder som har de høyeste konsentrasjonene av miljøgifter i overflatejord. Miljøgiftene i overflatejorda i de sjønære områdene kan ha stor spredningsrisiko til det marine miljøet.

Arsen, kadmium, krom, kobber, kvikksølv, nikkel, bly, tinn, sink og PAH er alle funnet i relativt høye konsentrasjoner i områdene rundt de mekaniske verkstedene. Blåsesand og rester av maling og bunnstoff er mulige kilder ved disse lokalitetene. Spredningsrisikoen for disse stoffene fra land til sjø er ikke vurdert i stor grad i denne undersøkelsen, men overflatejorda er lett tilgjengelig for erosjon.

Kobber, tinn, sink og PAH er funnet i forhøyede konsentrasjoner nær avfalls- og industrifyllinger, som f.eks. nord for Gansåsholmen og innerst i Harstadbotn. Det er imidlertid også andre mulige forurensningskilder i disse områdene, som bl.a. notbarkeri ved Gansåsholmen.

Kvikksølv og bly er i tillegg funnet i noe forhøyede konsentrasjoner i sentrumsområdet og området Sama.

Det ble påvist mindre mengder PCB i én husfasade, i ytre lag av fasaden (maling/murpuss) fra Seljestad skole. Over 40 % av prøvene av overflatejord har PCB-konsentrasjoner over normverdien på $10 \mu\text{g}/\text{kg}$. Det er åpenbart enkelte PCB-kilder i Harstad by som ikke er påvist i denne undersøkelsen.

I Harstad er det påvist generelt lave konsentrasjoner av miljøgifter i sandfangsmaterialene. Dette kommer i hovedsak av at det ikke ble funnet sandfang som kunne prøvetas i de mest forurensede områdene langs sjøkanten, da det i disse områdene ofte er gruslagte områder og ikke tette flater. Områdene rundt skipsverftene er stort sett grusbelagt. Det vil imidlertid være en fare for overflateavrenning til sjøen fra slike områder, da overflatejorda kan eroderes ved store regnskyll, snømåking og vind. De undersøkte sandfangskummene fra andre steder av byen reflekterer stort sett masser fra lite forurensede områder. Det kan også være et visst innhold av strøsand og materialer fra f.eks. vegbygging i kummene.

Det anbefales en mer detaljert undersøkelse av de sterkt forurensede lokalitetene for å kunne estimere spredning av miljøgifter fra land til sjø fra disse kildene.

Referanser

- Andersson, M., Ottesen, R.T. og Volden, T., 2003. PCB i barns lekemiljø i Bergen. NGU-rapport 2003.058., 22 s.
- Andersson, M., Volden, T., Haugland, T. og Ottesen, R.T., 2002. PCB i yttervegger i hus fra Bergen og i uteområdene rundt bygningene. NGU-rapport 2002.012, 15 s.
- Andersson, M., Volden, T., Jartun, M. og Ottesen, R.T., 2003: PCB i yttervegger i hus fra Oslo øst og uteområder rundt bygningene. NGU-rapport 2003.096, 14 s.
- Andersson, M., Volden, T. og Jartun, M., 2005. PCB i asfalt i Trondheim. NGU-rapport 2005.045, 6 s.
- Bjervamoen, S.G., Bjørk, T.B., Elgen, M., Gaut, S., Hauan, G., Herman, S., Ilestad, I., Johnsen, C.C., Knapstad, H., Nordløkken, M., Stoeckert, K., Stokkan, T. og Ottesen, R.T., 2006. Spredning av miljøgifter fra tette flater i Trondheim. NGU-rapport 2006.024, 76 s.
- Danielsberg, A., Williksen, T. og Jørgensen, N.M., 2004. Kartlegging av skipsverft: Steder hvor det kan ha oppstått forurensningsproblemer knyttet til bygging, vedlikehold og reparasjon av skip og offshoreinstallasjoner. TA-2044/2004, 37 s.
- Jartun, M., Ottesen, R.T. og Volden, T., 2002a: Jordforurensning i Tromsø. NGU-rapport 2002.041, 44 s.
- Jartun, M., Ottesen, R.T., Volden, T., Jensen, H., Andersson, M. og Alexander, J., 2002b: Forebyggende arbeid – Jordforurensning i små barns utelekemiljø i Tromsø. NGU-rapport 2002.053, 150 s.
- Jartun, M., Ottesen, R.T. og Volden, T., 2005. Spredning av miljøgifter fra tette flater i Bergen. NGU-rapport 2005.051, 69 s.
- Jartun, M. og Volden, T., 2005. Miljøtilstanden ved opplagsplasser og pussesteder ved 11 småbåthavner i Trøndelag. NGU-rapport 2005.012, 15 s.
- Konieczny, R.M. og Mouland, L., 1997. Tolkning av PCB-profiler og beregning av totalt PCB-innhold i marine sedimenter. SFT-rapport 97:33. TA 1497/1997, 48 s.
- Larsen, L.H., Skjegstad, N. og Nikolaisen, E.M., 2003. Miljøstatus og kartlegging av kilder til miljøgiftbelastning i Harstad havneområde. Akvoplan-Niva-rapport nr. 412.2749, 59 s.
- Lindholm, O., 2004. Miljøgifter i overvann fra tette flater. Litteraturstudie. NIVA-rapport Lnr 4775 – 2004, 42 s.
- Ottesen, R.T., Almklov, P.G. og Tijhuis, L., 1995. Innhold av tungmetaller og organiske miljøgifter i overflatejord fra Trondheim. Datarapport. Rapport nr. TM 95/06, Trondheim kommune, Miljøavdelingen, 132 s.
- Ottesen, R.T. og Alexander , J., 2003. Forslag til akseptkriterier av PCB-forurensset grunn basert på helseurderinger og forskrift om farlig avfall. NGU-rapport 2003.048, 12 s.

Ottesen, R.T., Bogen, J., Bølviken, B., Volden, T. og Haugland, T., 2000: Geokjemisk atlas for Norge – del 1. Norges geologiske undersøkelse (NGU) og Norges vassdrags- og energidirektorat (NVE), 140 s.

Ottesen, R.T. og Volden, T., 1999. Jordforurensning i Bergen. NGU-rapport 99.022., 27 s.

Ottesen, R.T., Volden, T., Finne, T.E. og Alexander, J., 1999a. Undersøkelse av polyklorerte bifenyler (PCB) i jorden i skolegården ved Skjold skole. NGU Rapport 99.049, Trondheim, 18 s.

Ottesen, R.T., Volden, T., Finne, T.E. og Alexander, J., 1999b. Undersøkelse av arseninnhold i jord i skolegården i Stormyra barnehage,. NGU Rapport 99.058, Trondheim, 13 s.

Ottesen, R.T., Volden, T., Finne, T.E. og Alexander, J., 1999c. Undersøkelse av polyklorerte bifenyler (PCB) i jorden i skolegården ved Hellen skole. NGU Rapport 99.062, Trondheim, 18 s.

Ottesen, R.T., Volden, T., Finne, T.E. og Alexander, J., 1999d. Jordforurensing i Bergen – Undersøkelse av barnehager, barneparker og lekeplasser på Nordnes, Jekteviken og Dokken. Helserisikovurdering. NGU Rapport 99.077, Trondheim, 57 s.

Ottesen, R.T, Langedal, M., Cramer, J., Elvebakk, H., Finne, T.E., Haugland, T., Jæger, Ø., Longva, O., Storstad, T.M. og Volden, T., 2000: Forurensset grunn og sedimenter i Trondheim kommune: Datarapport. NGU-rapport nr. 2000.115, 119 s.

Statens forurensningstilsyn, 1999: Risikovurdering av forurensset grunn. SFT-rapport 99:01, TA-1629/99, 103 s.

Statens forurensningstilsyn, 1993. Miljøgifter i Norge. SFT-rapport nr. 93:22, 115 s

Tijhuis, L., 2003: The geochemistry of the Topsoil and Bedrock in Oslo, Norway. Dr.Ing. Thesis 2003:33. Department of Geology and Mineral Resources Engineering, NTNU. 228 s.

6. VEDLEGG 1: RÅDATA, OVERFLATEJORD

Rådata for kartlegging av miljøparametere i overflatejord

Tabell. Rådata. Koncentrasjon av PAH₁₆ (mg/kg) inkludert koordinater, tørrstoff og de enkelte PAH-komponentene i 39 prøver av overflatejord fra Harstad.

Prøvenr.	Dry matter (%)	PAH (16), mg/kg																		
			Indeno(1,2,3-c,d)pyrene	Benzo(g,h,i)perylene	Dibenz(a,h)anthracene	Benzo(a)pyrene	Benzo(k)fluoranthene	Benzo(b)fluoranthene	Chrysene	Benzo(a)anthracene	Pyrene	Fluoranthene	Anthracene	Fenanthrene	Fluorene	Acenaphthene	Acenaphthylene	Naphthalene	PAH (16), mg/kg	
5	562680	7631993	95,4	14,00	0,01	0,01	0,16	0,07	1,00	0,12	2,50	2,90	0,92	0,95	1,80	0,61	1,00	0,15	0,50	0,58
7	562617	7631908	72,5	0,61	0,01	0,01	<0,01	0,01	0,03	0,01	0,04	0,11	0,03	0,04	0,10	0,03	0,04	0,03	0,08	0,03
11	562668	7631486	95,3	<0,20	<0,01	<0,01	<0,01	<0,01	<0,01	<0,01	<0,01	<0,01	<0,01	<0,01	<0,01	<0,01	<0,01	<0,01	<0,01	<0,01
14	562717	7631079	71,0	0,04	<0,01	<0,01	<0,01	<0,01	<0,01	<0,01	<0,01	0,01	<0,01	<0,01	0,01	<0,01	<0,01	<0,01	0,01	<0,01
19	563007	7631597	92,2	<0,20	<0,01	<0,01	<0,01	<0,01	<0,01	<0,01	<0,01	<0,01	<0,01	<0,01	<0,01	<0,01	<0,01	<0,01	<0,01	<0,01
22	562846	7631100	80,8	0,25	<0,01	<0,01	<0,01	<0,01	0,01	<0,01	0,04	0,04	0,02	0,02	0,04	0,01	0,02	<0,01	0,02	0,01
30	562486	7630915	95,7	0,08	<0,01	<0,01	<0,01	<0,01	0,01	<0,01	0,01	0,01	0,01	<0,01	0,01	<0,01	0,01	<0,01	0,01	0,01
41	562121	7630970	99,0	<0,20	<0,01	<0,01	<0,01	<0,01	<0,01	<0,01	<0,01	<0,01	<0,01	<0,01	<0,01	<0,01	<0,01	<0,01	<0,01	<0,01
49	562321	7631440	97,6	46,00	0,09	0,36	0,14	0,17	3,70	0,71	9,00	10,00	3,30	3,50	4,30	1,60	3,50	0,66	2,60	2,50
51	562323	7631525	90,8	4,20	0,11	<0,10	<0,10	<0,10	0,33	0,11	0,55	0,44	0,33	0,33	0,66	0,22	0,33	0,11	0,33	0,33
53	562177	7631352	94,8	0,05	<0,01	<0,01	<0,01	<0,01	<0,01	<0,01	0,01	0,01	<0,01	<0,01	0,01	<0,01	<0,01	<0,01	0,01	0,01
64	562238	7631812	97,3	<0,20	<0,01	<0,01	<0,01	<0,01	<0,01	<0,01	<0,01	<0,01	<0,01	<0,01	<0,01	<0,01	<0,01	<0,01	<0,01	<0,01
66	561950	7631870	87,1	<2,0	<0,10	<0,10	<0,10	<0,10	<0,10	<0,10	<0,10	<0,10	<0,10	<0,10	<0,10	<0,10	<0,10	<0,10	<0,10	<0,10
69	561667	7632009	88,3	<2,0	<0,10	<0,10	<0,10	<0,10	<0,10	<0,10	<0,10	<0,10	<0,10	<0,10	<0,10	<0,10	<0,10	<0,10	<0,10	<0,10
73	561292	7631520	91,3	0,03	<0,01	<0,01	<0,01	<0,01	<0,01	<0,01	<0,01	<0,01	<0,01	<0,01	0,01	<0,01	<0,01	<0,01	0,01	0,01
87	562026	7632552	92,6	<0,20	<0,01	<0,01	<0,01	<0,01	<0,01	<0,01	<0,01	<0,01	<0,01	<0,01	<0,01	<0,01	<0,01	<0,01	<0,01	<0,01
90	562229	7632423	96,0	0,16	<0,01	<0,01	<0,01	<0,01	0,01	<0,01	0,02	0,02	<0,01	0,01	0,03	0,01	0,01	<0,01	0,02	0,02
95	562209	7632213	84,8	1,20	0,01	<0,01	0,01	0,01	0,08	0,01	0,15	0,13	0,06	0,07	0,19	0,06	0,09	0,02	0,14	0,14
98	562311	7631979	96,5	0,01	<0,01	<0,01	<0,01	<0,01	<0,01	<0,01	<0,01	<0,01	<0,01	<0,01	<0,01	<0,01	<0,01	<0,01	0,01	<0,01
102	562056	7632661	94,7	0,33	<0,01	<0,01	<0,01	<0,01	0,03	0,01	0,06	0,05	0,02	0,02	0,03	0,01	0,03	0,01	0,02	0,02
107	562038	7632885	91,0	0,04	<0,01	<0,01	<0,01	<0,01	<0,01	<0,01	<0,01	0,01	0,01	<0,01	<0,01	<0,01	<0,01	<0,01	0,01	<0,01
109	562009	7633027	88,7	0,60	<0,01	0,01	<0,01	<0,01	0,06	0,01	0,12	0,10	0,03	0,05	0,07	0,02	0,05	0,01	0,03	0,03

Tabell forts...

		Dry matter (%)	Prover.	North UTM 33	East UTM 33	Indeno(1,2,3-c,d)pyrene	Benzo(g,h,i)perylene	Dibenz(a,h)anthracene	Benzo(a)pyrene	Benzo(k)fluoranthene	Benzo(b)fluoranthene	Chrysene	Benzo(a)anthracene	Pyrene	Fluoranthene	Anthracene	Fenanthrene	Fluorene	Acenaphthene	Acenaphthylene	Naphthalene	PAH (16)	Dry matter (%)	Prover.		
114	561726	7632895	91,2	0,04	<0.01	<0.01	<0.01	<0.01	<0.01	0,01	0,01	<0.01	<0.01	0,01	<0.01	<0.01	<0.01	<0.01	0,01	<0.01	0,01	<0.01	0,01	<0.01	0,01	<0.01
118	561957	7633352	91,7	0,27	<0.01	<0.01	<0.01	<0.01	0,02	<0.01	0,05	0,04	0,02	0,02	0,03	0,01	0,02	<0.01	0,02	0,02	0,02	0,02	0,02	0,02	0,02	0,02
122	562215	7633277	94,2	0,07	<0.01	<0.01	<0.01	<0.01	<0.01	<0.01	0,01	0,01	<0.01	0,01	0,01	<0.01	0,01	<0.01	0,01	<0.01	0,01	0,01	0,01	0,01	0,01	0,01
126	562306	7632622	96,8	0,25	<0.01	<0.01	<0.01	<0.01	0,01	<0.01	0,02	0,03	0,01	0,01	0,02	<0.01	0,02	<0.01	0,02	<0.01	0,10	0,02	0,02	0,02	0,02	
130	562235	7632752	88,7	1,40	<0.01	0,01	<0.01	0,01	0,12	0,02	0,27	0,20	0,10	0,11	0,14	0,05	0,09	0,01	0,09	0,07						
132	562488	7632841	98,5	0,77	<0.10	0,01	<0.10	<0.10	0,02	<0.10	0,06	0,16	0,04	0,06	0,13	0,02	0,06	0,04	0,12	0,04						
134	562370	7632885	94,9	<0,20	<0.01	<0.01	<0.01	<0.01	<0.01	<0.01	<0.01	<0.01	<0.01	<0.01	<0.01	<0.01	<0.01	<0.01	<0.01	<0.01	<0.01	<0.01	<0.01	<0.01	<0.01	
140	562282	7633199	95,5	0,05	<0.01	<0.01	<0.01	<0.01	<0.01	<0.01	0,01	0,01	0,01	0,01	0,01	<0.01	<0.01	<0.01	<0.01	<0.01	<0.01	<0.01	<0.01	<0.01	<0.01	
142	562562	7633467	80,0	0,59	<0.10	0,01	<0.10	<0.10	0,03	0,01	0,04	0,06	0,01	0,03	0,10	0,03	0,04	0,03	0,14	0,08						
144	562408	7633316	96,5	0,57	<0.01	0,01	<0.01	<0.01	0,04	0,01	0,09	0,08	0,04	0,04	0,07	0,02	0,05	0,01	0,05	0,04						
147	562287	7633277	98,2	0,49	<0.10	<0.10	<0.10	<0.10	<0.10	<0.10	0,13	0,11	<0.10	<0.10	0,11	<0.10	<0.10	<0.10	<0.10	0,14	<0.10					
152	562340	7633606	95,3	1,00	0,01	0,01	0,01	0,01	0,06	0,02	0,10	0,12	0,08	0,10	0,13	0,04	0,09	0,02	0,12	0,08						
154	562086	7633636	96,9	0,66	<0.01	0,01	<0.01	<0.01	0,05	0,01	0,12	0,10	0,05	0,05	0,08	0,03	0,05	0,01	0,04	0,04						
156	562280	7633919	93,4	0,11	<0.01	<0.01	<0.01	<0.01	0,01	<0.01	0,02	0,01	0,01	0,01	0,01	<0.01	0,01	<0.01	0,01	0,01						
157	561969	7633565	92,5	<2,0	<0.10	<0.10	<0.10	<0.10	<0.10	<0.10	<0.10	<0.10	<0.10	<0.10	<0.10	<0.10	<0.10	<0.10	<0.10	<0.10	<0.10	<0.10	<0.10	<0.10		
161	561507	7633461	95,5	0,12	<0.10	<0.10	<0.10	<0.10	<0.10	<0.10	<0.10	0,12	<0.10	<0.10	<0.10	<0.10	<0.10	<0.10	<0.10	<0.10	<0.10	<0.10	<0.10	<0.10		
169	562103	7633517	99,8	0,62	<0.10	<0.10	<0.10	<0.10	<0.10	<0.10	<0.10	0,18	0,17	<0.10	<0.10	0,15	<0.10	<0.10	0,10	<0.10	<0.10	0,10	<0.10	<0.10		

Tabell. Rådata. Konsentrasjon av PCB₇ (mg/kg), inkludert koordinater, tørrstoff og konsentrasjon av enkeltkomponenter i 39 prøver av overflatejord fra Harstad.

Provenr.	East UTM33	North UTM33	Tørrstoff (%)	PCB							
				sum 7 (mg/kg)	PCB 28 (mg/kg)	PCB 52 (mg/kg)	PCB 101 (mg/kg)	PCB 118 (mg/kg)	PCB 138 (mg/kg)	PCB 153 (mg/kg)	PCB 180 (mg/kg)
5	562680	7631993	95,4	0,026	<0,001	0,005	0,005	0,003	0,005	0,004	0,003
7	562617	7631908	72,5	0,016	<0,001	<0,001	0,001	<0,001	0,006	0,004	0,004
11	562668	7631486	95,3	<0,004	<0,001	<0,001	<0,001	<0,001	<0,001	<0,001	<0,001
14	562717	7631079	71,0	0,004	<0,001	<0,001	<0,001	<0,001	0,002	0,001	0,001
19	563007	7631597	92,2	<0,004	<0,001	<0,001	<0,001	<0,001	<0,001	<0,001	<0,001
22	562846	7631100	80,8	<0,004	<0,001	<0,001	<0,001	<0,001	0,001	0,001	<0,001
30	562486	7630915	95,7	0,037	<0,001	<0,001	0,005	0,001	0,011	0,01	0,007
41	562121	7630970	99,0	<0,004	<0,001	<0,001	<0,001	<0,001	<0,001	<0,001	<0,001
49	562321	7631440	97,6	0,018	0,001	0,003	0,003	0,002	0,003	0,003	0,002
51	562323	7631525	90,8	0,037	0,003	0,006	0,006	0,003	0,009	0,007	0,004
53	562177	7631352	94,8	0,016	<0,001	<0,001	0,002	<0,001	0,006	0,003	0,004
64	562238	7631812	97,3	<0,004	<0,001	<0,001	<0,001	<0,001	<0,001	<0,001	<0,001
66	561950	7631870	87,1	0,008	0,001	<0,001	<0,001	<0,001	0,003	0,002	0,002
69	561667	7632009	88,3	<0,004	<0,001	<0,001	<0,001	<0,001	<0,001	<0,001	<0,001
73	561292	7631520	91,3	0,006	<0,001	<0,001	<0,001	<0,001	0,003	0,002	0,001
87	562026	7632552	92,6	0,029	<0,001	0,003	0,005	0,004	0,007	0,005	0,003
90	562229	7632423	96,0	<0,004	<0,001	<0,001	<0,001	<0,001	<0,001	<0,001	<0,001
95	562209	7632213	84,8	0,025	0,001	0,006	0,006	0,004	0,004	0,002	0,001
98	562311	7631979	96,5	0,013	<0,001	<0,001	0,001	<0,001	0,004	0,004	0,004
102	562056	7632661	94,7	<0,004	<0,001	<0,001	<0,001	<0,001	<0,001	<0,001	<0,001
107	562038	7632885	91,0	<0,004	<0,001	<0,001	<0,001	<0,001	<0,001	<0,001	<0,001
109	562009	7633027	88,7	0,008	<0,001	<0,001	<0,001	<0,001	0,003	0,003	0,002
114	561726	7632895	91,2	0,012	<0,001	0,004	<0,001	<0,001	0,003	0,003	0,002
118	561957	7633352	91,7	0,018	<0,001	<0,001	0,002	<0,001	0,007	0,005	0,004
122	562215	7633277	94,2	0,007	<0,001	<0,001	<0,001	<0,001	0,003	0,002	0,002
126	562306	7632622	96,8	0,073	0,004	0,004	0,01	0,005	0,022	0,015	0,011
130	562235	7632752	88,7	0,053	<0,001	<0,001	0,005	0,001	0,018	0,015	0,013
132	562488	7632841	98,5	0,005	<0,001	<0,001	<0,001	<0,001	0,002	0,002	0,001

Tabell forts.....

Prøvenr.	East UTM33	North UTM33	Tørrstoff (%)	PCB							
				sum 7 (mg/kg)	PCB 28 (mg/kg)	PCB 52 (mg/kg)	PCB 101 (mg/kg)	PCB 118 (mg/kg)	PCB 138 (mg/kg)	PCB 153 (mg/kg)	PCB 180 (mg/kg)
134	562370	7632885	94,9	0,004	<0.001	<0.001	<0.001	<0.001	0,002	0,001	0,001
140	562282	7633199	95,5	<0.004	<0.001	<0.001	<0.001	<0.001	<0.001	<0.001	<0.001
142	562562	7633467	80,0	0,017	0,002	<0.001	0,002	0,002	0,005	0,004	0,002
144	562408	7633316	96,5	0,001	<0.001	<0.001	<0.001	<0.001	0,001	<0.001	<0.001
147	562287	7633277	98,2	0,078	<0.001	<0.001	0,006	0,001	0,028	0,019	0,024
152	562340	7633606	95,3	0,031	<0.001	0,002	0,004	0,002	0,009	0,007	0,007
154	562086	7633636	96,9	<0.004	<0.001	<0.001	<0.001	<0.001	<0.001	<0.001	<0.001
156	562280	7633919	93,4	0,003	<0.001	<0.001	<0.001	<0.001	0,002	0,001	<0.001
157	561969	7633565	92,5	<0.004	<0.001	<0.001	<0.001	<0.001	<0.001	<0.001	<0.001
161	561507	7633461	95,5	<0.004	<0.001	<0.001	<0.001	<0.001	<0.001	<0.001	<0.001
169	562103	7633517	99,8	0,049	<0.001	<0.001	0,006	0,001	0,016	0,014	0,012

7. VEDLEGG 2: RÅDATA, SANDFANGSMATERIALER

Rådata for kartlegging av miljøparametere i sandfangsmaterialer

Tabell: Rådata for konsentrasjon av grunnstoffer i sandfangsmaterialer, prøve S-01 – S-24, Harstad. (ppm = mg/kg)

Id	East UTM33	North UTM33	NGU-nr.	ppm														TOC [%]
				Zr	Ag	B	Be	Li	Sc	Ce	La	Y	As_ICP	Hg	As_AAS	Cd_AAS	Sn	
S01	562301	7633488	38951	2,4	<2	<5	<0.2	11,8	3,11	29,7	15,1	6,63	<2	0,01	5,7	0,11	< 3	3,13
S02	562348	7633403	38952	2,1	<2	<5	<0.2	13,0	4,00	16,7	9,6	4,42	<2	0,02	6,1	0,29	4,4	4,13
S03	562371	7633352	38953	1,7	<2	<5	<0.2	27,0	3,55	18,0	10,0	4,31	<2	< 0.01	6,7	0,080	< 3	2,30
S04	562502	7633393	38954	1,7	<2	<5	<0.2	13,5	1,99	16,0	9,1	3,46	<2	< 0.01	3,8	0,15	< 3	1,20
S05	562544	7633425	38955	1,6	<2	<5	<0.2	9,9	2,42	12,5	7,1	3,85	2,7	< 0.01	5,6	0,068	< 3	1,55
S06	562403	7633207	38956	2,3	<2	<5	<0.2	30,7	3,63	17,6	10,1	5,36	<2	0,02	5,0	0,095	< 3	2,75
S07	562300	7632973	38957	1,1	<2	<5	<0.2	7,6	2,52	12,6	6,5	3,91	<2	0,01	5,0	0,065	3,3	2,19
S08	562341	7632710	38958	1,9	<2	<5	<0.2	13,5	2,99	13,3	7,4	3,74	<2	0,04	5,1	0,099	< 3	3,72
S09	562140	7632455	38959	1,6	<2	<5	<0.2	5,5	1,71	11,3	6,0	3,00	<2	< 0.01	3,0	0,026	< 3	1,18
S10	562188	7632305	38960	4,3	<2	<5	<0.2	15,4	3,19	18,6	10,6	5,17	4,6	0,12	8,6	0,17	11	2,26
S11	562198	7632000	38961	3,6	<2	5,7	<0.2	13,6	4,32	20,9	12,0	5,62	3,4	0,35	8,1	0,33	9,8	5,37
S12	562308	7632118	38962	2,0	<2	<5	<0.2	10,2	2,91	11,9	6,5	3,83	29,7	0,02	43	0,13	< 3	3,20
S13	562165	7631881	38963	2,7	<2	<5	<0.2	13,3	3,89	21,8	12,8	5,70	5,3	0,01	12	0,13	< 3	2,85
S14	562178	7631728	38964	2,3	<2	<5	<0.2	15,5	3,57	15,3	8,2	5,19	2,6	0,01	8,1	0,076	3,2	2,41
S15	562130	7631704	38965	1,9	<2	<5	<0.2	10,3	2,42	16,9	9,1	4,29	<2	0,01	5,0	0,043	< 3	2,11
S16	562096	7630949	38966	3,5	<2	<5	<0.2	15,8	2,59	25,8	13,1	6,14	11,5	0,01	15	0,045	8,4	1,95
S17	562050	7630858	38967	2,1	<2	<5	<0.2	13,8	3,22	34,7	18,0	7,24	<2	0,01	3,6	0,11	< 3	1,76
S18	562600	7630817	38968	2,4	<2	<5	<0.2	16,2	2,72	25,0	13,3	5,18	<2	0,03	3,2	0,81	6,3	1,94
S19	562754	7631090	38969	2,3	<2	<5	<0.2	13,8	3,22	19,5	10,7	5,45	<2	0,02	4,0	0,11	< 3	2,39
S20	562704	7631584	38970	2,0	<2	<5	<0.2	24,0	2,95	19,1	10,8	5,92	2,9	0,22	7,6	0,42	5,3	1,94
S21	562693	7631737	38971	3,1	<2	<5	<0.2	18,2	3,63	18,3	10,6	5,13	<2	0,02	5,5	0,12	< 3	3,01
S22	562604	7631741	38972	2,2	<2	<5	<0.2	18,8	3,75	17,9	10,3	4,68	<2	0,02	5,9	0,14	3,9	3,37
S23	562940	7631085	38973	1,9	<2	<5	<0.2	14,2	3,51	18,1	10,3	5,98	12,1	0,02	21	2,3	62	2,48
S24	561915	7631472	38974	1,4	<2	<5	<0.2	14,6	3,51	13,5	7,7	4,26	<2	0,01	5,5	0,059	< 3	3,95

Tabell forts.....

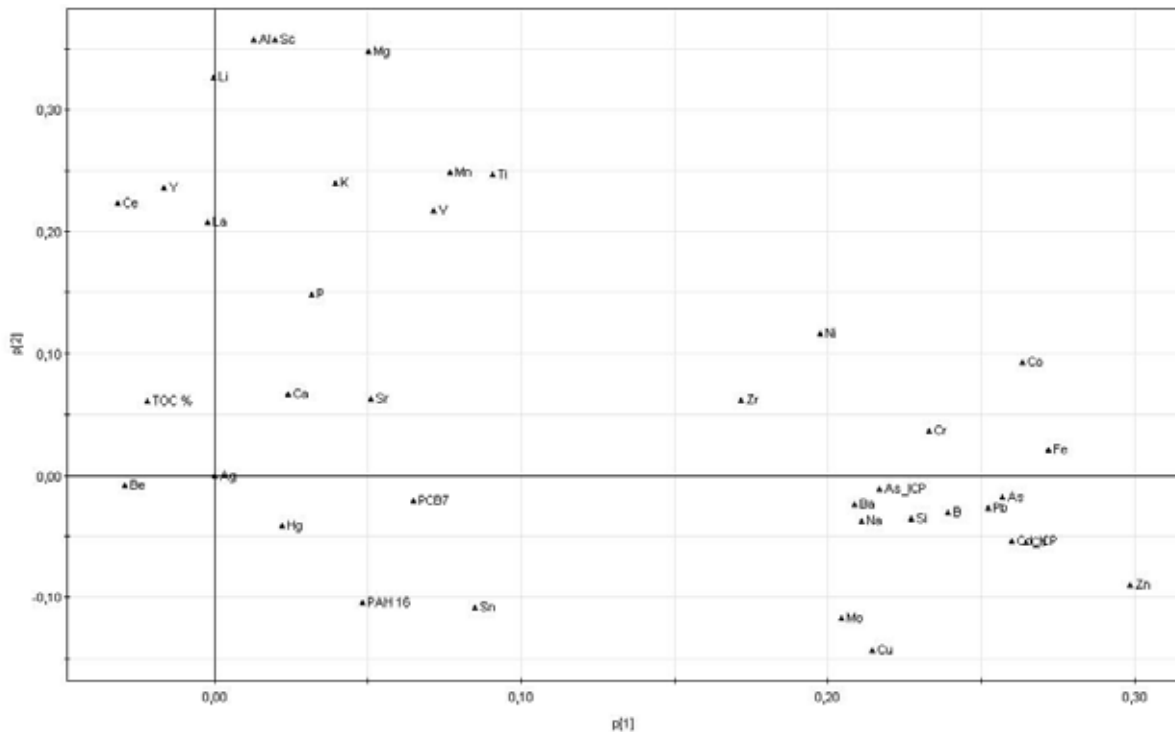
Prøvenr.	East UTM33	North UTM33	Tørrstoff (%)	PCB sum 7 (mg/kg)	PCB 28 (mg/kg)	PCB 52 (mg/kg)	PCB 101 (mg/kg)	PCB 118 (mg/kg)	PCB 138 (mg/kg)	PCB 153 (mg/kg)	PCB 180 (mg/kg)
S30	562161	7632689	82,3	0,038	<0.001	<0.001	0,006	0,001	0,012	0,01	0,007
S31	562078	7632679	77,4	<0.004	<0.001	<0.001	<0.001	<0.001	<0.001	<0.001	<0.001
S32	562178	7632809	74,1	<0.004	<0.001	<0.001	<0.001	<0.001	<0.001	<0.001	<0.001
S33	562206	7632872	64,1	0,02	0,002	0,002	0,002	0,002	0,005	0,005	0,003
S34	562256	7632922	71,3	0,007	0,002	<0.001	0,001	<0.001	0,002	0,002	<0.001

8. VEDLEGG 3: STATISTISKE FIGURER

Prinsipalkomponentanalyse (PCA), statistiske figurer

Overflatejord

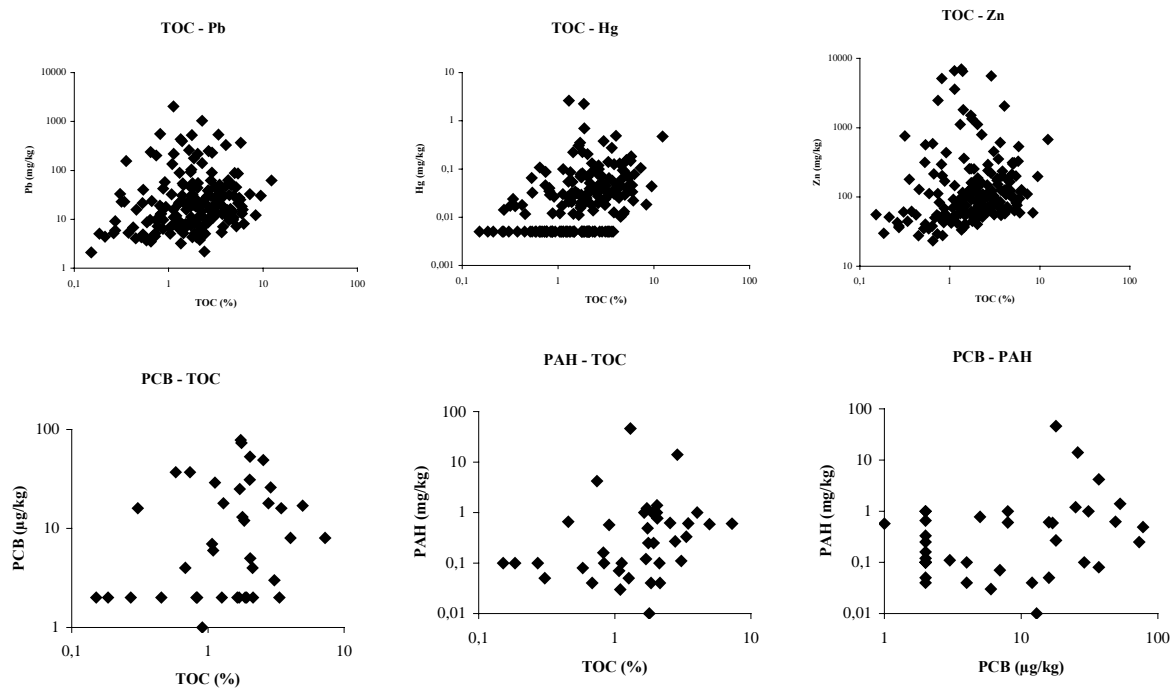
I figuren under er det vist et plott som angir hvilke stoffer som samvarierer i overflatejord fra Harstad. PCA-analysen i dette tilfellet forklarer 61 % av variansen i datasettet, og må derfor kun tas som en indikasjon på variasjonen. Resultatene er skalert til "unit variance (UV)".



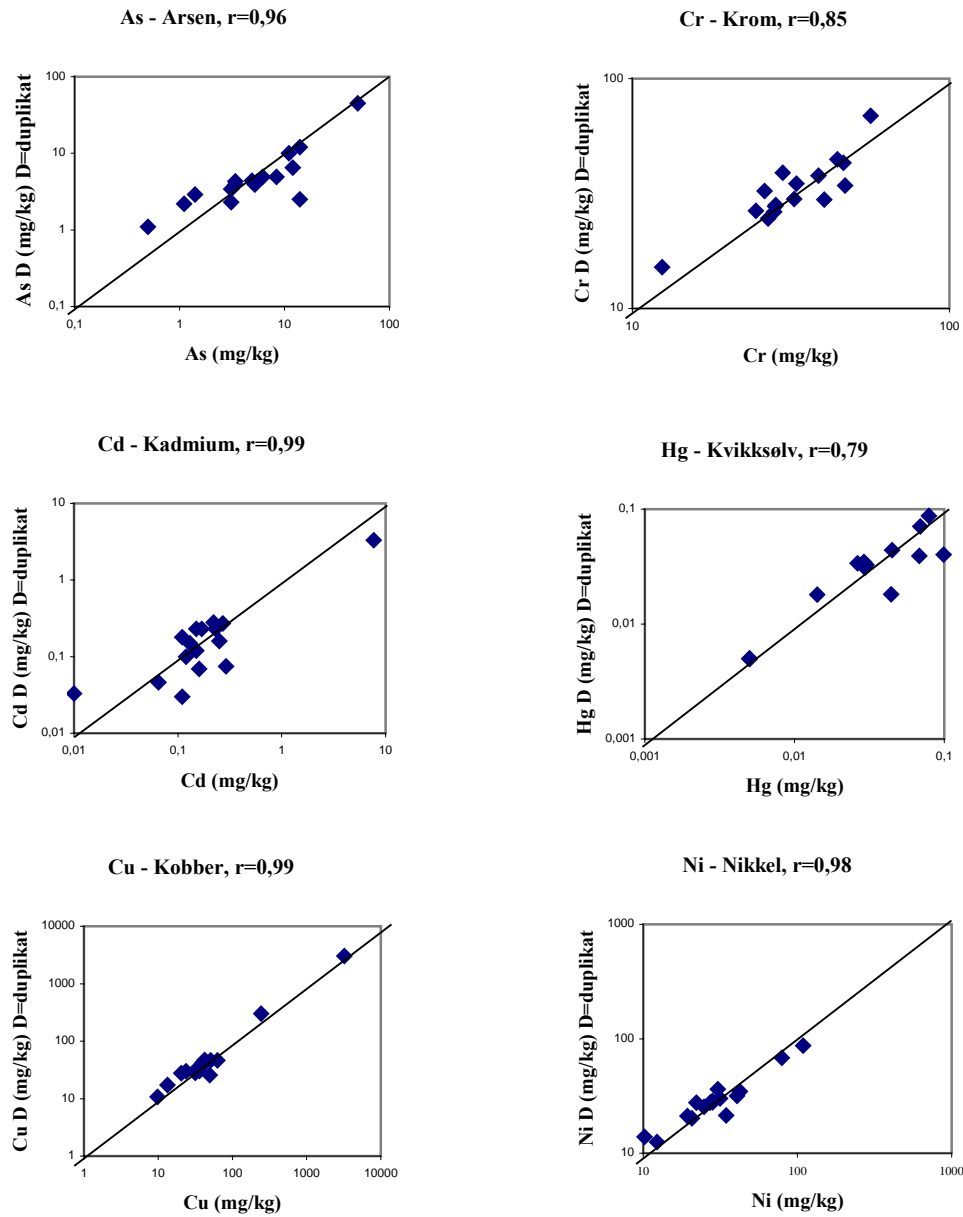
Figur 15. PCA-plott der samvariasjonen til ulike miljøparametere indikeres for 186 prøver av overflatejord fra Harstad.

PCA-analyser grupperte resultatene i tre hovedgrupper: (1) grunnstoff som inngår i silikatmineraler (Al, Ca, Mg, K, Mn, Ti, Ce, La, Li, Be, P, V og Sc), (2) metaller som inngår i maling, blåsesand etc. As, B, Ba, Cd, Cr, Cu, Co, Ni, Pb, Zn og Zr og (3) PCB, PAH, Hg og Sn. TOC samvarierer ikke med metaller, PCB eller PAH.

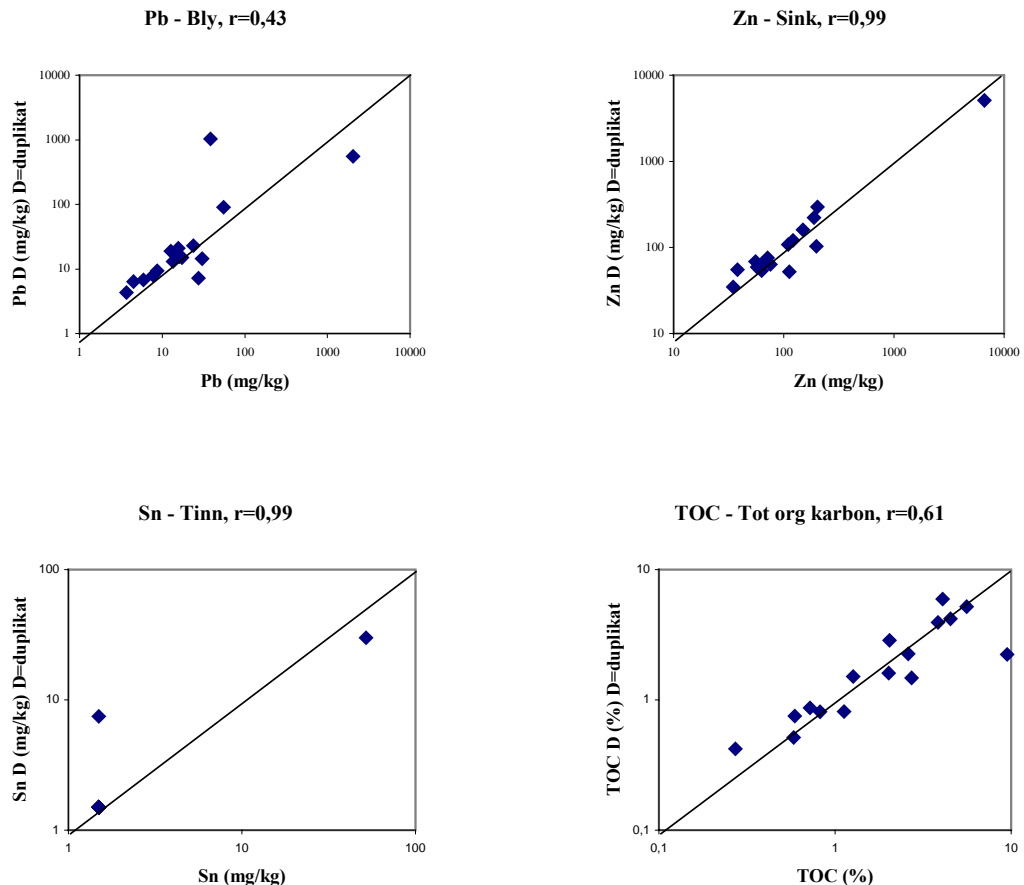
Samvariasjonen mellom to og to ulike parametere kan også presenteres som tokantdiagram (XY-plott) der konsentrasjonene plottes mot hverandre i et enkelt diagram. Figur 16 viser eksempler på eventuell samvariasjon mellom utvalgte parametere i overflatejord fra Harstad.



Figur 16. XY-plott av konsentrasjonen av total organisk karbon (TOC) mot konsentrasjonen av sentrale miljøgifter i overflatejord fra Harstad. I tillegg plott av PAH- mot PCB-konsentrasjon.



Figur 17. Diagrammer for konsentrasjonen av stoffene As, Cd, Cr, Cu, Hg og Ni i duplikatprøver av overflatejord fra 16 lokaliteter i Harstad. Korrelasjonskoeffisienten (r) er også angitt.

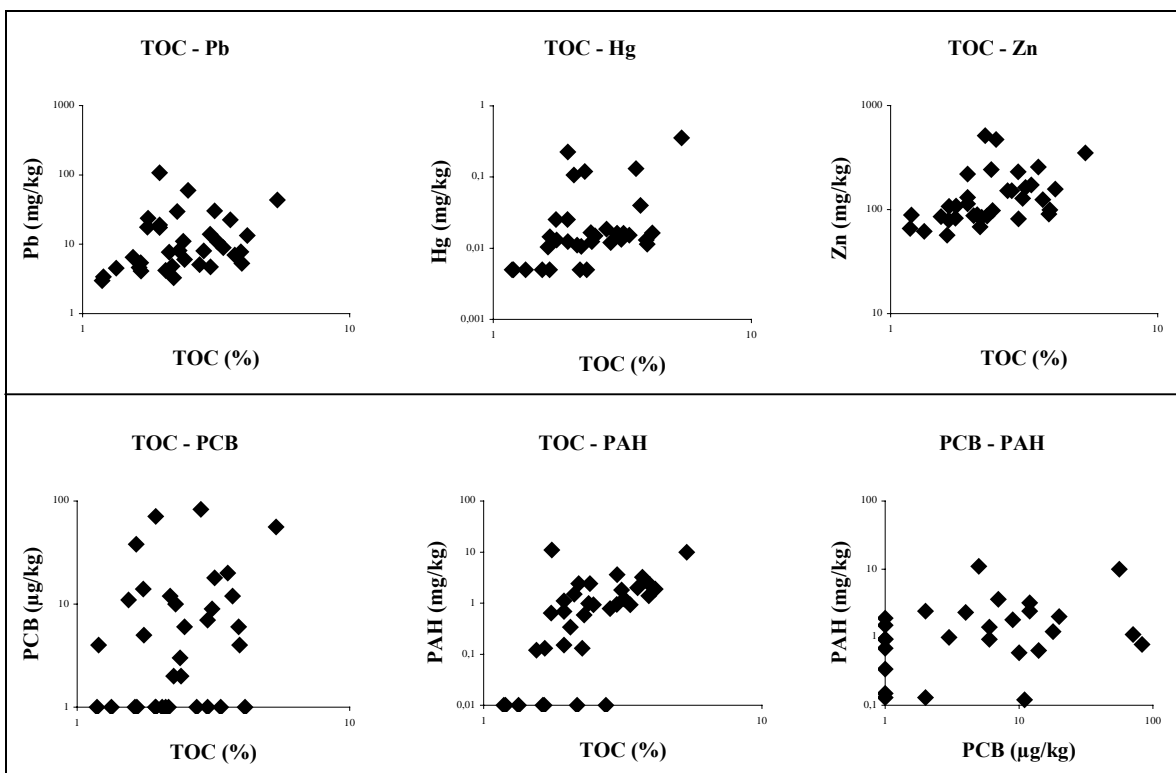


Figur 18. Diagrammer for konsentrasjonen av stoffene Pb, Sn, Zn og TOC i duplikatprøver av overflatejord fra 16 lokaliteter i Harstad. Korrelasjonskoeffisient (r) er også angitt.

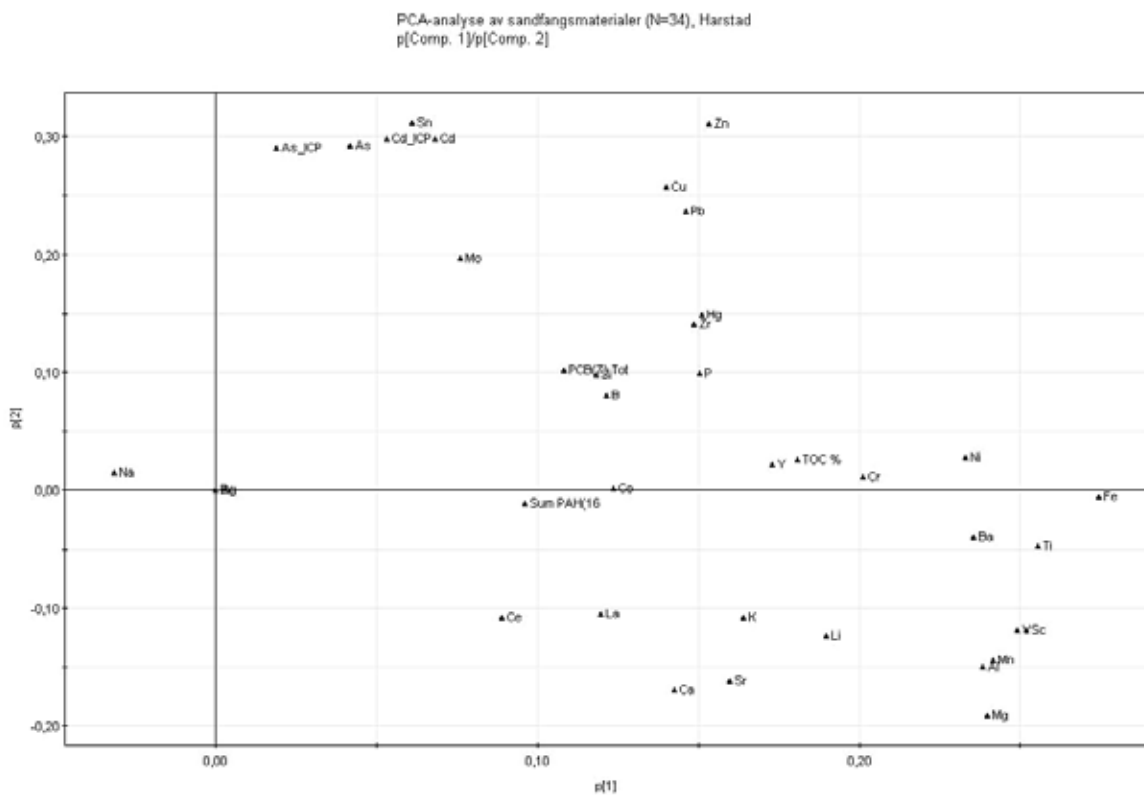
Sandfangsmaterialer

Prinsipalkomponentanalyse (PCA) er et statistisk verktøy som kan brukes for å finne mønstre i datasettet slik at man kan se hvilke stoffer som eventuelt samvarierer. I Figur 20 er det vist et plott som angir hvilke stoffer som samvarierer i sandfangsmaterialene fra Harstad. PCA-analysen i dette tilfellet forklarer kun 46 % av variansen i datasettet, og må derfor kun tas som en indikasjon på den variasjonen som faktisk forekommer. Resultatene er skalert til "unit variance (UV)".

Samvariasjonen mellom to og to ulike parametere kan også presenteres som tokantdiagram (XY-plott, Figur 19) der konsentrasjonene plottes mot hverandre i et enkelt diagram. Figuren viser eksempler på eventuell samvariasjon mellom utvalgte parametere i sandfangsmaterialer fra Harstad.



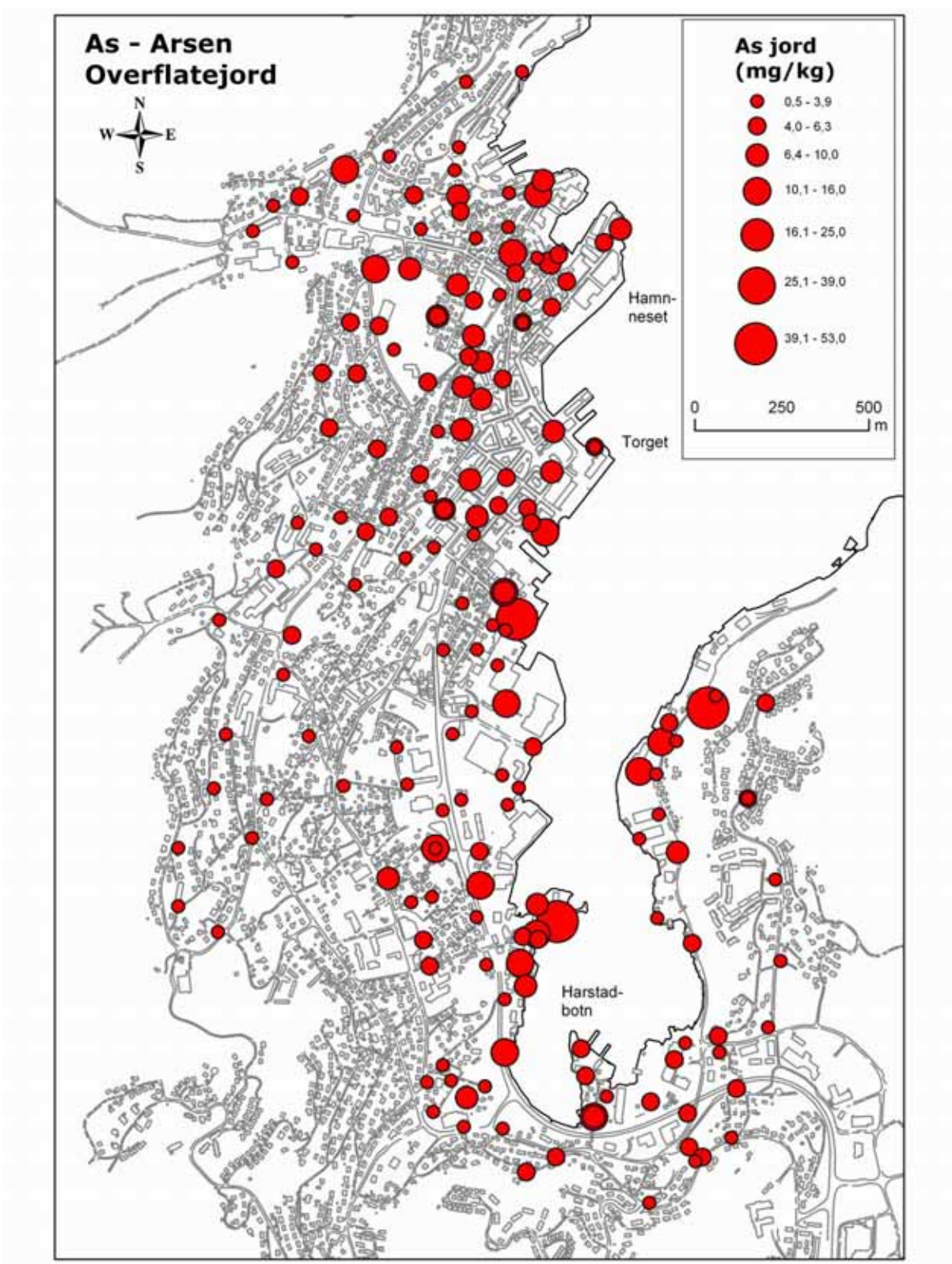
Figur 19. XY-plott av konsentrasjonen av total organisk karbon (TOC) mot konsentrasjonen av sentrale miljøgifter i sandfangsmaterialer fra Harstad. I tillegg plott av PAH- mot PCB-konsentrasjon.



Figur 20. PCA-plott der samvariasjonen til ulike miljøparametere indikeres for 34 prøver av sandfangsmaterialer fra Harstad.

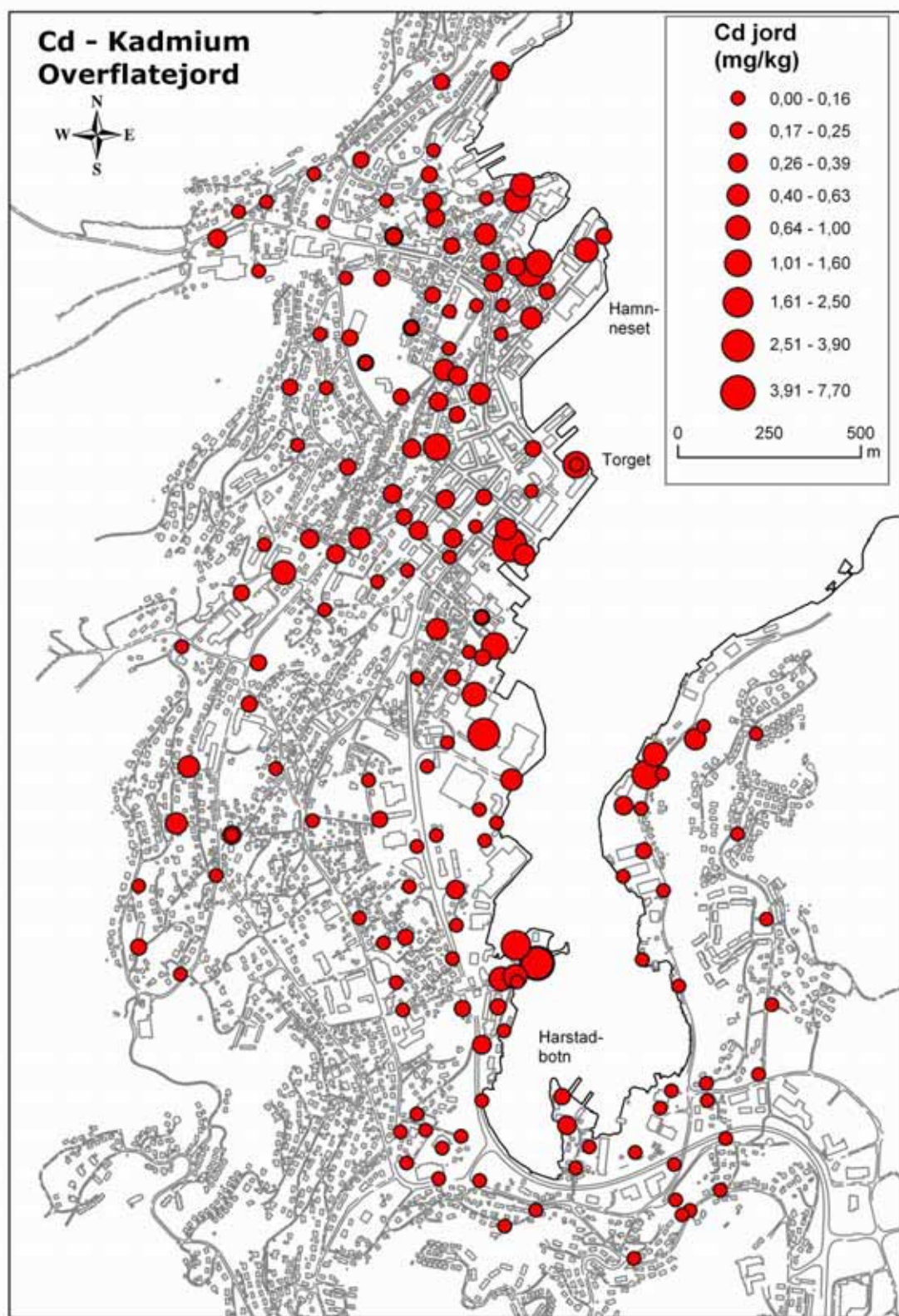
9. VEDLEGG 4: KARTSKISSE, OVERFLATEJORD

9.1.1 As - Arsen



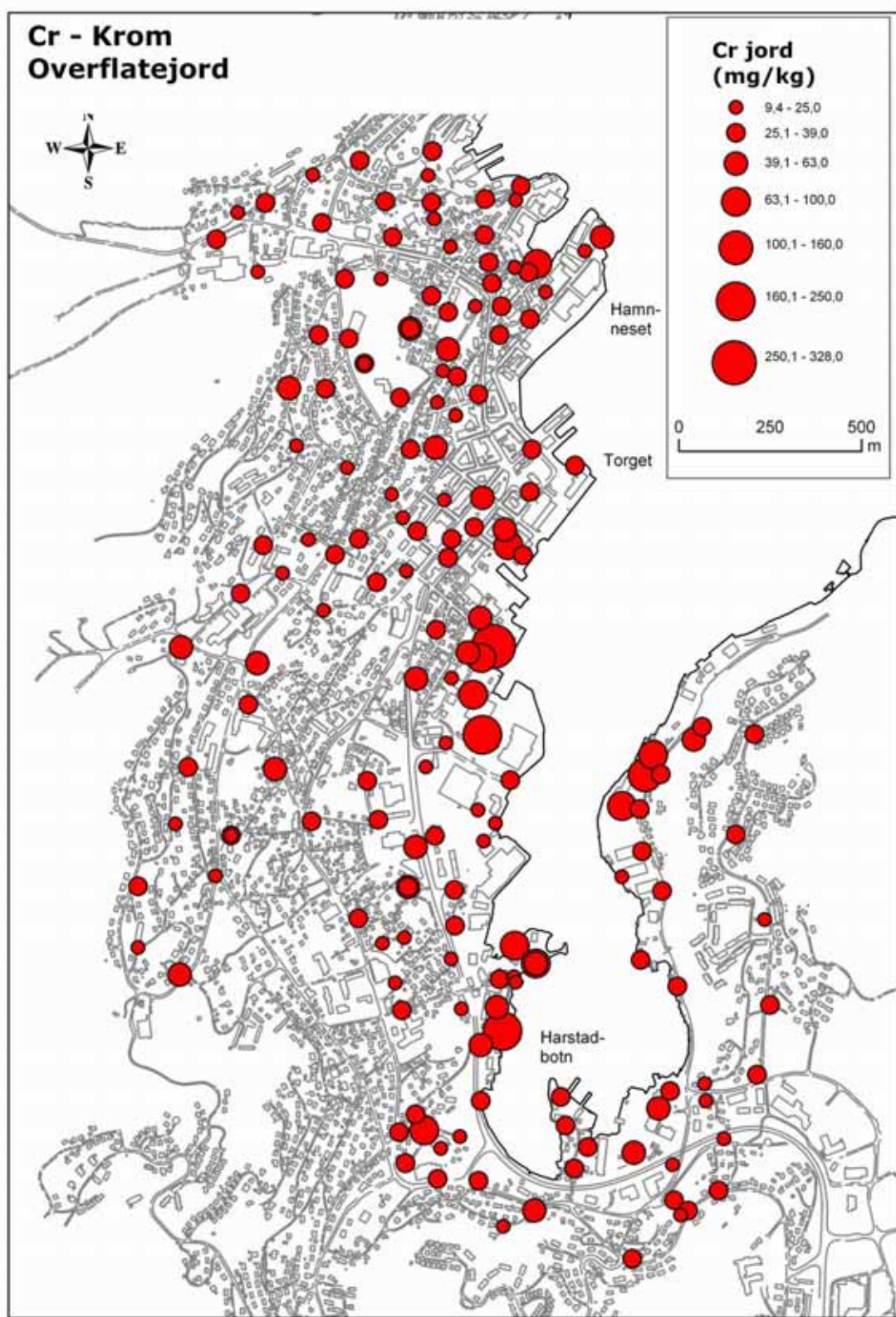
Figur: Geografisk fordeling av arsen (As) i overflatejord (N=186) fra Harstad (mg/kg)

9.1.2 Cd – Kadmium



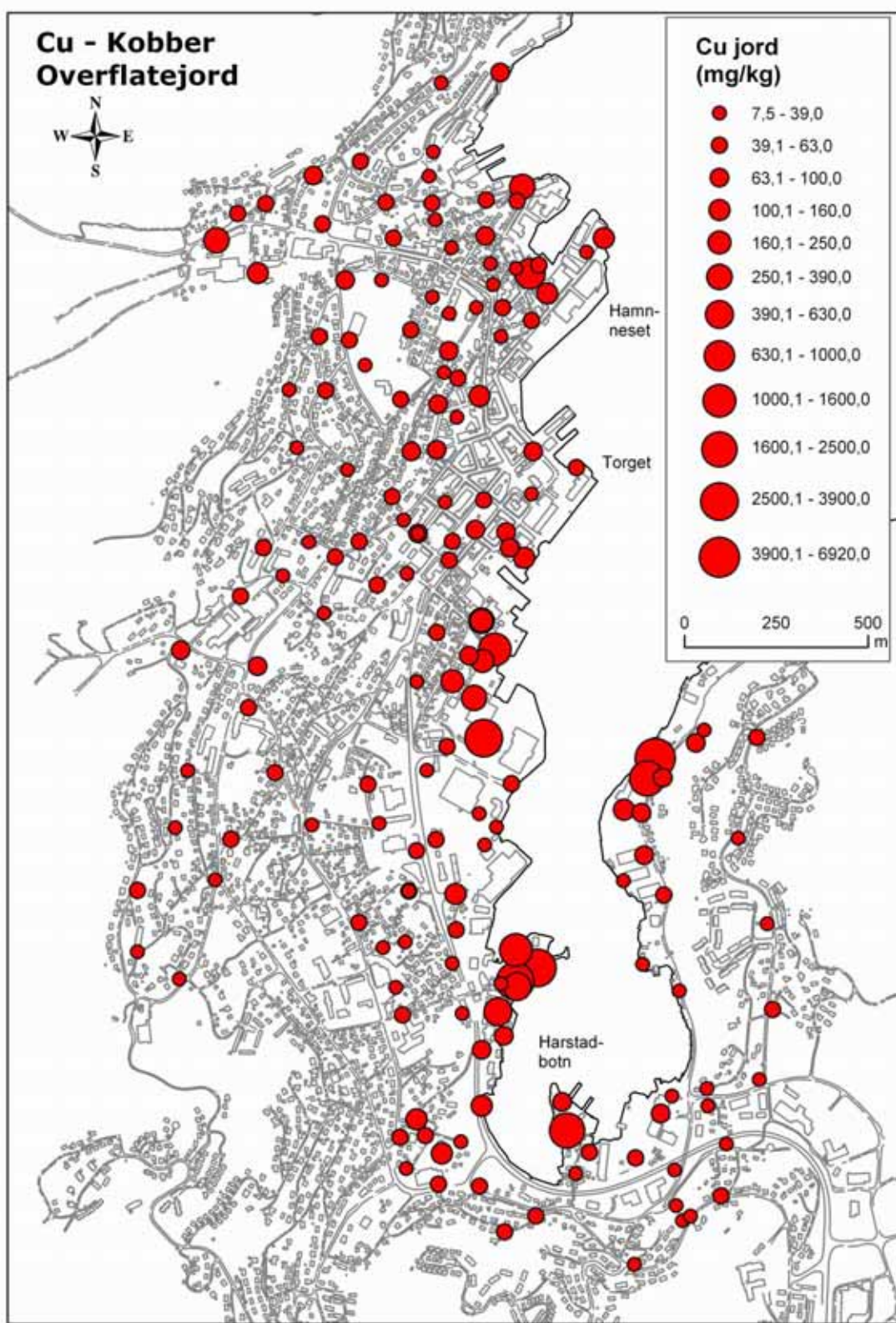
Figur: Geografisk fordeling av kadmium (Cd) i overflatejord (N=186) fra Harstad (mg/kg)

9.1.3 Cr – Krom



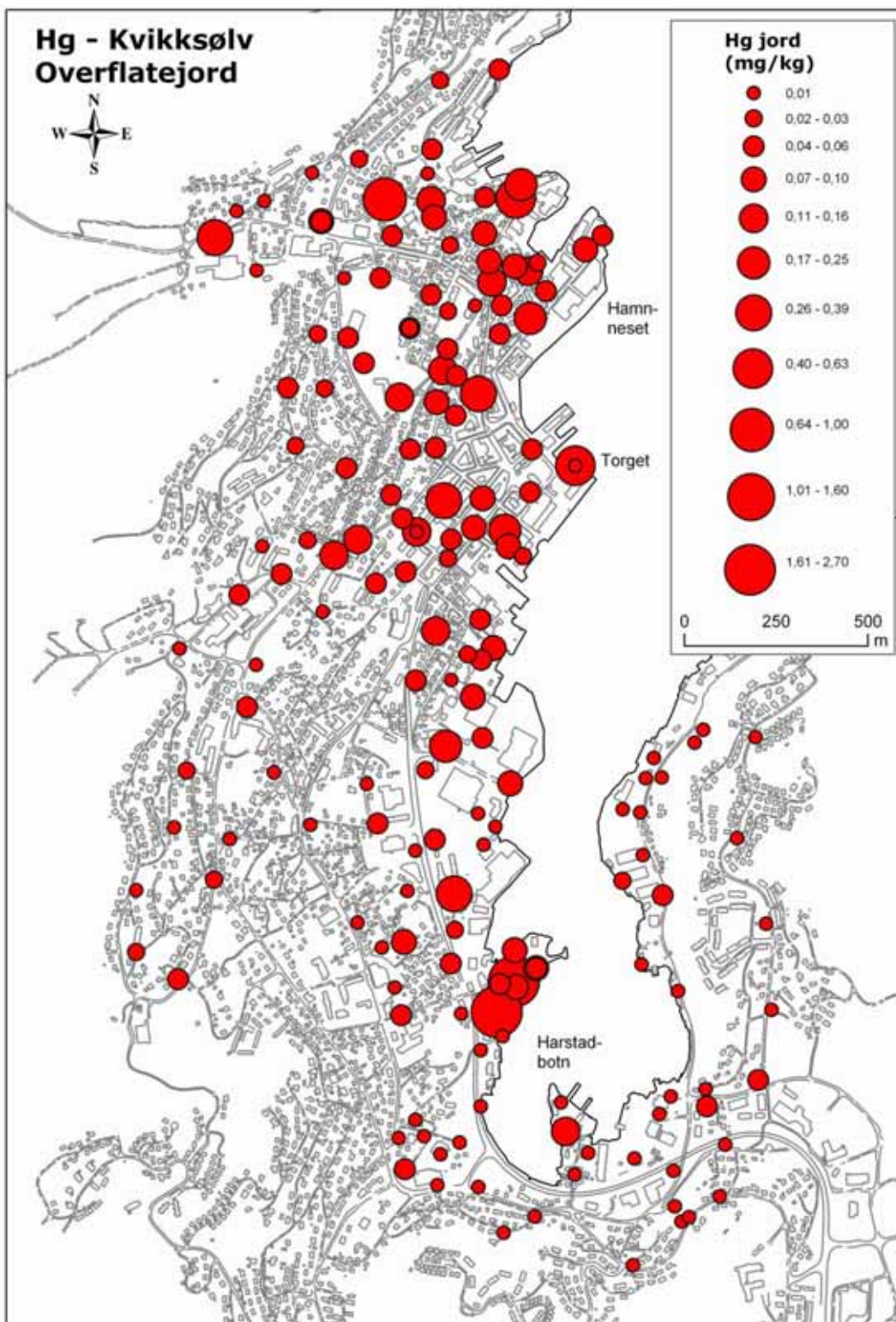
Figur: Geografisk fordeling av krom (Cr) i overflatejord (N=186) fra Harstad (mg/kg)

9.1.4 Cu – Kobber



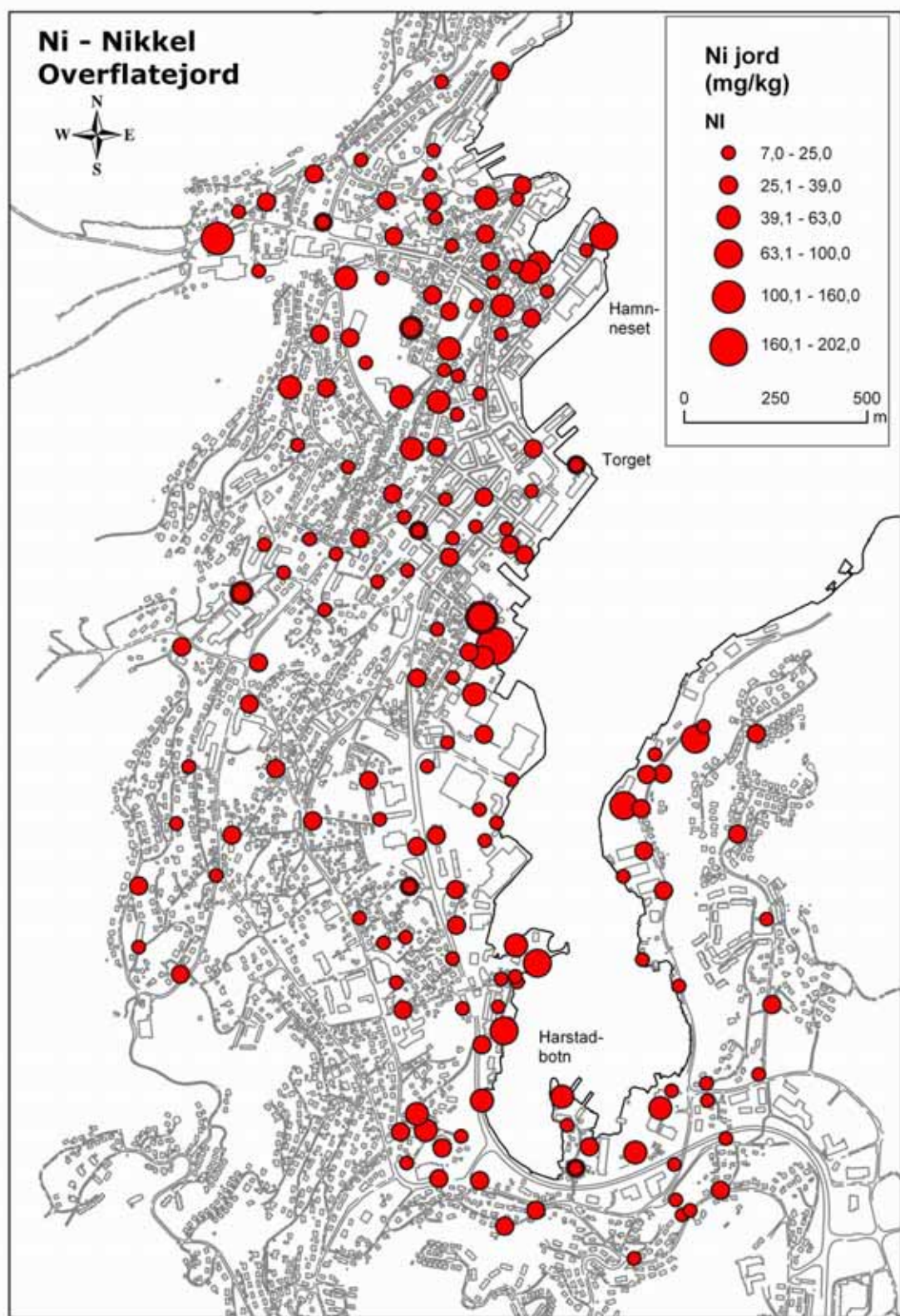
Figur: Geografisk fordeling av kobber (Cu) i overflatejord (N=186) fra Harstad (mg/kg)

9.1.5 Hg – Kvikksølv



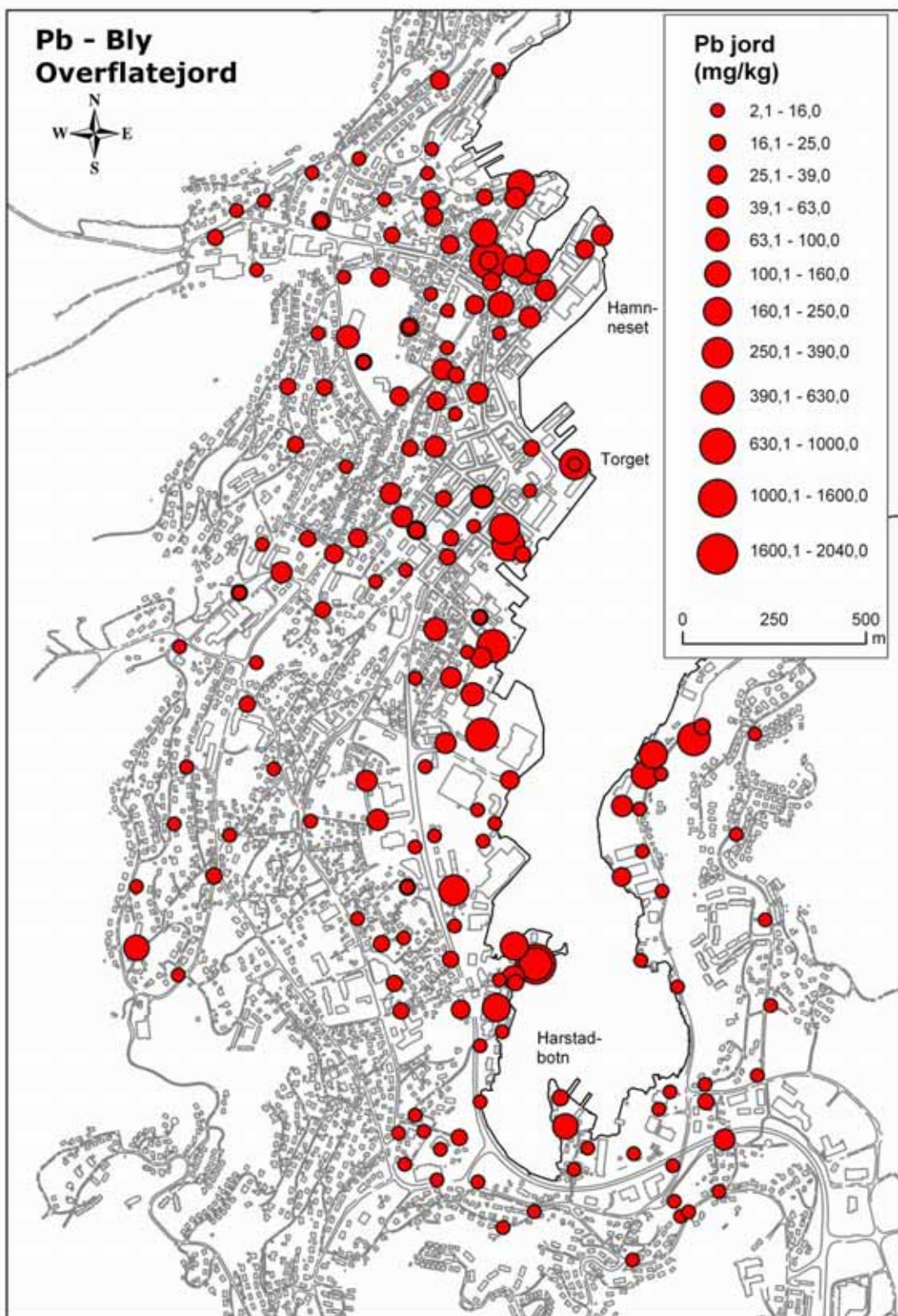
Figur: Geografisk fordeling av kvikksølv (Hg) i overflatejord (N=186) fra Harstad (mg/kg)

9.1.6 Ni – Nikkel



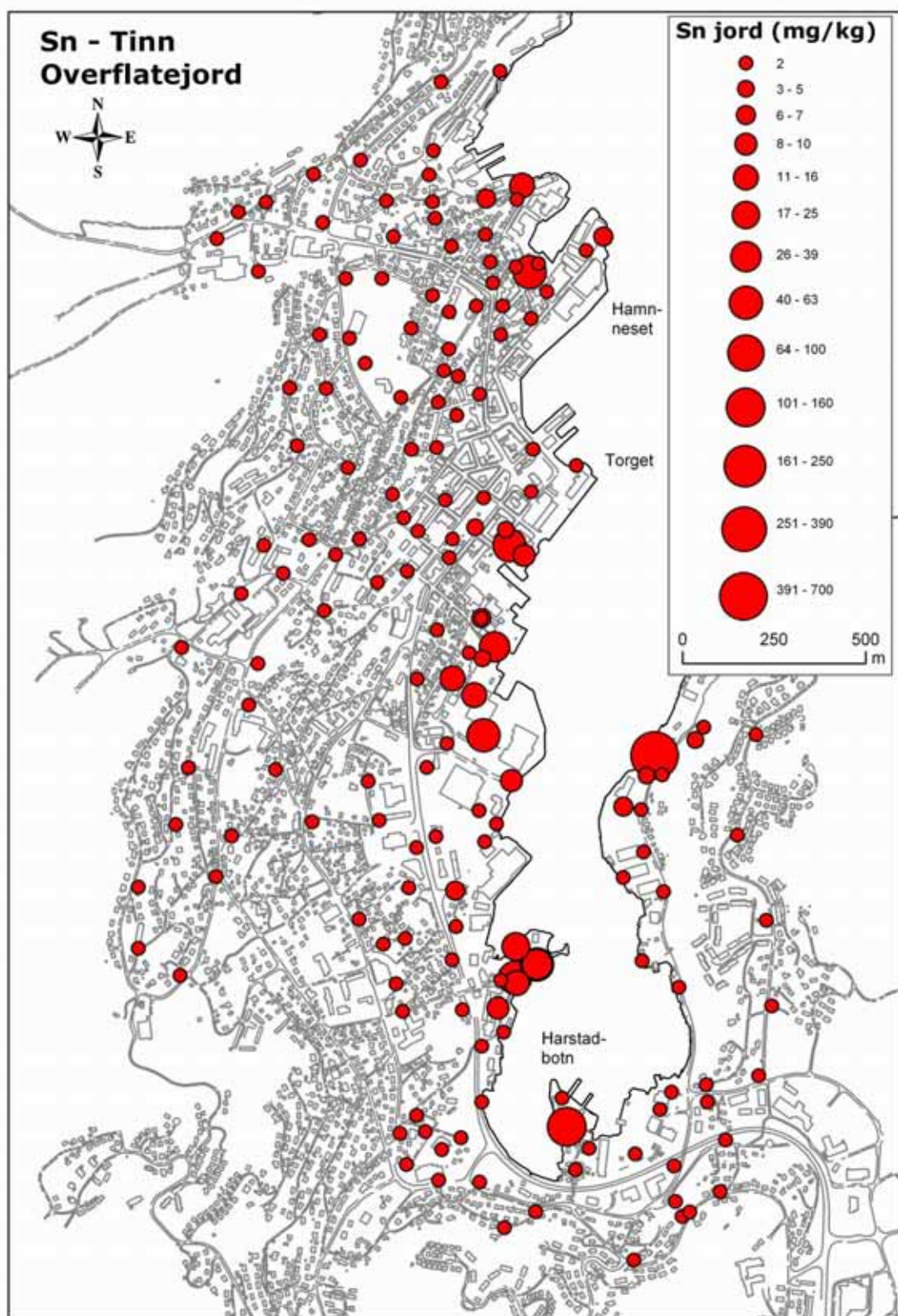
Figur: Geografisk fordeling av nikkel (Ni) i overflatejord (N=186) fra Harstad (mg/kg)

9.1.7 Pb – Bly



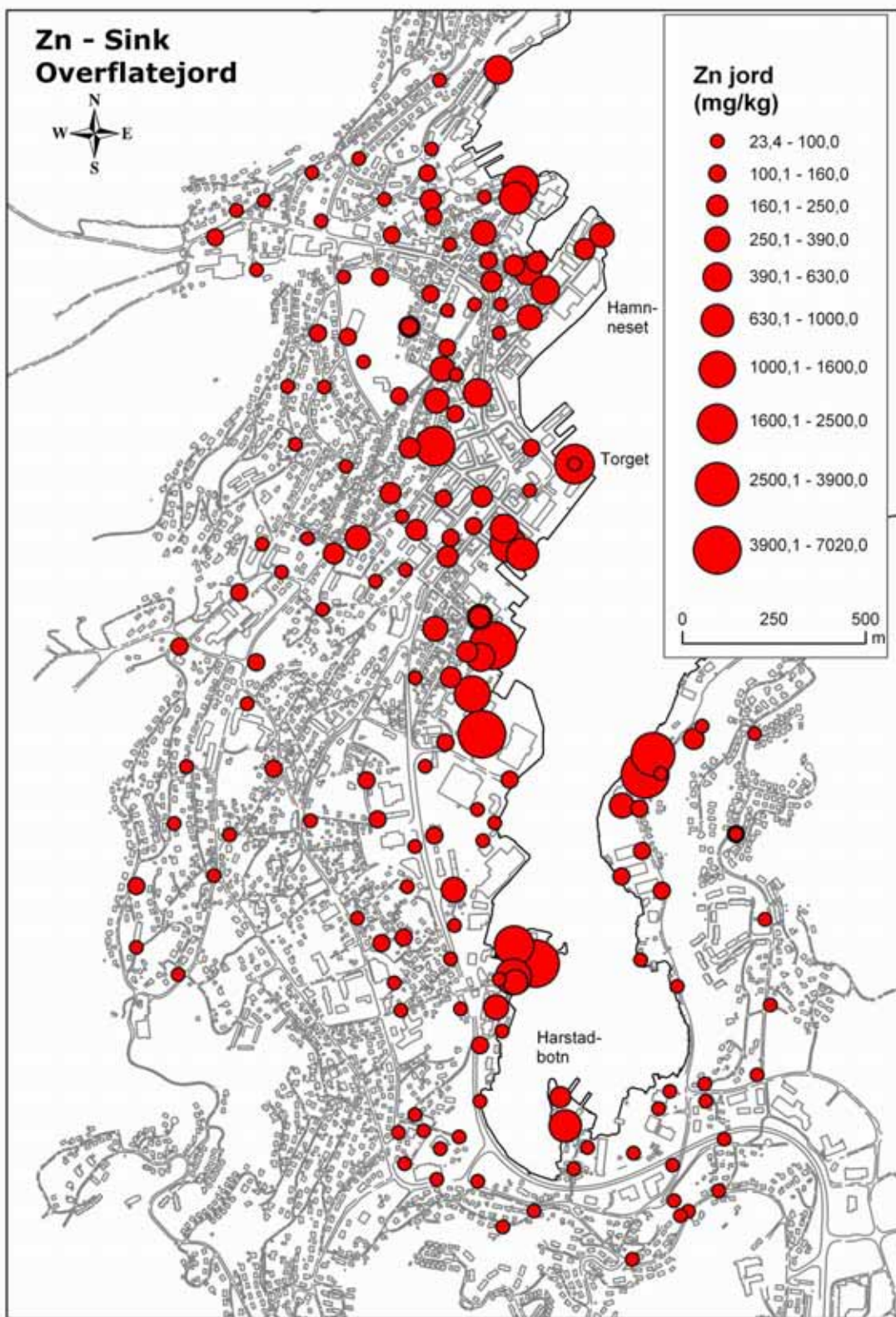
Figur: Geografisk fordeling av bly (Pb) i overflatejord (N=186) fra Harstad (mg/kg)

9.1.8 Sn – Tinn



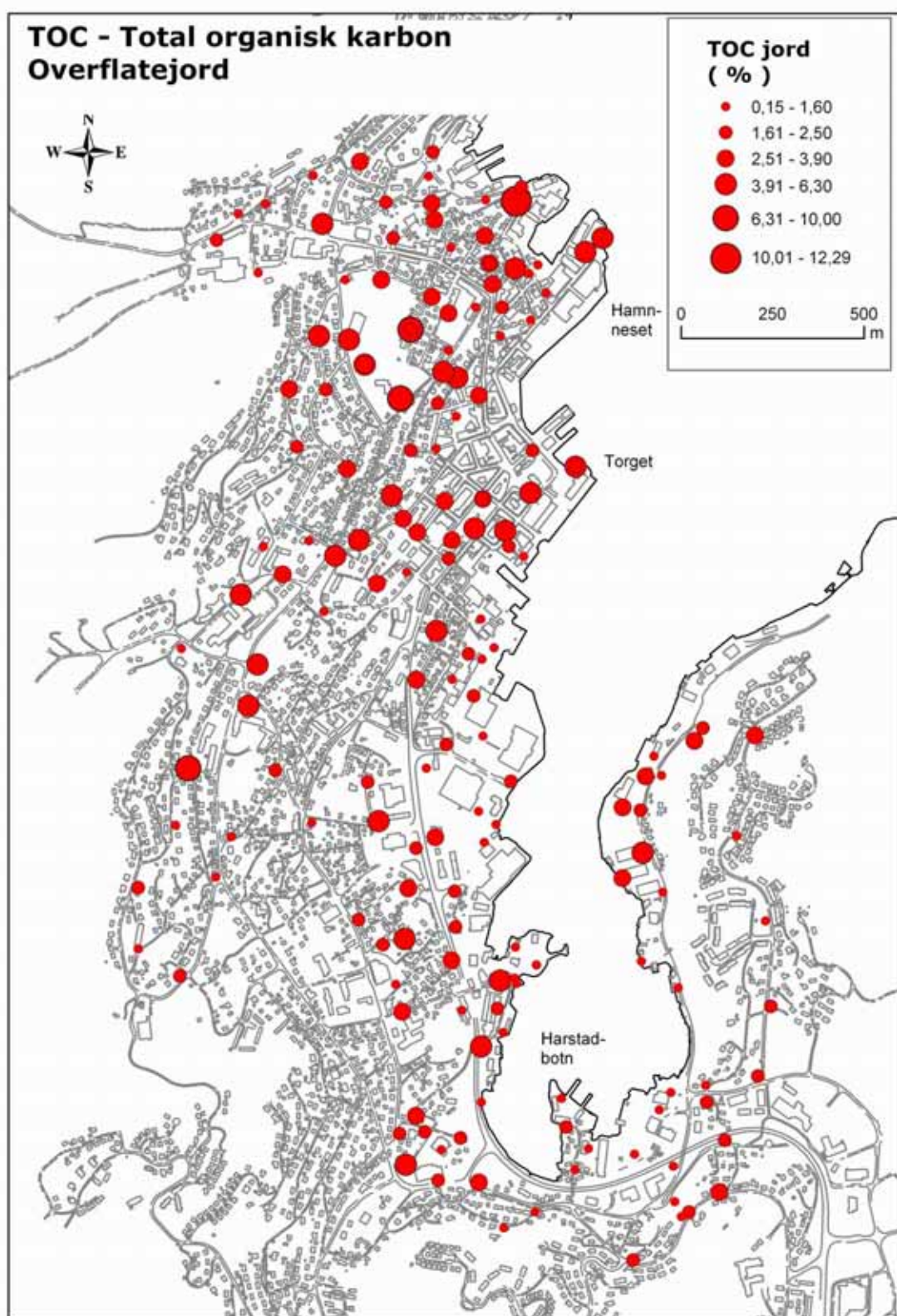
Figur: Geografisk fordeling av tinn (Sn) i overflatejord (N=186) fra Harstad (mg/kg)

9.1.9 Zn – Sink



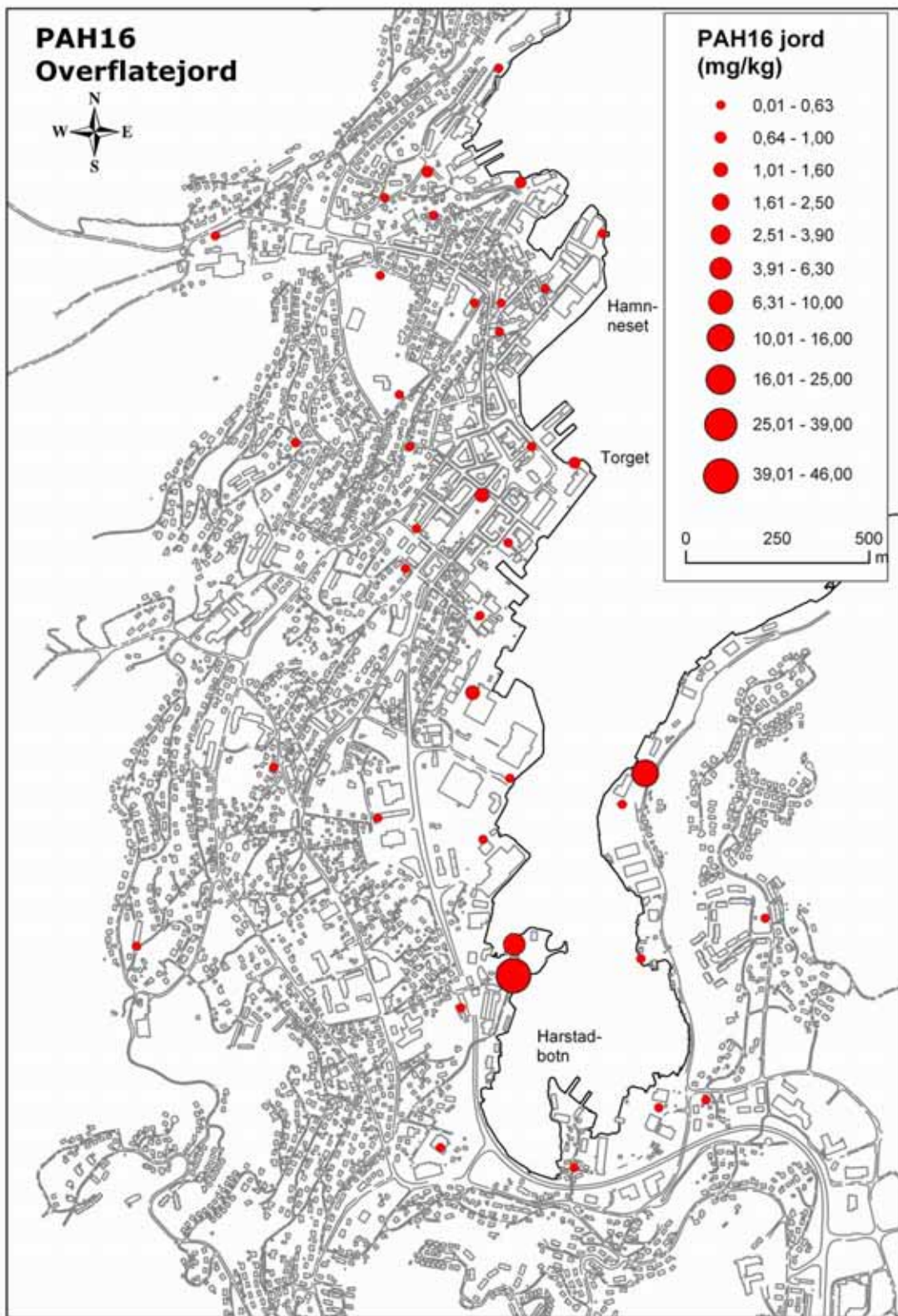
Figur: Geografisk fordeling av sink (Zn) i overflatejord (N=186) fra Harstad (mg/kg)

9.1.10 TOC – Total organisk karbon



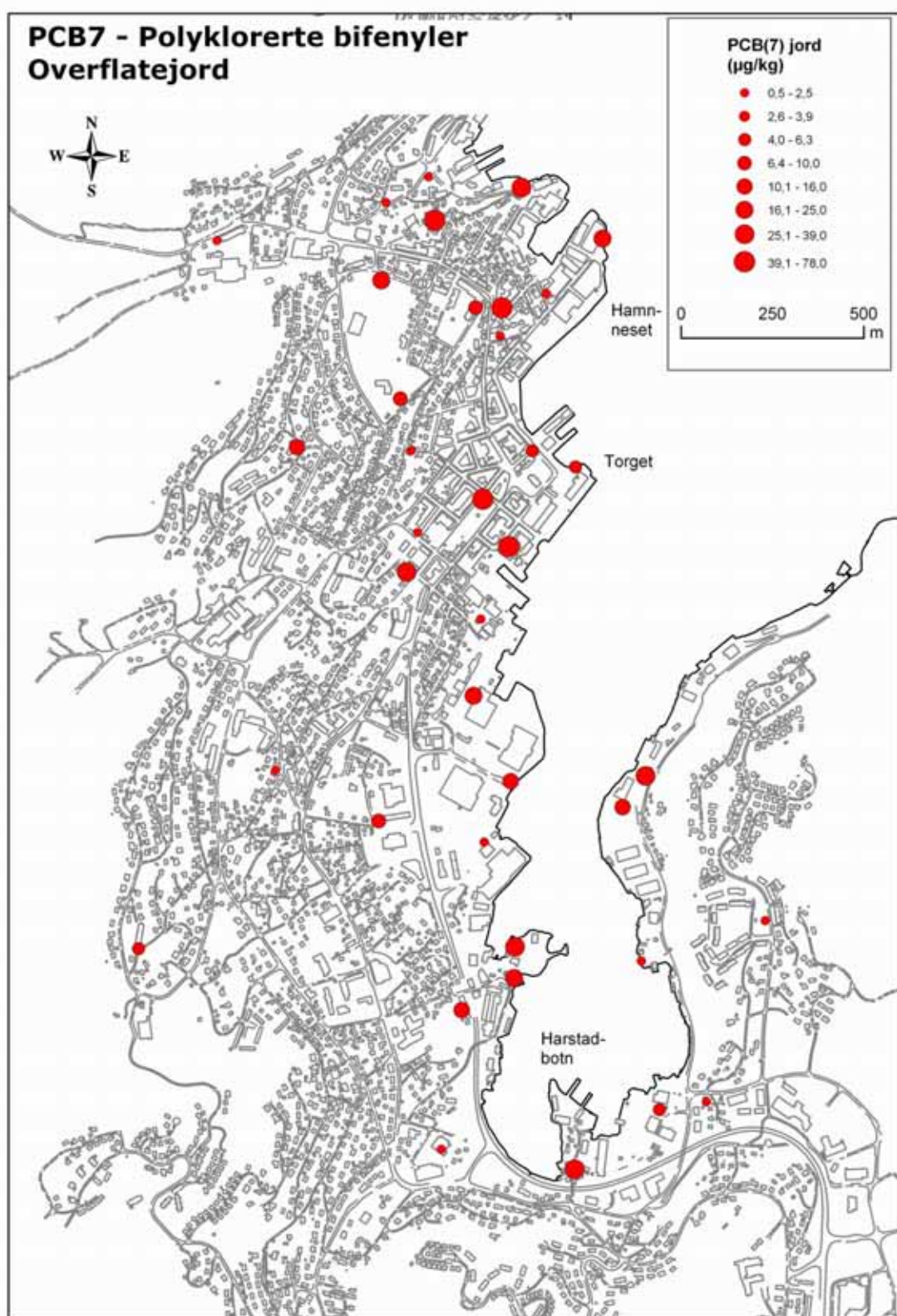
Figur: Geografisk fordeling av total organisk karbon (TOC) i overflatejord (N=186) fra Harstad (mg/kg)

9.1.11 PAH – Polyaromatiske hydrokarboner



Figur: Geografisk fordeling av polyaromatiske hydrokarboner (PAH) i overflatejord (N=39) fra Harstad (mg/kg)

9.1.12 PCB – Polyklorerte bifenyler

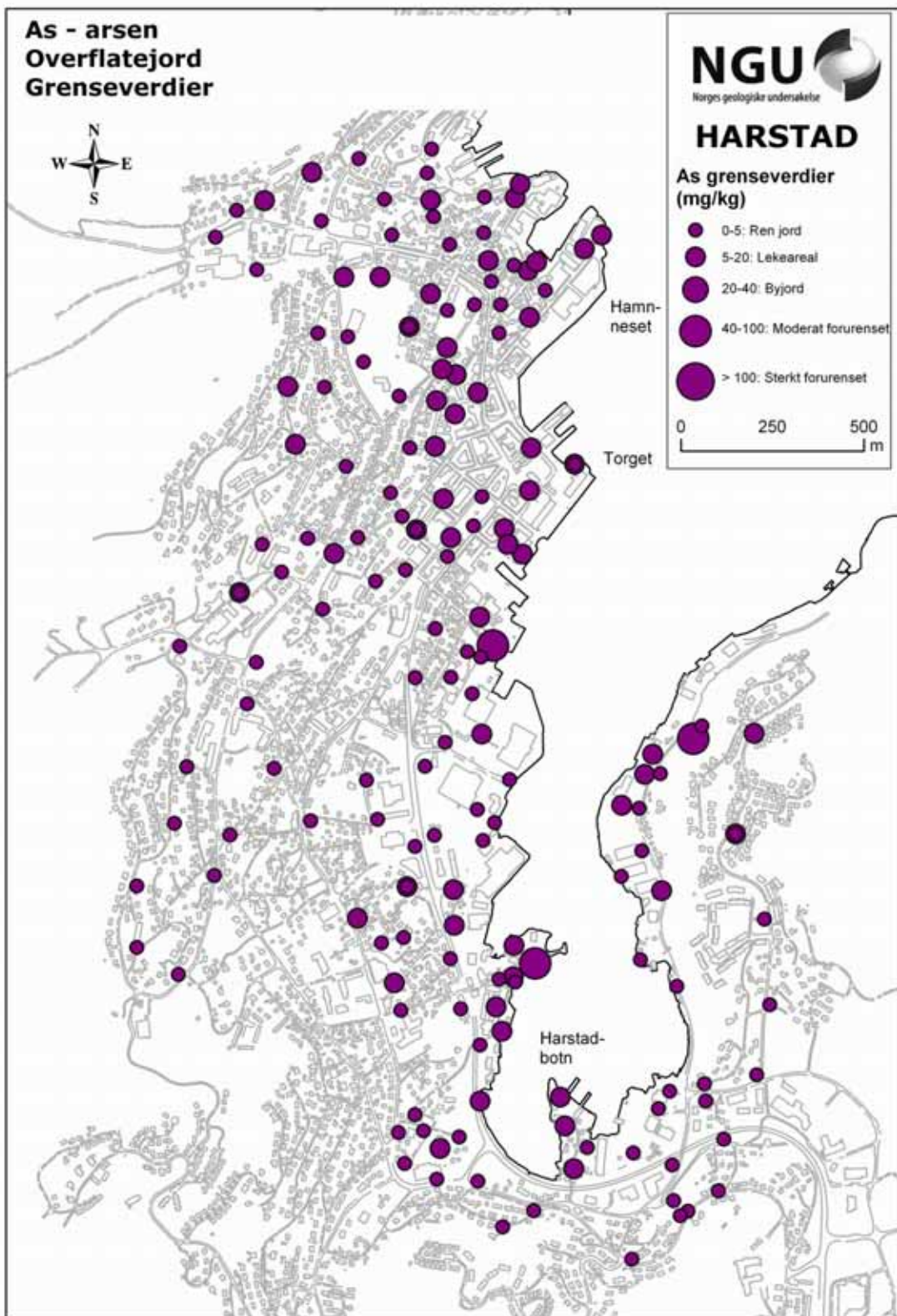


Figur: Geografisk fordeling av polyklorerte bifenyler (PCB₇) i overflatejord (N=39) fra Harstad ($\mu\text{g}/\text{kg}$)

10. VEDLEGG 5: KARTSKISSE, GRENSEVERDIER

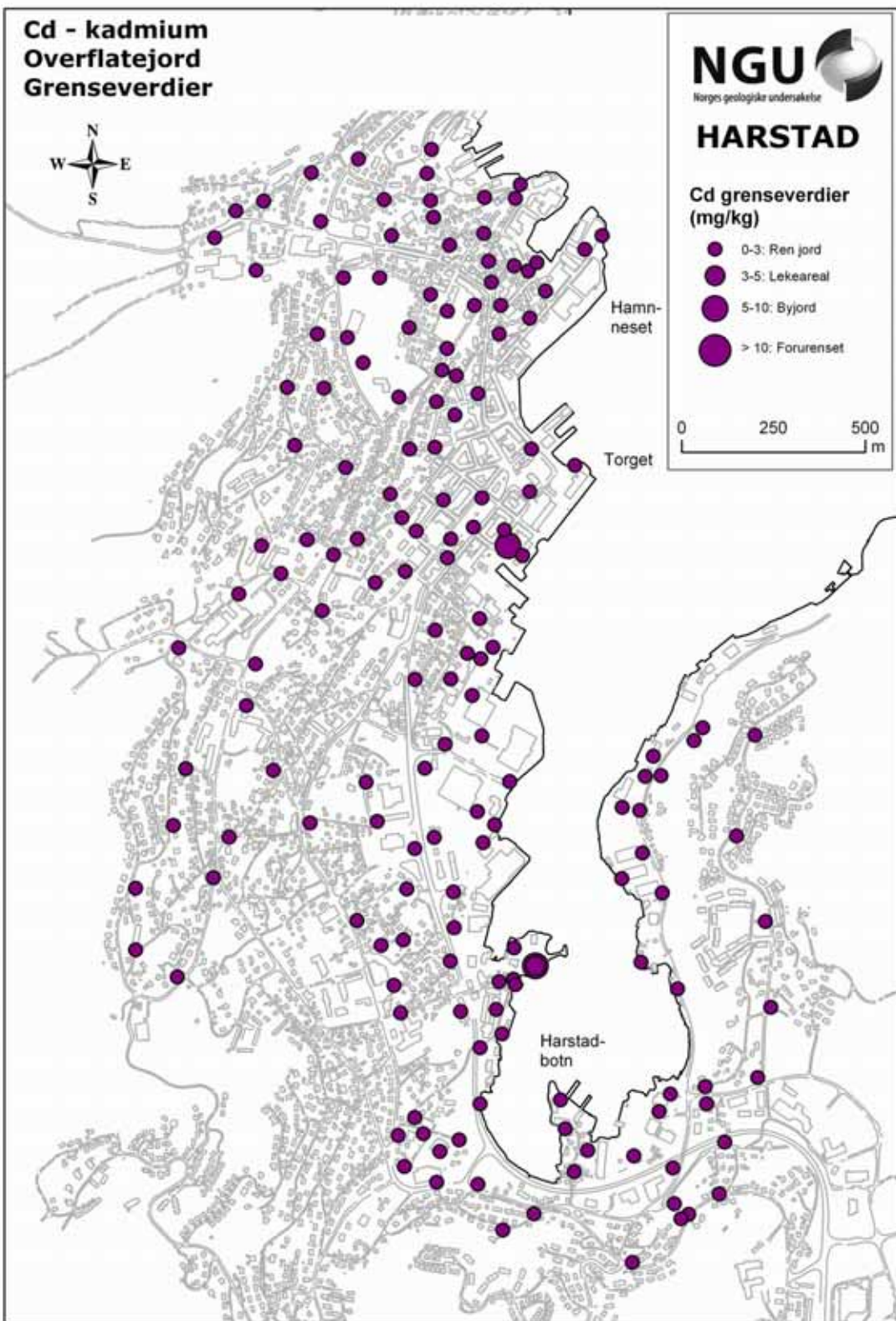
**Kartskisser, overflatejord, i forhold til foreslalte grenseverdier for ulik
arealbruk**

10.1.1 As - Arsen



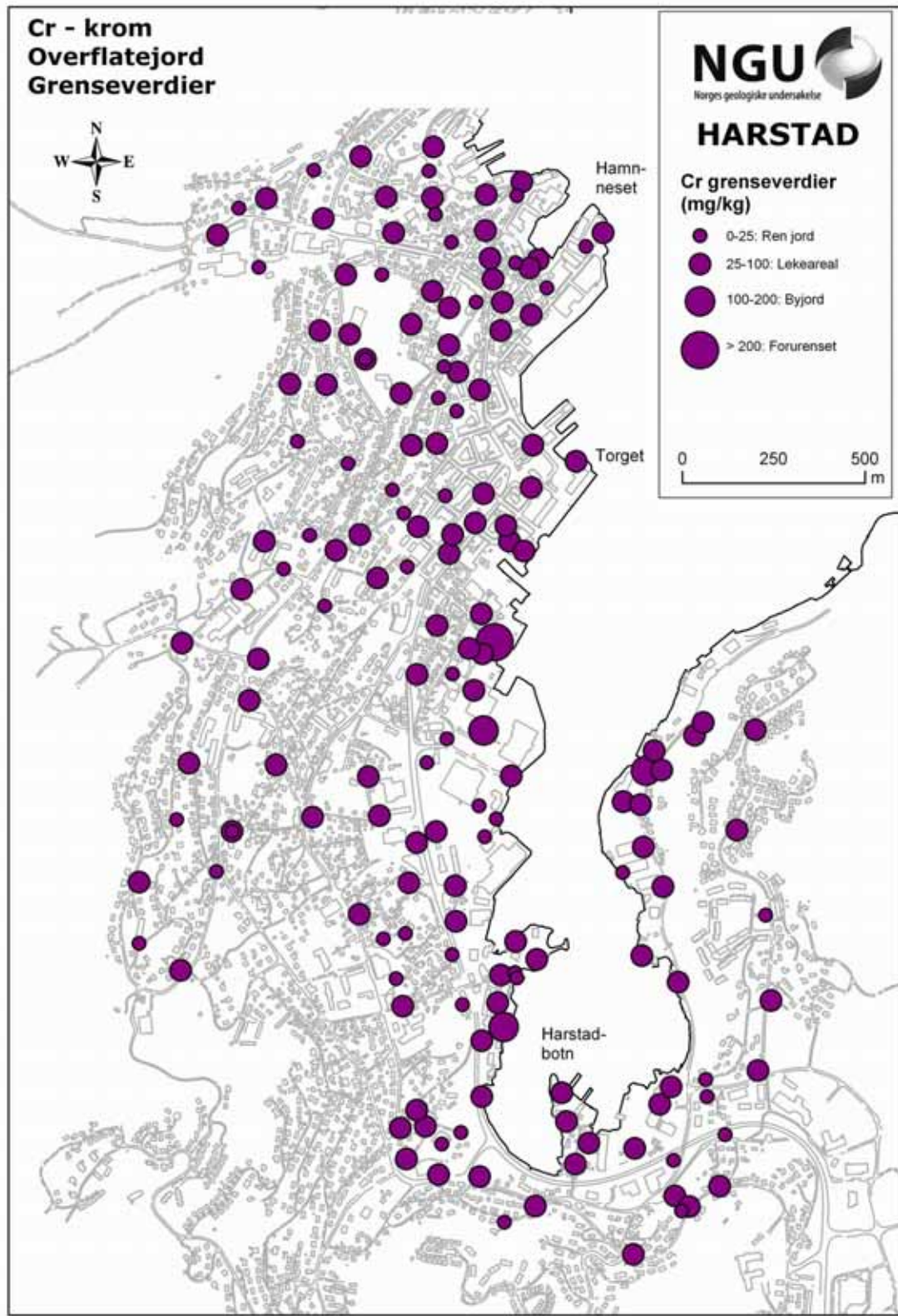
Figur: Koncentrasjon (mg/kg) av As i overflatejord i forhold til foreslalte tiltaksgrenser og arealbruk

10.1.2 Cd – Kadmium



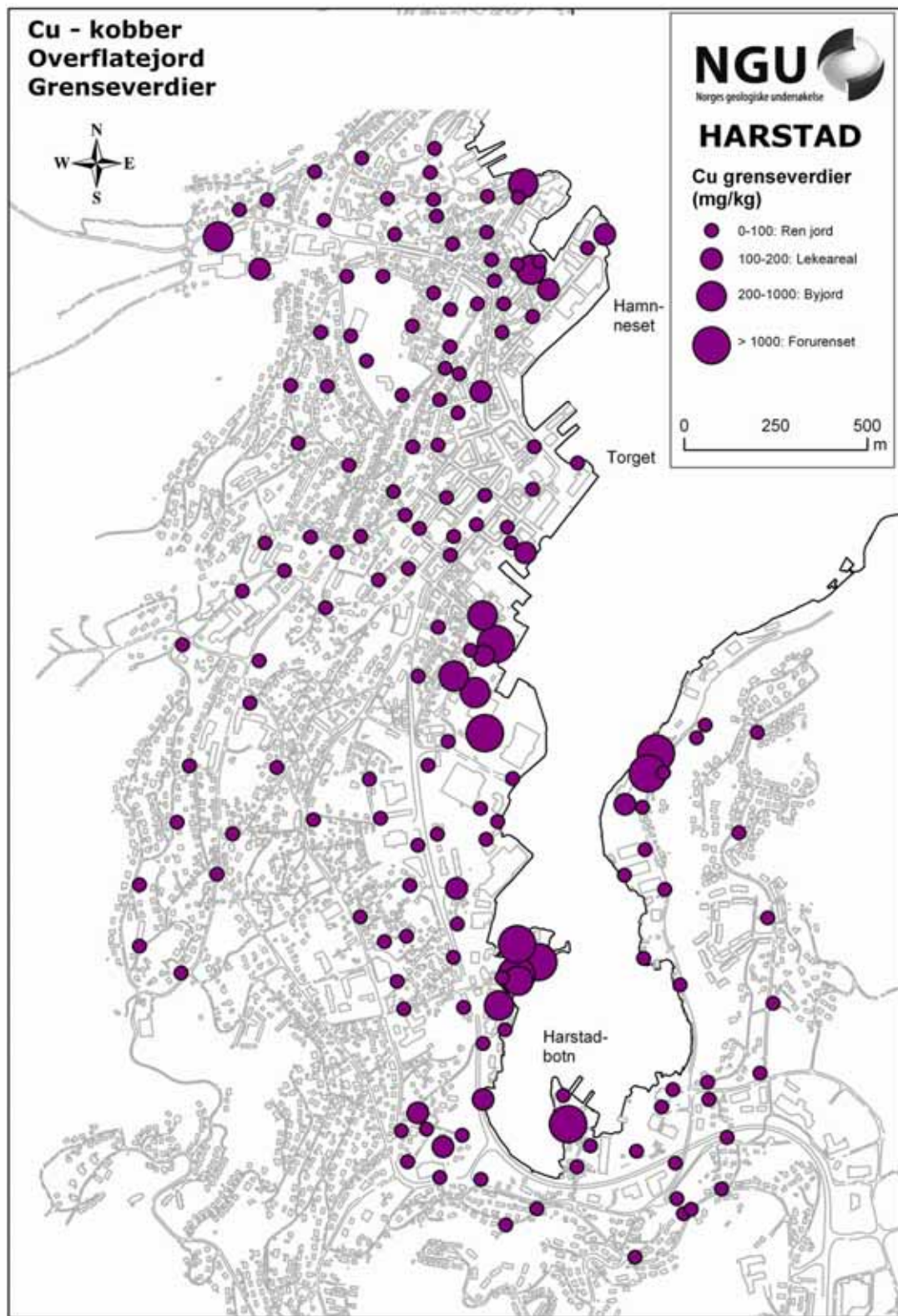
Figur: Koncentrasjon (mg/kg) av Cd i overflatejord i forhold til foreslalte tiltaksgrenser og arealbruk

10.1.3 Cr – Krom



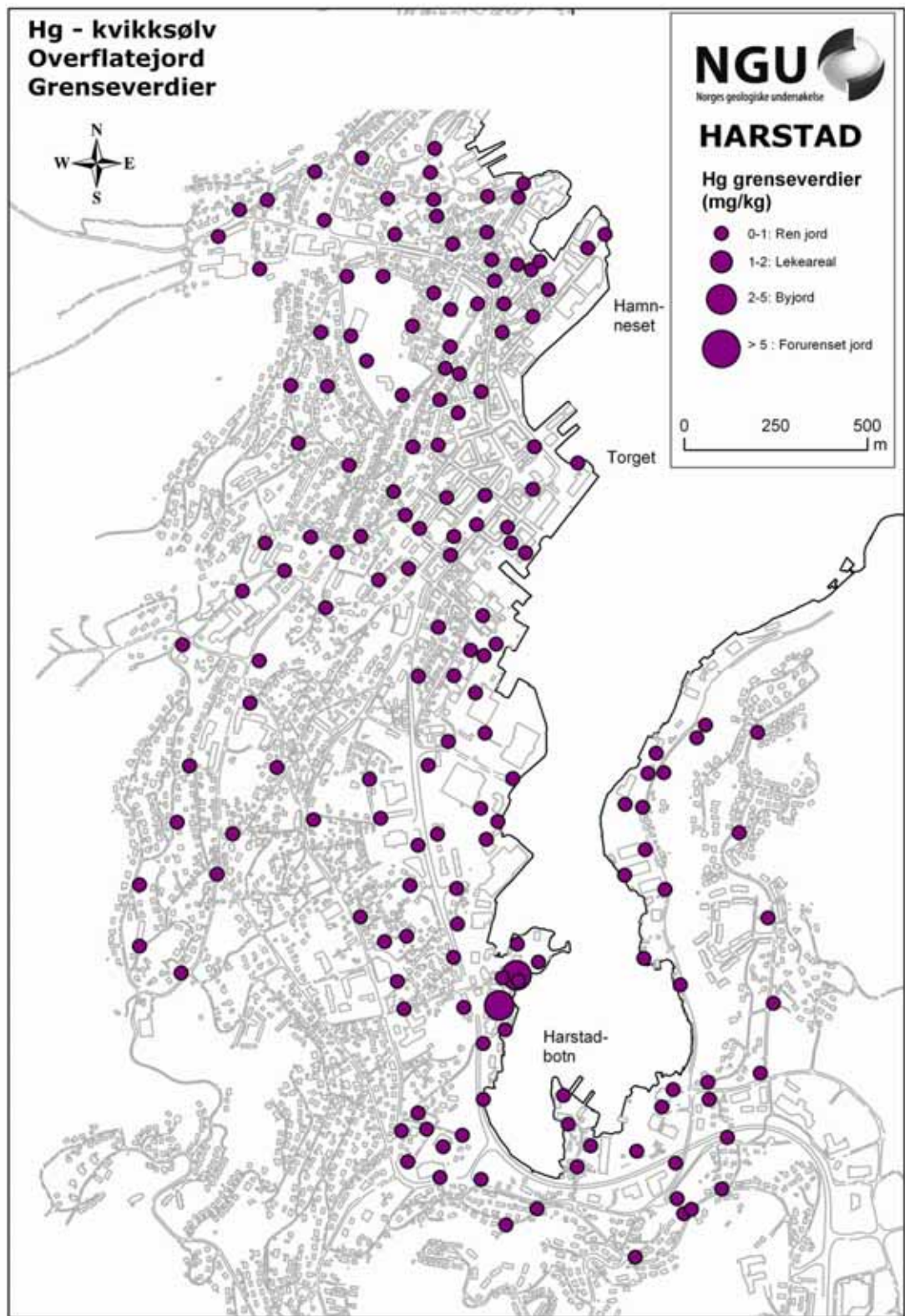
Figur: Koncentrasjon (mg/kg) av Cr i overflatejord i forhold til foreslalte tiltaksgrenser og arealbruk

10.1.4 Cu – Kobber



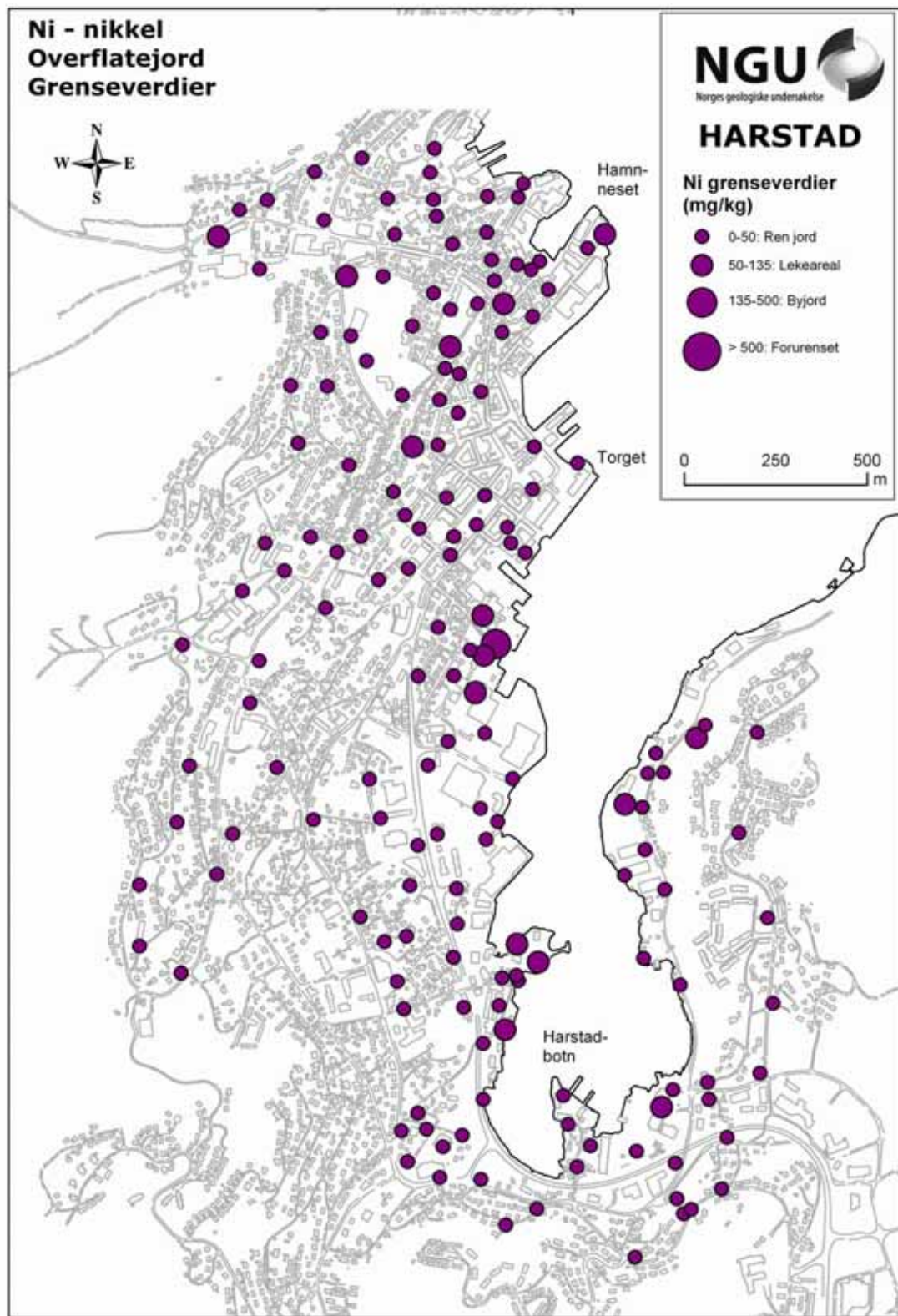
Figur: Koncentrasjon (mg/kg) av Cu i overflatejord i forhold til foreslalte tiltaksgrenser og arealbruk

10.1.5 Hg – Kvikksølv



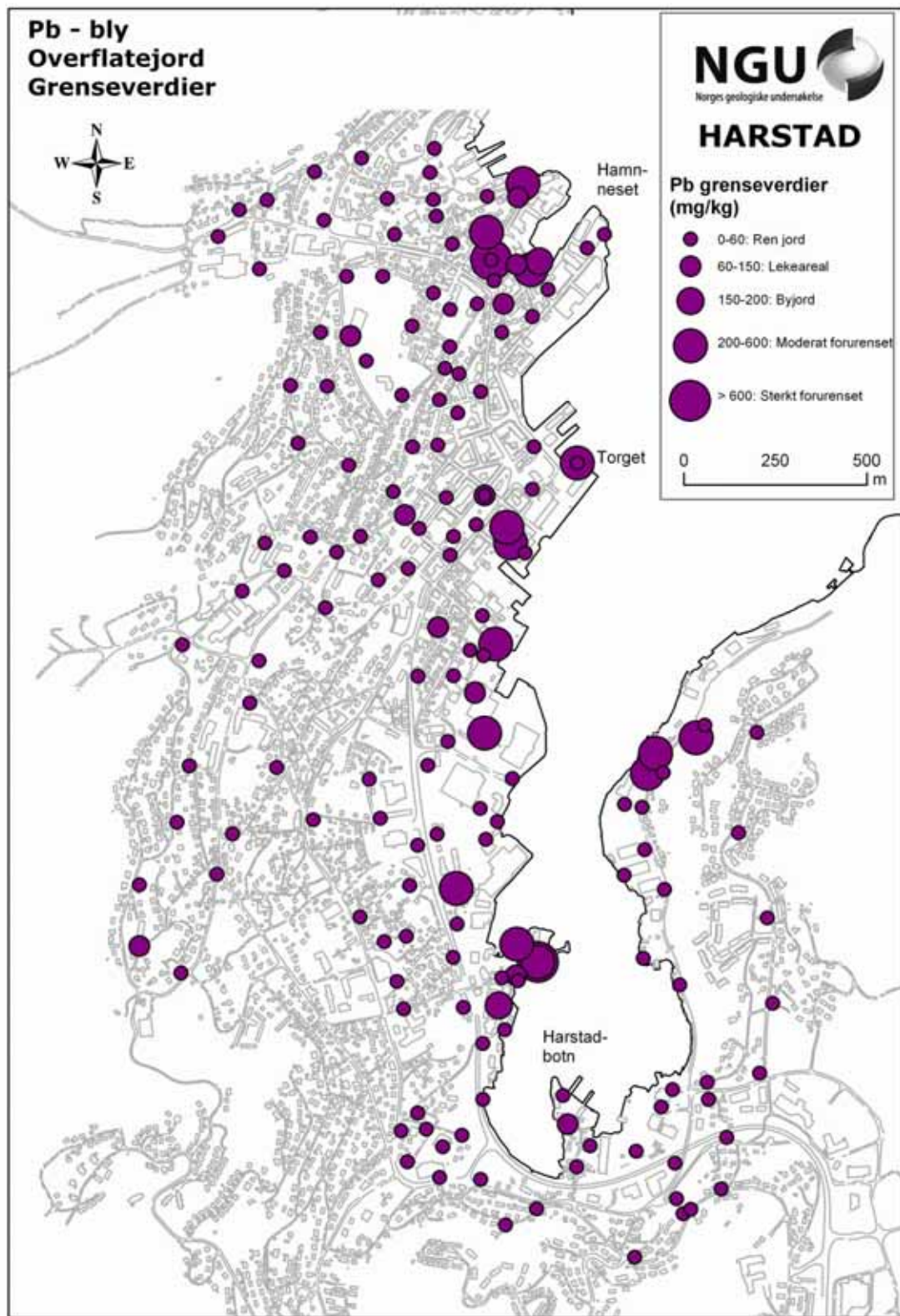
Figur: Koncentrasjon (mg/kg) av Hg i overflatejord i forhold til foreslalte tiltaksgrenser og arealbruk

10.1.6 Ni – Nikkel



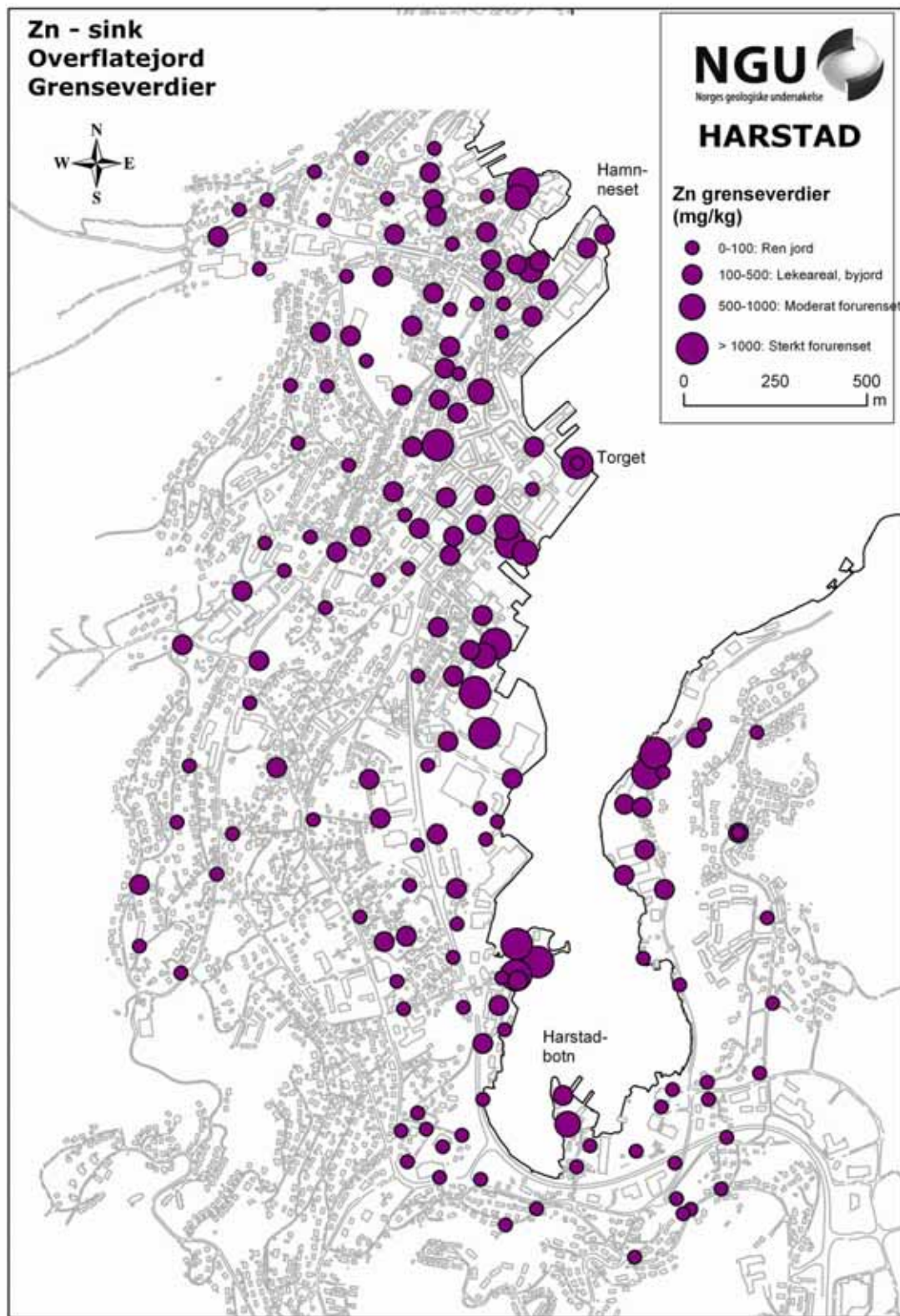
Figur: Konsentrasjon (mg/kg) av Ni i overflatejord i forhold til foreslåtte tiltaksgrenser og arealbruk

10.1.7 Pb – Bly



Figur: Koncentrasjon (mg/kg) av Pb i overflatejord i forhold til foreslalte tiltaksgrenser og arealbruk

10.1.8 Zn – Sink

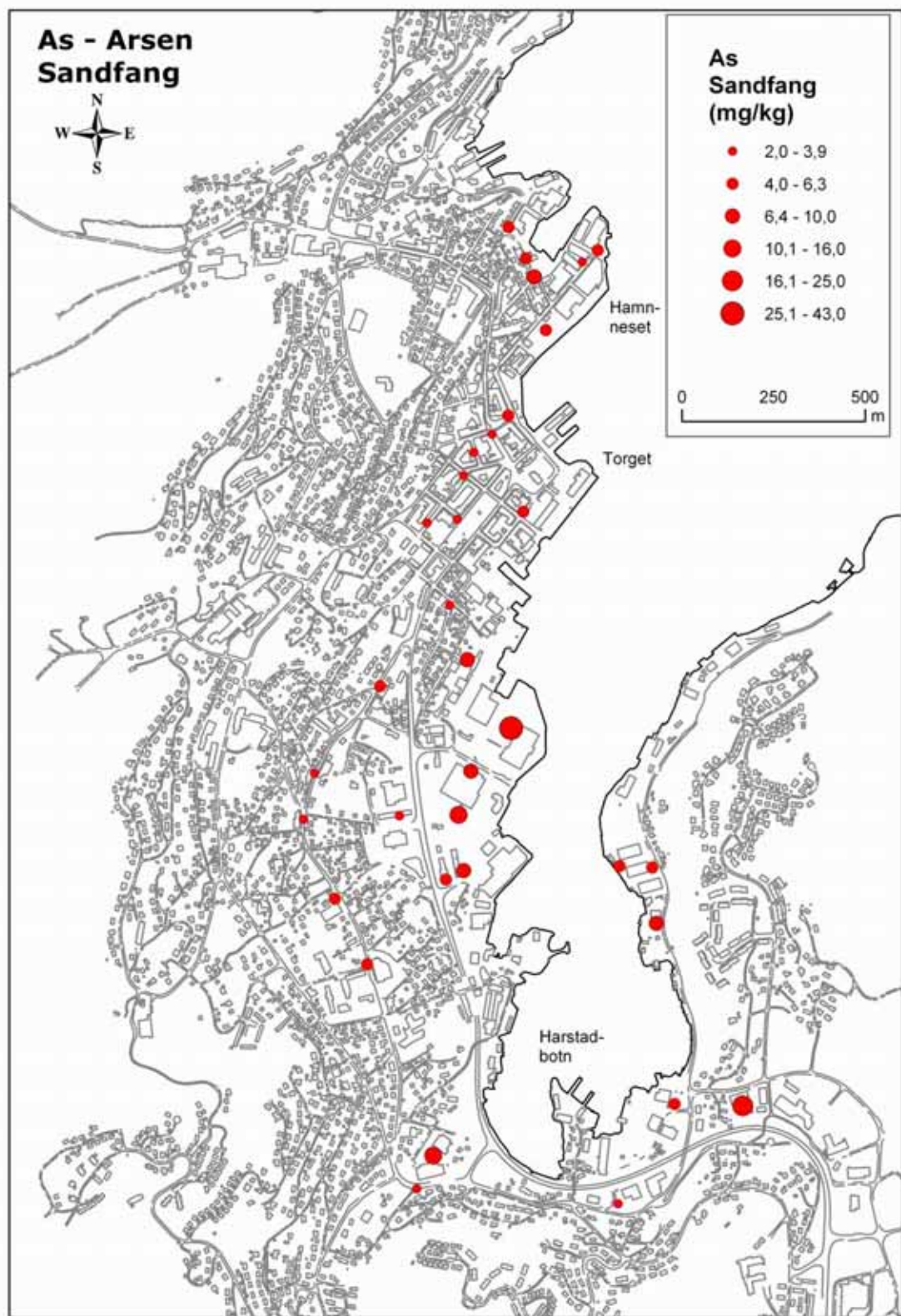


Figur: Koncentrasjon (mg/kg) av Zn i overflatejord i forhold til foreslalte tiltaksgrenser og arealbruk

11. VEDLEGG 6: KARTSKISSE, SANDFANGSMATERIALER

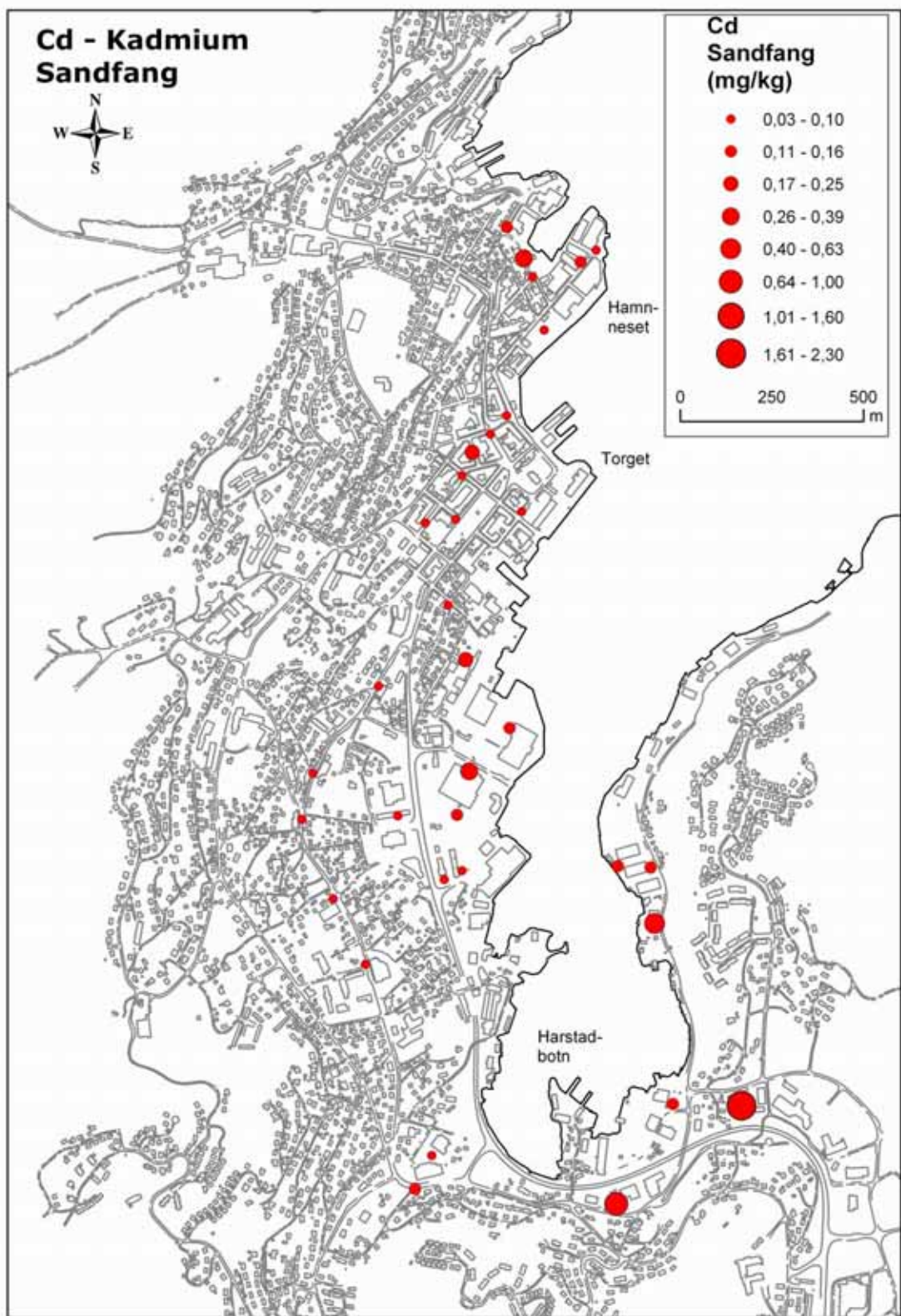
Kartskisser, sandfangsmaterialer

11.1.1 As – Arsen



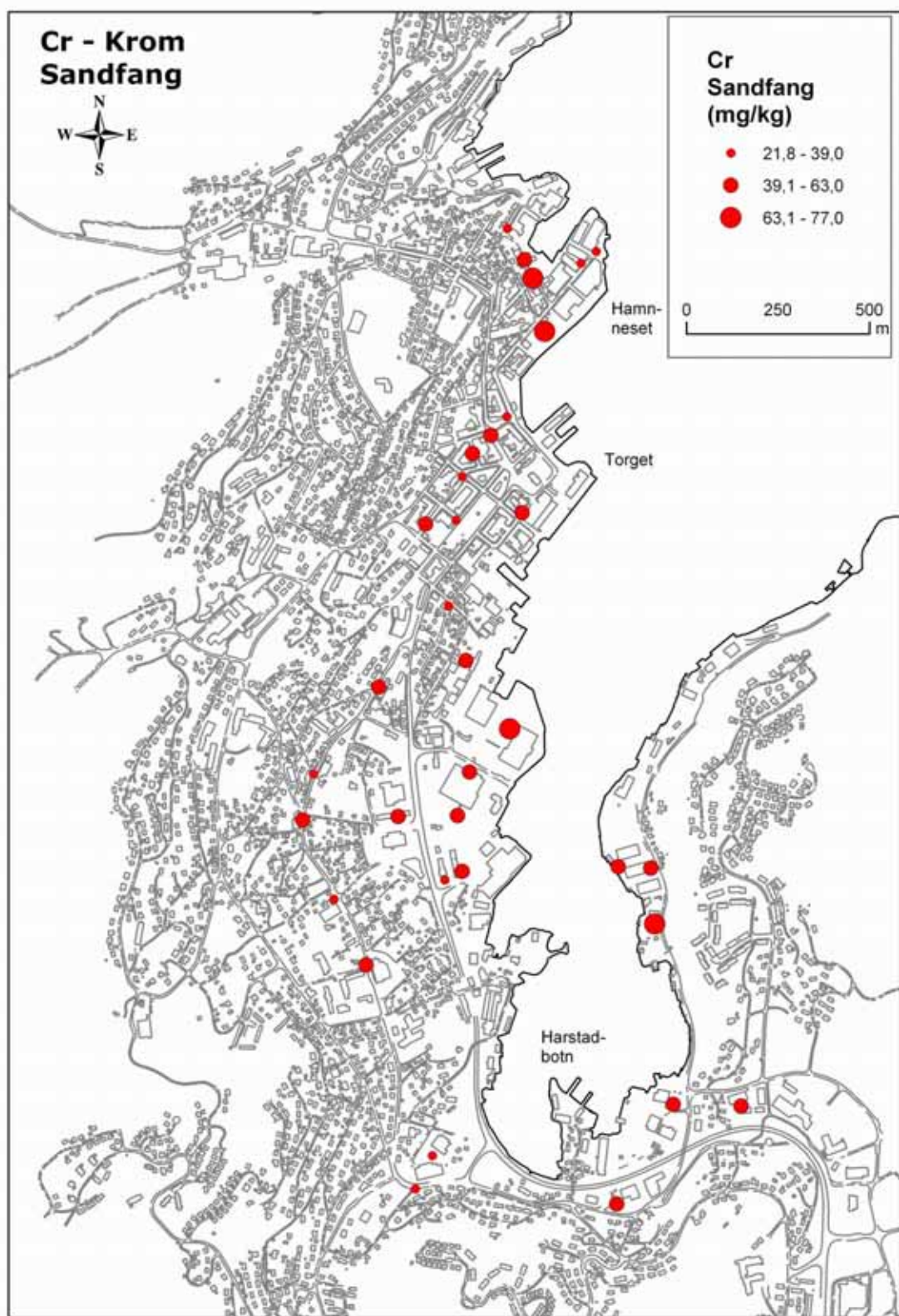
Figur: Geografisk fordeling av arsen (As) i sandfangsmaterialer (N=34) fra Harstad (mg/kg)

11.1.2 Cd – Kadmium



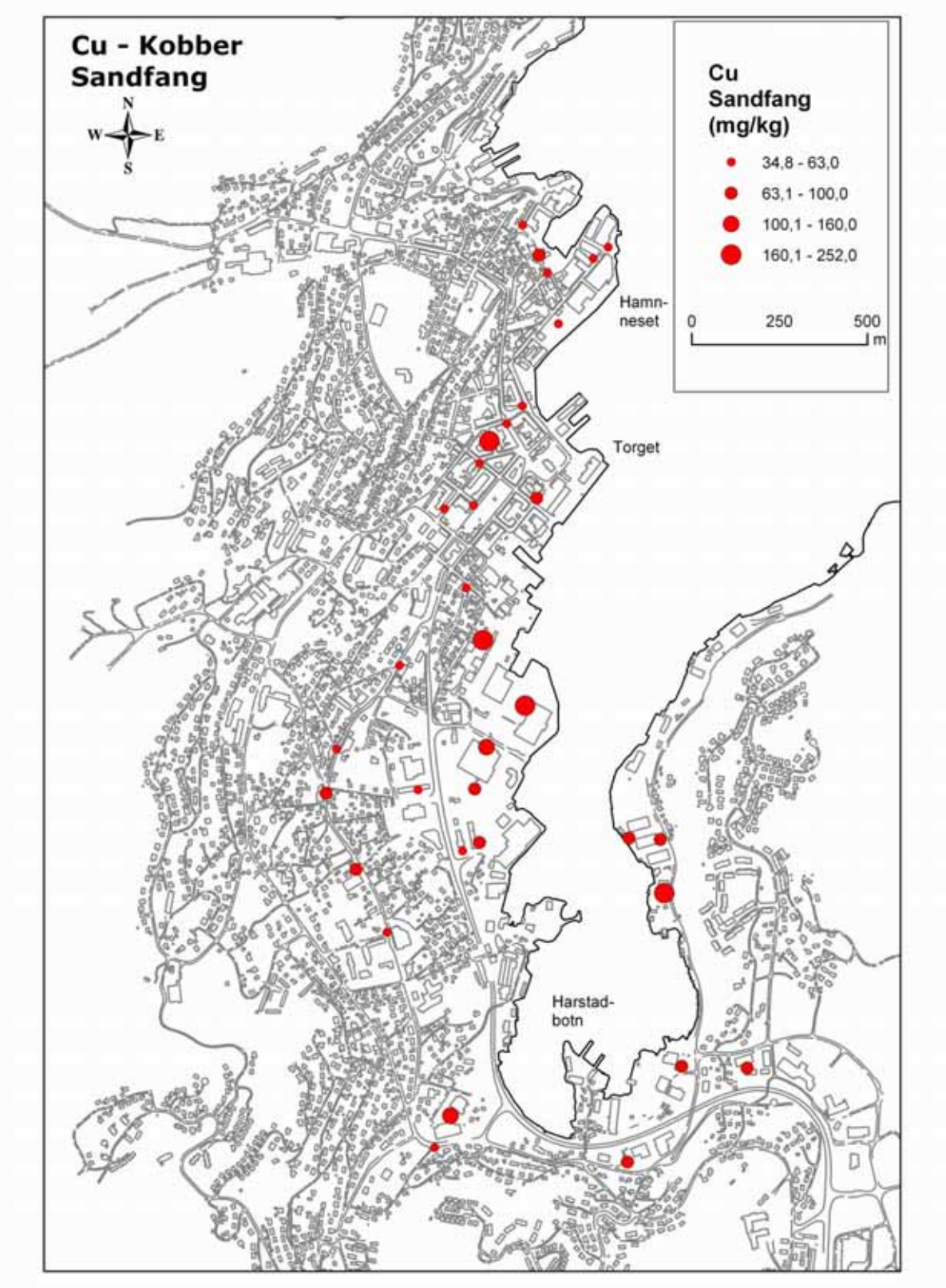
Figur: Geografisk fordeling av kadmium (Cd) i sandfangsmaterialer (N=34) fra Harstad (mg/kg)

11.1.3 Cr – Krom



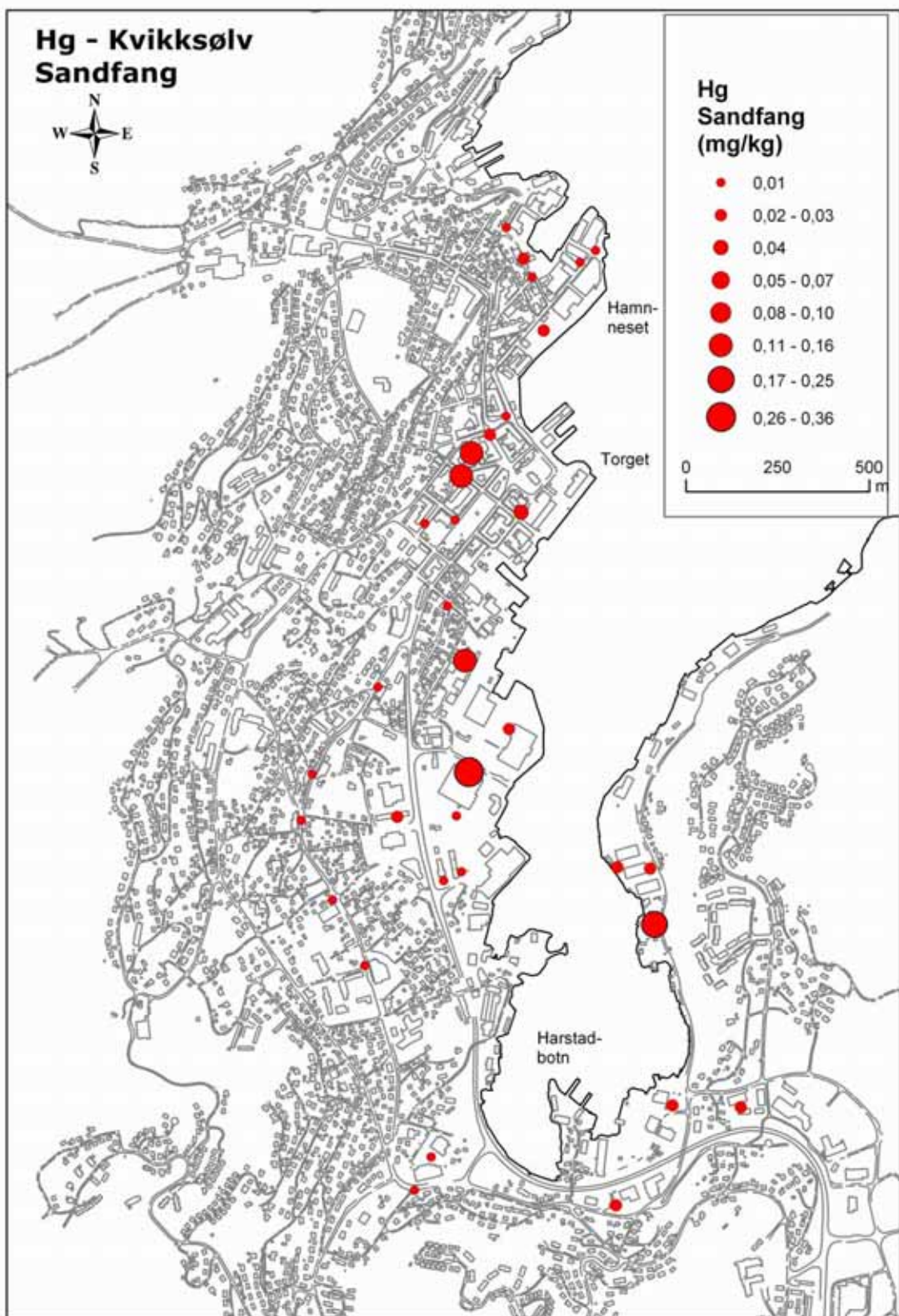
Figur: Geografisk fordeling av krom (Cr) i sandfangsmaterialer (N=34) fra Harstad (mg/kg)

11.1.4 Cu – Kobber



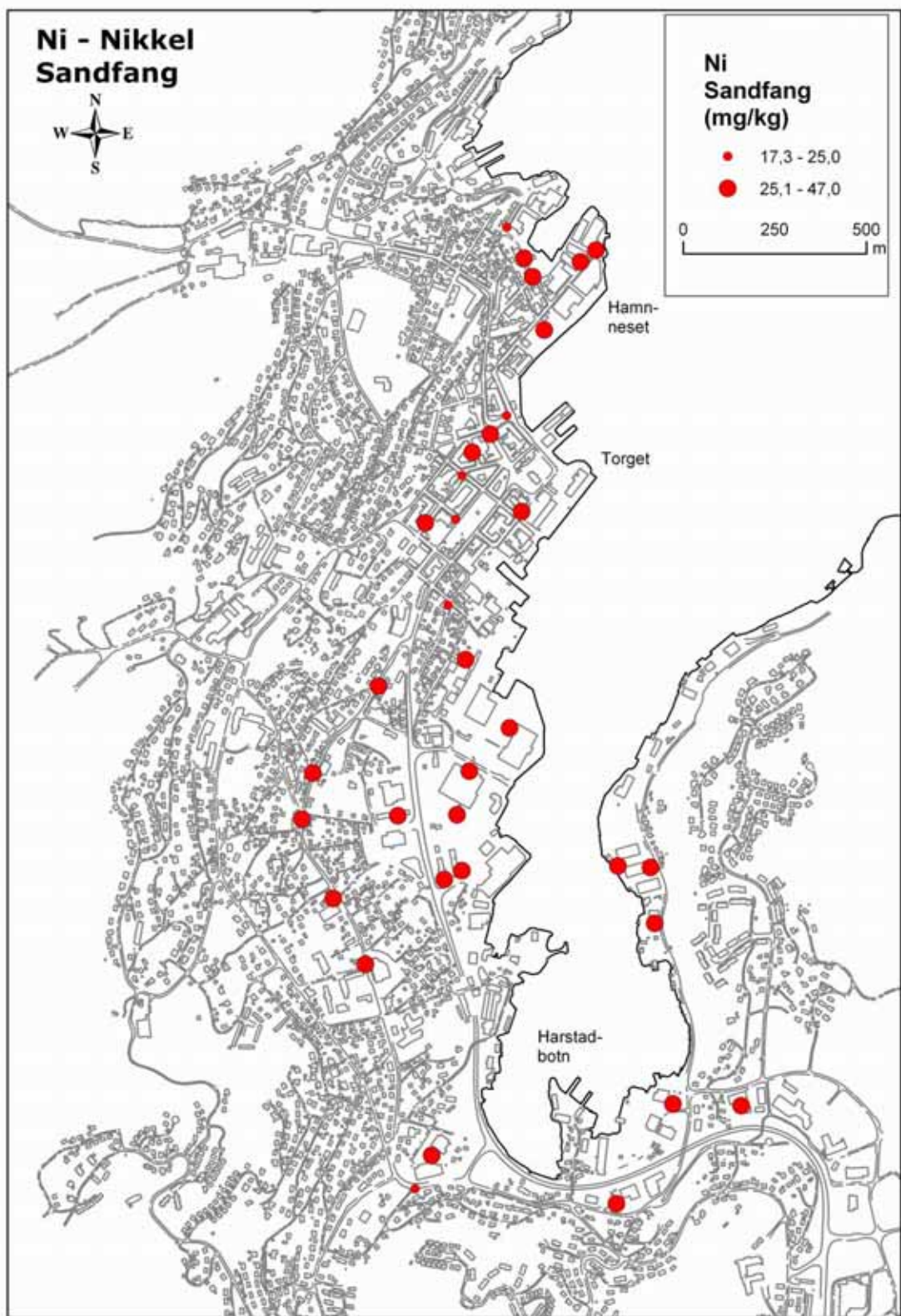
Figur: Geografisk fordeling av kobber (Cu) i sandfangsmaterialer (N=34) fra Harstad (mg/kg)

11.1.5 Hg – Kvikksølv



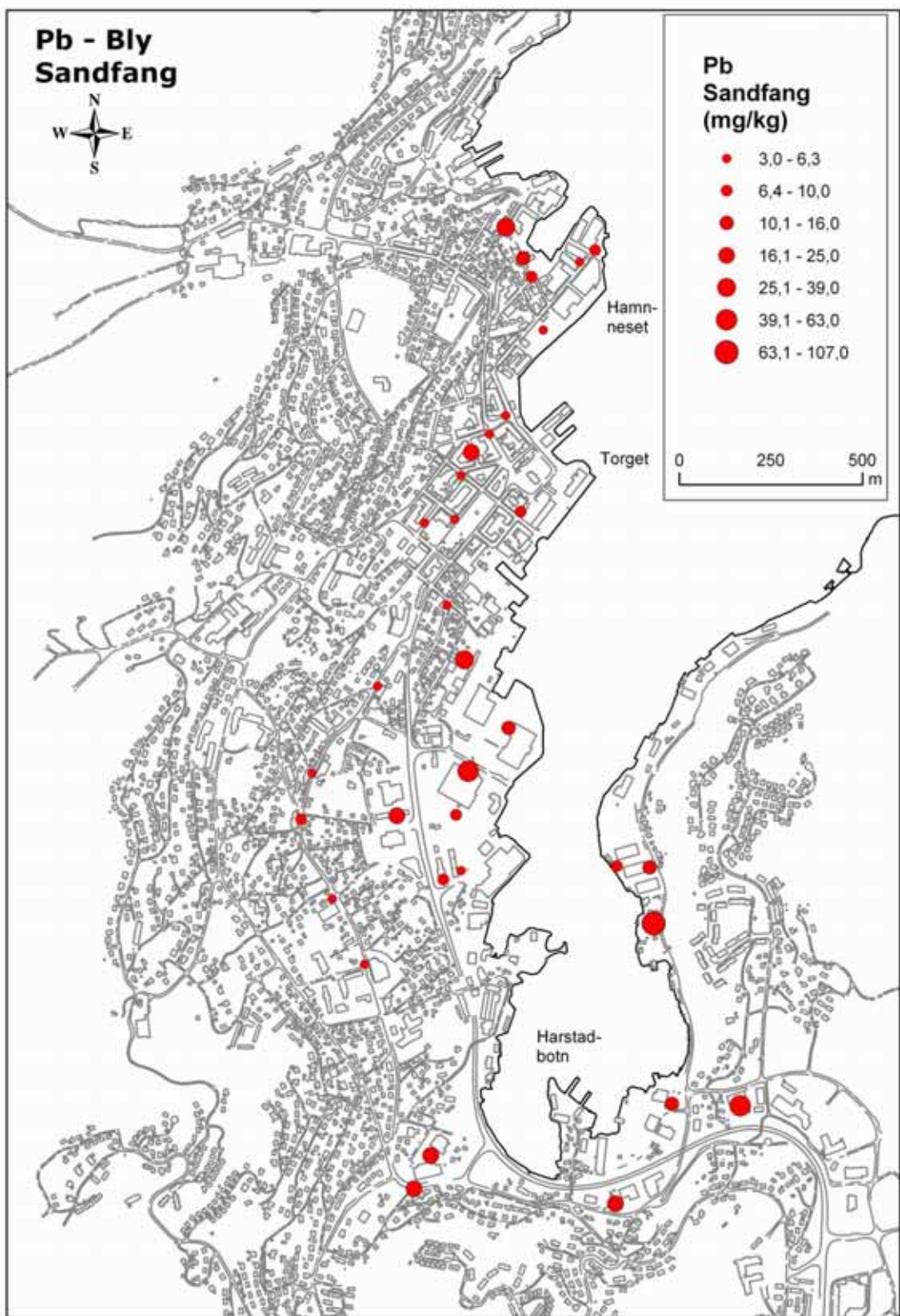
Figur: Geografisk fordeling av kvikksølv (Hg) i sandfangsmaterialer (N=34) fra Harstad (mg/kg)

11.1.6 Ni – Nikkel



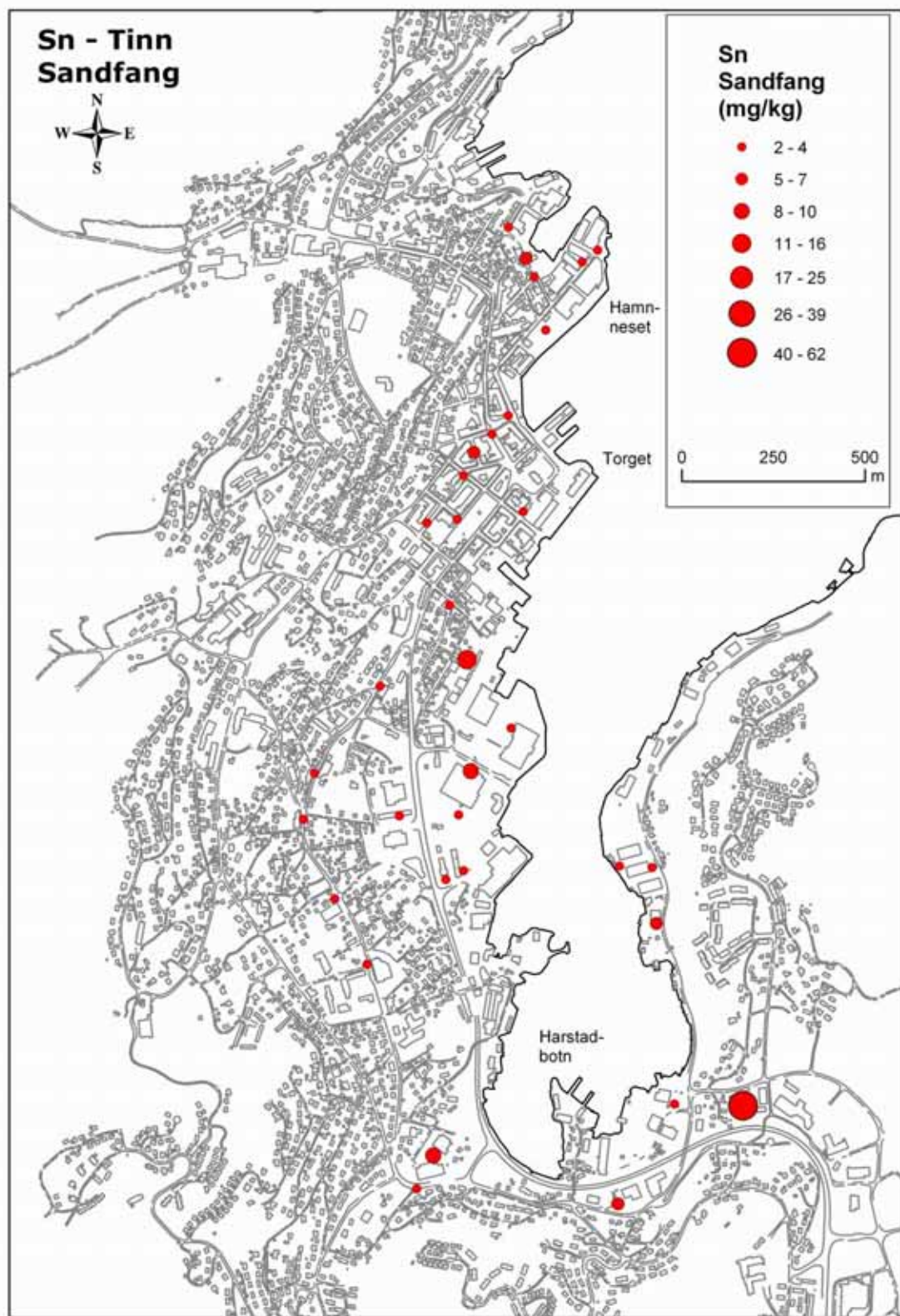
Figur: Geografisk fordeling av nikkel (Ni) i sandfangsmaterialer (N=34) fra Harstad (mg/kg)

11.1.7 Pb – Bly



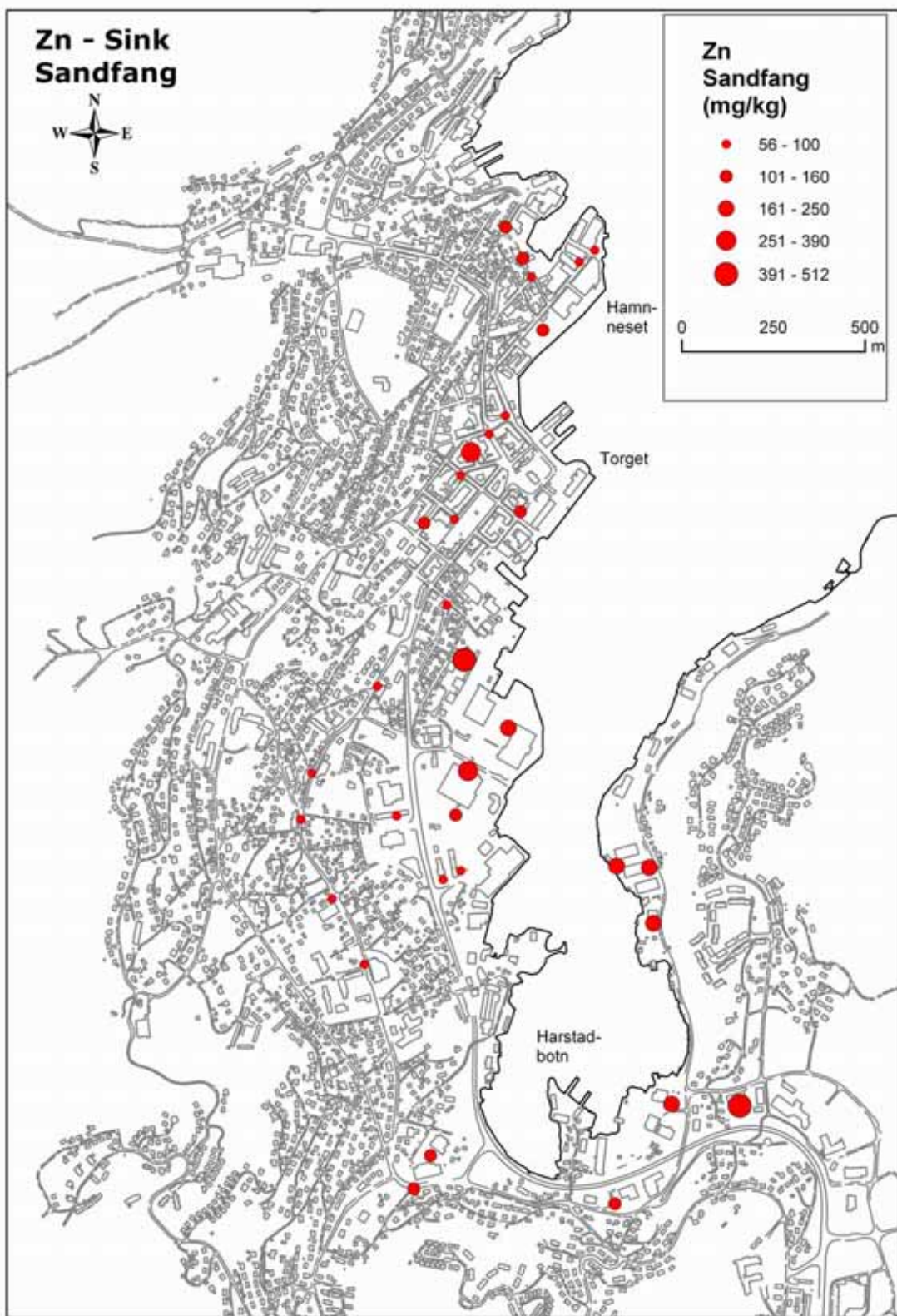
Figur: Geografisk fordeling av bly (Pb) i sandfangsmaterialer (N=34) fra Harstad (mg/kg)

11.1.8 Sn – Tinn



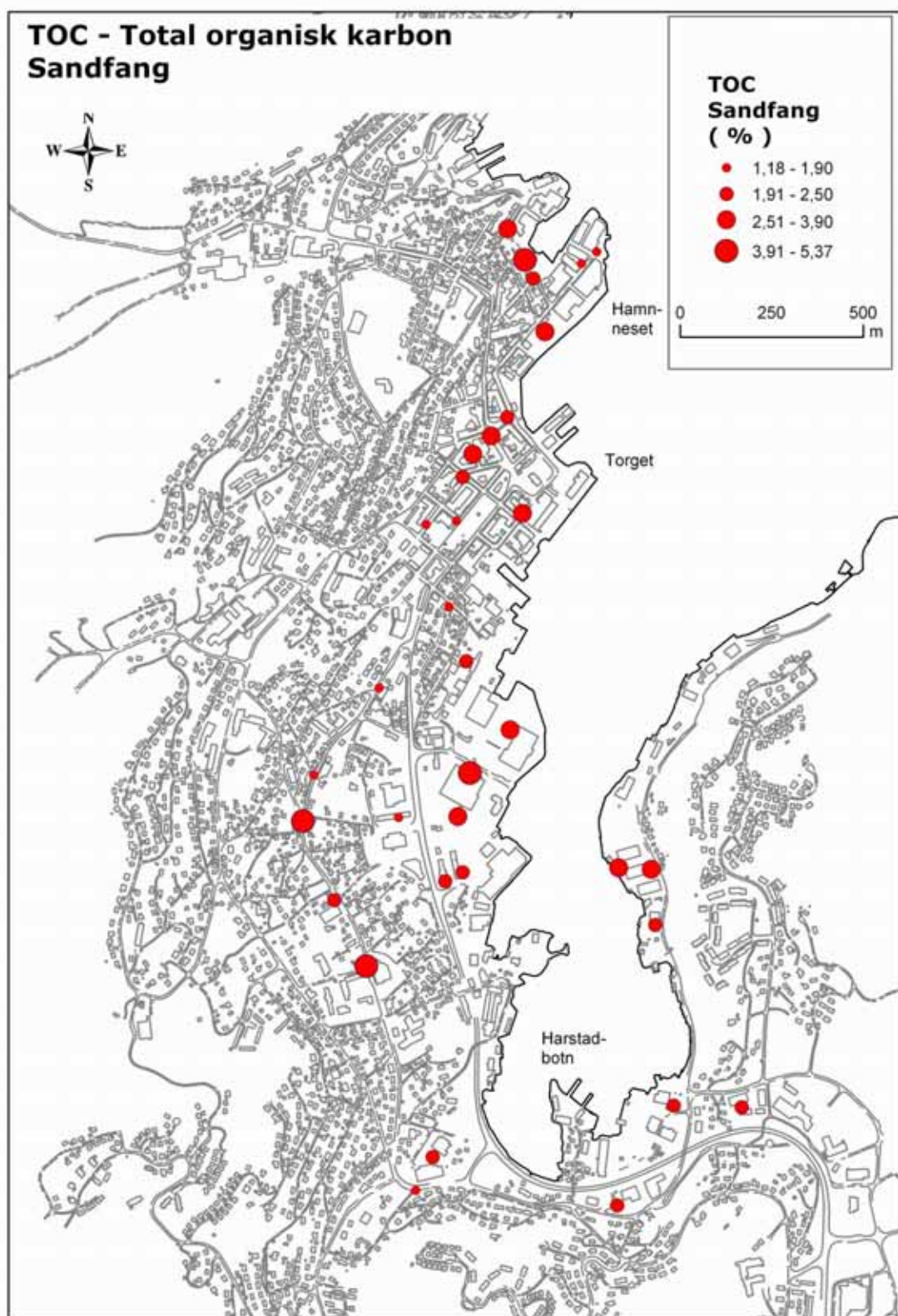
Figur: Geografisk fordeling av tinn (Sn) i sandfangsmaterialer (N=34) fra Harstad (mg/kg)

11.1.9 Zn – Sink



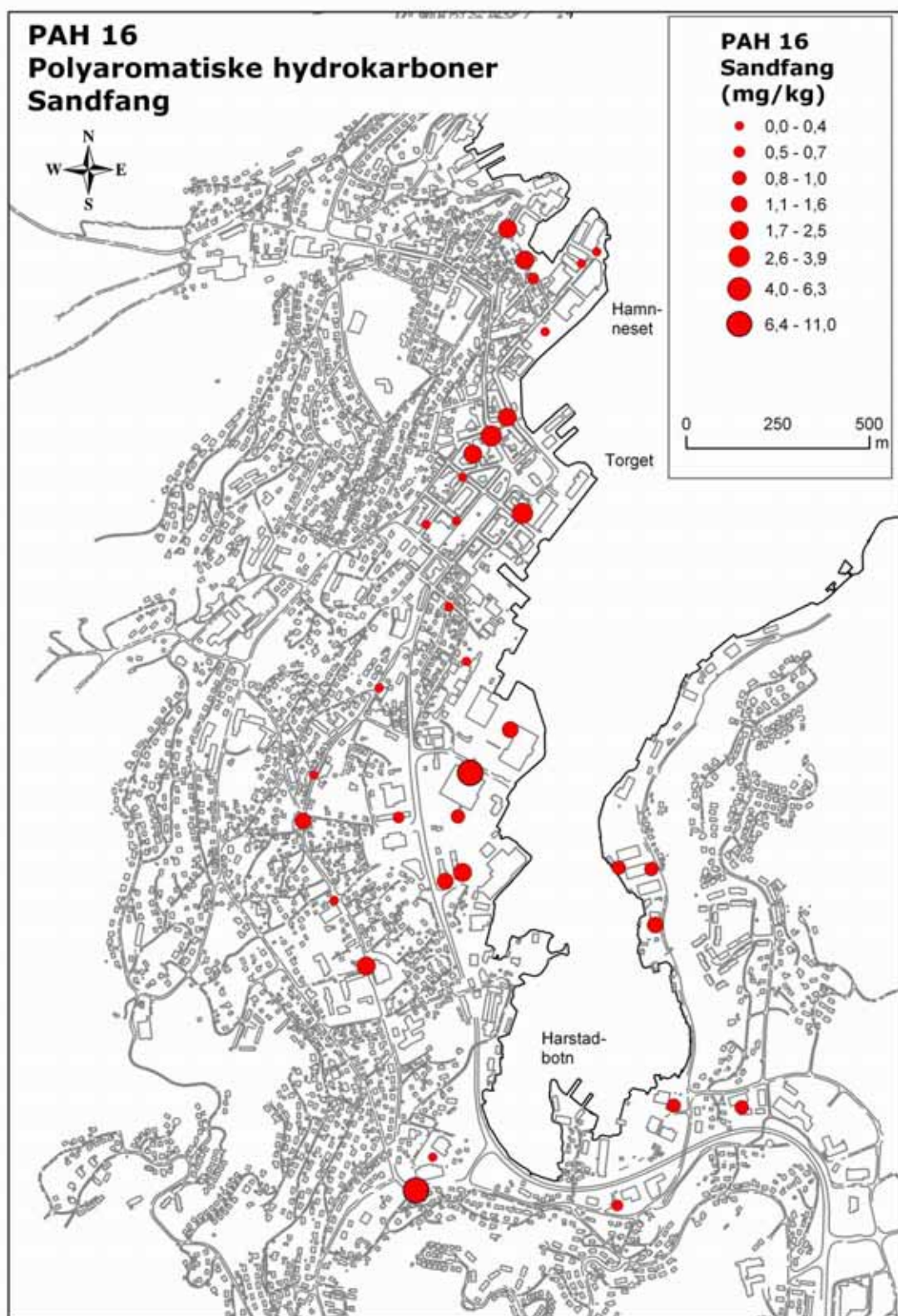
Figur: Geografisk fordeling av sink (Zn) i sandfangsmaterialer (N=34) fra Harstad (mg/kg)

11.1.10 TOC – Total organisk karbon



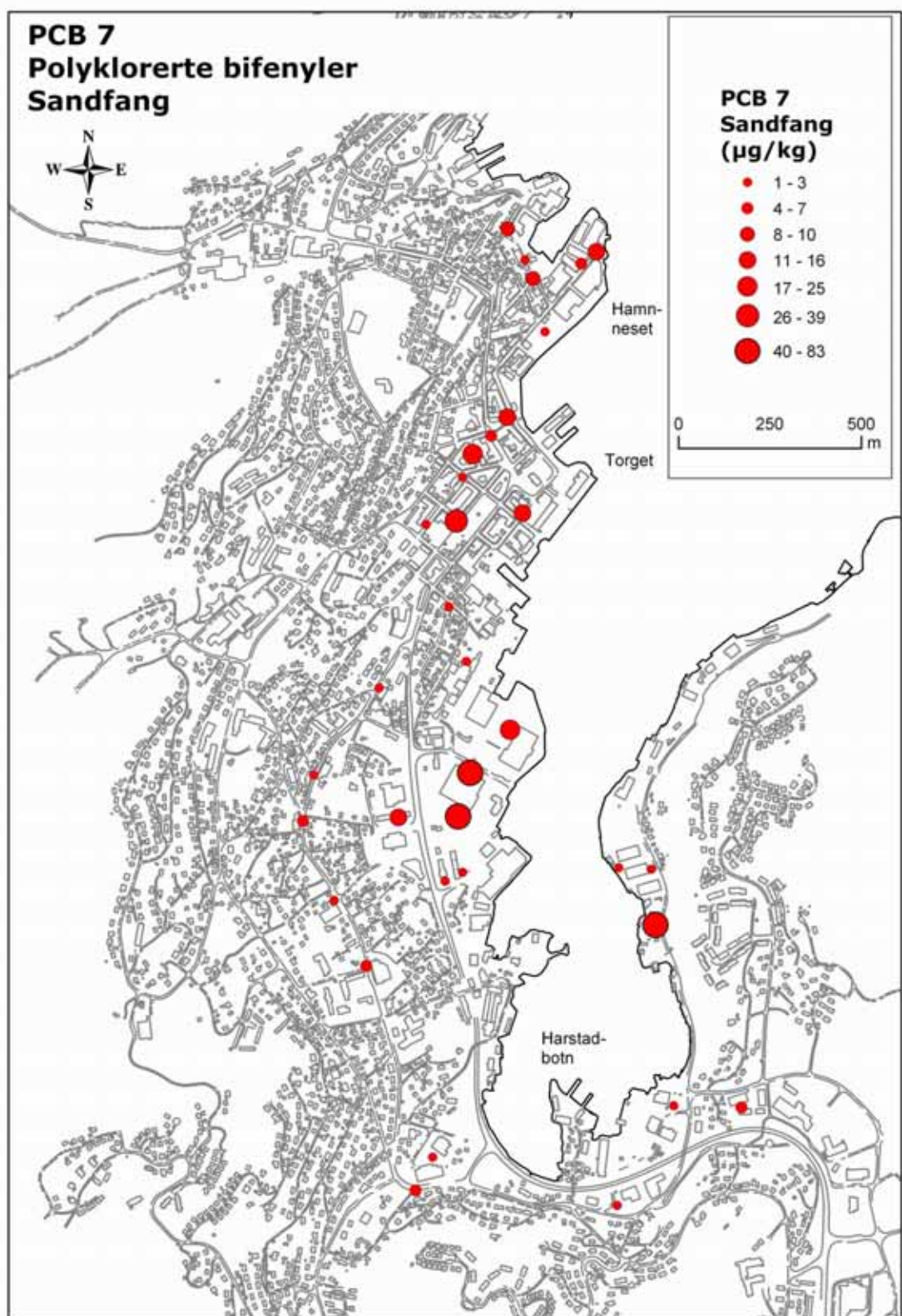
Figur: Geografisk fordeling av total organisk karbon (TOC) i sandfangsmaterialer (N=34) fra Harstad

11.1.11 PAH – Polyaromatiske hydrokarboner



Figur: Geografisk fordeling av polyaromatiske hydrokarboner (PAH₁₆) i sandfangsmaterialer (N=34) fra Harstad (mg/kg)

11.1.12 PCB – Polyklorerte bifenyler



Figur: Geografisk fordeling av polyklorerte bifenyler (PCB₇) i sandfangsmaterialer (N=34) fra Harstad (µg/kg)